

الجمهورية العربية السورية
وزارة التعليم العالي
جامعة حلب – كلية الهندسة الميكانيكية
قسم الميكانيك التطبيقي

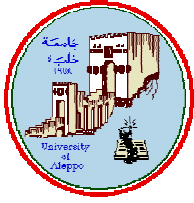
مقارنة بين مميزات العمل لأنظمة التبريد الكهروحرارية أحادية وثنائية الطبقات

رسالة أعدت لنيل درجة الماجستير في الهندسة الميكانيكية
قسم الميكانيك التطبيقي- هندسة التبريد الكهروحراري

إعداد:

المهندس ياسر عبد الرزاق الغنيمة

العام الدراسي 2009 \ 2010



الجمهورية العربية السورية
وزارة التعليم العالي
جامعة حلب – كلية الهندسة الميكانيكية
قسم الميكانيك التطبيقي

مقارنة بين مميزات العمل لأنظمة التبريد الكهروحرارية أحادية وثنائية الطبقات

رسالة أعدت لنيل درجة الماجستير في الهندسة الميكانيكية
قسم الميكانيك التطبيقي- هندسة التبريد الكهروحراري

بإشراف:

الدكتور عبد الله العموري

المدرّس في قسم هندسة الطاقة

من كلية الهندسة الميكانيكية - جامعة حلب

إعداد:

المهندس ياسر عبد الرزاق الغنيمة

العام الدراسي 2009 \ 2010

شهادة

أشهد بأنّ العمل الموصوف في هذه الرسالة "مقارنة بين مميزات العمل لأنظمة التبريد الكهروحرارية أحادية وثنائية الطبقات" هو نتيجة بحث علمي قام به المرشح المهندس ياسر عبد الرزاق الغنيمة بإشراف الدكتور المهندس عبد الله العموري المدرّس في قسم هندسة الطاقة- كلية الهندسة الميكانيكية- جامعة حلب، وإنّ أيّ رجوع إلى أيّ بحث آخر في هذا الموضوع موثّق في النص.

المرشح المهندس

ياسر عبد الرزاق الغنيمة

المشرف

الدكتور عبد الله العموري

تصريح

أصرّح بأنّ هذا البحث "مقارنة بين مميزات العمل لأنظمة التبريد الكهروحرارية أحادية وثنائية الطبقات" لم يسبق له أن قبل للحصول على شهادة، ولا هو مقدم حالياً للحصول على أيّ شهادة أخرى.

المرشح المهندس

ياسر عبد الرزاق الغنيمة

نوقشت هذه الرسالة بتاريخ 2009/12/10م

وأجيزت

رئيس لجنة الحكم

عضو

عضو

الدكتور

عدنان الأحمد

أستاذ مساعد بأكاديمية الأسد

للهندسة العسكرية - محافظة حلب

الدكتور

وجيه ناعمة

أستاذ مساعد بقسم القوى الميكانيكية

كلية الهندسة الميكانيكية - جامعة دمشق

الدكتور

عبد الله العموري

مدرس بقسم هندسة الطاقة

كلية الهندسة الميكانيكية - جامعة حلب
(المشرف على الرسالة)

شكر وتقدير

الشكر الأول لله عز وجل..

الشكر الثاني للدكتور عبد الله الذي لم يتوانى عن تقديم كل عون لي.

الشكر الجزيل لكل من قدم لي المساعدة في إنجاز هذا العمل.

الإهداء

الإهداء الأول..... إلى ابني البكر محمد.

الإهداء الثاني..... إلى والديّ الكريمين.

الإهداء الثالث..... إلى أخوتي وأخواتي.

الملخص

تم في هذا البحث دراسة تقنية التبريد الكهروحراري وهو نوع من أنواع التبريد الحديثة التي لاقت في الآونة الأخيرة الكثير من الاهتمام والبحث العلمي نظراً لما يمتلكه من مميزات هامة تواكب متطلبات التطور العلمي الحاصل. حيث تم **أولاً:** دراسة التصاميم الرئيسية لأنظمة التبريد الكهروحرارية المستخدمة سواءً الأحادية أو الثنائية الطبقات وتبيان مميزات كل تصميم، ثم تم إجراء دراسة مقارنة بين نظامي التبريد الكهروحراري الأحادي والثنائي الطبقات على قاعدة عدم التوازن الترموديناميكي التي استخدمت لاستنتاج العلاقات العامة لثلاث مميزات مهمة لتحديد أداء نظام تبريد كهروحراري، وهي علاقة معامل الأداء وعلاقة معدل التبريد وعلاقة طاقة الدخل المستهلكة وبوساطة هذه العلاقات تم مناقشة نظامي التبريد بشكل مفصل، حيث تم حساب معامل الأداء الأعظمي ومعدل التبريد الأعظمي وكذلك تم تعريف معامل البناء الداخلي (Internal Structure) لأجهزة التبريد الكهروحرارية. إن النتائج التي تم الحصول عليها من خلال الدراسة بين مميزات نظام التبريد الكهروحراري الأحادي والثنائي أثبتت أنه عندما تكون قيمة صغيرة لـ θ (نسبة درجة حرارة الجهة الساخنة للنظام على درجة حرارة الجهة الباردة) يكون COP_{max} لنظام التبريد الكهروحراري الثنائي الطبقات أكبر من قيمته للنظام الأحادي الطبقة بينما معدل التبريد الأعظمي للنظام الأحادي أكبر من قيمته في النظام الثنائي وهنا الأفضل هو نظام التبريد الأحادي. في حال قيمة كبيرة لـ θ يكون كل من COP_{max} ومعدل التبريد الأعظمي للنظام الثنائي أكبر من قيمتهما لنظام التبريد الكهروحراري الأحادي، هنا يتوجب استخدام نظام التبريد الثنائي.

ثانياً: في القسم البرمجي تم دراسة محاكاة أداء حاسوبية رياضية

(Performance Simulation) لنظام ضخ حراري كهروحراري جديد في سبيل تحسين فعالية أداء الأنظمة الكهروحرارية يسمى بالنظام الهجين (Hybrid System) الذي يجمع بين تقنية الكهروحرارية والدارة الانضغاطية، وهذا النظام الجديد (أي المبرد الكهروحراري - ضغط البخار الهجين) أعطى نتائج جيدة من حيث العمل حيث تم الحصول على انتقال حراري بمقدار 940 W عند محاكاة نظام التبريد، كما أن التحليل النظري للنظام يتنبأ بتحسين قيم سعة التبريد ومعامل الأداء للنظام الجديد.

الفهرس

الصفحة	العنوان	التسلسل
5	الفهرس	
9	مقدمة Introduction	
1- الفصل الأول: أساسيات التبريد الكهروحراري Chapter1: Basics of The Thermoelectric Cooling		
11	مفهوم التبريد الكهروحراري Concept of The Thermoelectric Cooling	1-1
13	المبرد الكهروحراري The Thermoelectric Cooler	2-1
18	تعريفات ومصطلحات Terms and Definition	3-1
22	تاريخ الكهروحرارية History of The Thermoelectric	4-1
22	المرحلة من 1820 إلى 1850	1-4-1
23	المرحلة من 1930 إلى 1960	2-4-1
23	المرحلة من 1990 إلى الوقت الحاضر	3-4-1
2 - الفصل الثاني: بنية نظام التبريد الكهروحراري Chapter2: Thermoelectric Cooling System Construction		
25	مقدمة Introduction	1-2
25	بنية النظام الكهروحراري Thermoelectric System Construction	2-2
29	المواد شبه الموصلة (أنصاف النواقل) Semiconductors Materials	1-2-2
30	الصفائح السيراميكية Ceramics Plates	2-2-2
31	الموصلات الكهربائية Electrical Conductors	3-2-2
32	طريقة اللحام Solders Method	4-2-2
33	الأداء The Performance	3-2
34	مخططات الأداء الأعظمي Maximum Performance Plots	4-2
35	مميّزة الشكل (رقم الاستحقاق) Figure of Merit	5-2
36	اختبارات الوثوقية القياسية Reliability Tests Standards	6-2
37	اختيار الوحدة الكهروحرارية لتطبيق ما Selection of The Thermoelectric Module for an Application	7-2

39	معلومات مفيدة للتطبيقات Application Tips	8-2
39	التركيب Mounting	1-8-2
39	التوضّع الميكانيكي Mechanical Mounting	2-8-2
40	الأجهزة المساعدة Accessories	9-2
40	التغذية بالطاقة Power Supply	1-9-2
42	متحكّمات درجة الحرارة Temperature Controllers	2-9-2
43	المبادلات الحراريّة Heat Exchangers	3-9-2
45	المواد الحراريّة البينيّة Thermal Interface Materials	4-9-2
45	دراسة التغير الحراري عبر الوحدة الكهروحراريّة Temperature Distribution Across Thermoelectric Module	10-2
46	مميّزات المبرّدات الكهروحراريّة Advantages of The Thermoelectric Coolers	11-2
48	مساوئ المبرّدات الكهروحراريّة	12-2
3- الفصل الثّالث: حسابات النظام الكهروحراري النظري Chapter 3: Calculations of The Theoretical Thermoelectric System		
49	مقدمة Introduction	1-3
49	التأثيرات الكهروحراريّة Thermoelectric Effects	2-3
49	تأثير بيلتيه 1834 Peltier Effect	1-2-3
50	تأثير سيبك 1821 Seebeck Effect	2-2-3
51	تأثير طومسون 1855 Thomson Effect	3-2-3
52	معادلات الطاقة للنظام الكهروحراري Energy Equations for Thermoelectric System	3-3
55	حسابات النظام الكهروحراري النظري Calculations of The Theoretical Thermoelectric System	4-3
56	حالة أقصى حمل تبريد Case of Maximum Cooling Load	1-4-3
57	حالة أقصى معامل أداء Case of Maximum COP	2-4-3
57	حالة خاصّة Special Case	3-4-3
58	اختبار الأداء للنظام الكهروحراري Performance Test for Thermoelectric System	5-3

58	قياس خصائص المواد الكهروحرارية Measurement of Properties of The Thermoelectric Materials	1- 5 -3
60	اختبار أداء الوحدات الكهروحرارية	2 -5 -3
الدراسة التحليلية والبرمجية Analytical and Programming Study		
4- الفصل الرابع: المبرّدات الكهروحرارية الثنائية الطبقات Chapter 4: The Two- Stage Thermoelectric Coolers		
61	مقدمة Introduction	1 -4
62	المبرّد الكهروحراري ذو التصميم الهرمي Pyramid- Styled Thermoelectric Cooler	2 -4
67	المبرّد الكهروحراري ذو التصميم متوازي المستطيلات Cuboid- Styled Thermoelectric Cooler	3 -4
70	مقارنة التصميم الأمثل Comparison of The Optimum Design	4 -4
5- الفصل الخامس: مقارنة أداء أنظمة التبريد الكهروحرارية أحادية وثنائية الطبقات Chapter 5: Comparison of The Performance of Single- and Two- Stage Thermoelectric Cooling Systems		
72	مقدمة Introduction	1 -5
72	المبرّد الكهروحراري الأحادي الطبقة A Single- Stage Thermoelectric Cooler	2 -5
75	المبرّد الكهروحراري الثنائي الطبقات A Two- Stage Thermoelectric Cooler	3 -5
77	مميزات الأداء عند قيمة أعظمية لمعامل الأداء Performance Characteristics at COP_{max}	4 -5
82	مميزات الأداء عند معدل تبريد أعظمي Performance Characteristics at Maximum Rate of Cooling	5 -5
86	العلاقة بين COP ومعدل التبريد Relation Between The COP and Rate of Cooling	6 -5
نموذج المحاكاة الحاسوبي Computer Simulation Model		
6- الفصل السادس: محاكاة أداء نظام ضخ حراري- كهروحراري (مضخة كهروحرارية) Chapter 6: Performance Simulation of Thermoelectric Heat Pump System		

88	Introduction مقدمة	1-6
88	The Heat Pipes الأنابيب الحرارية	2-6
89	Description of The Heat Pump System وصف نظام الضخ الحراري	3-6
89	Heat Pump and its Operation عمل نظام الضخ الحراري	1-3-6
91	Parts of The Prototype System مكونات نظام الضخ الحراري	2-3-6
92	Theory of The Computer Model نظرية النموذج الحاسوبي	4-6
92	Mathematical Model النموذج الرياضي	1-4-6
94	Calculation of Thermal Resistances of The Thermal Diode حساب المقاومات الحرارية للديود الحراري	2-4-6
96	Experimental Testing Method طريقة الاختبار التجريبي	5-6
97	Structure of The Computer Model بنية النموذج الحاسوبي	6-6
99	Design of The Computer Program تصميم البرنامج الحاسوبي	7-6
100	Cooling Mode حالة التبريد	1-7-6
103	Heating Mode حالة التسخين	2-7-6
106	مقارنة نتائج المحاكاة الرياضية مع النتائج التجريبية	8-6
7- الفصل السابع: النتائج والتوصيات		
Chapter 7: The Results and The Recommendations		
108	نتائج الدراسة التحليلية النظرية	1-7
109	نتائج دراسة محاكاة أداء النظام الهجين الحاسوبية	2-7
109	التوصيات	3-7
110	الملاحق	
117	بطاقة تعريف بوسيط التبريد المستخدم (n-pentane)	
119	الرموز والمصطلحات المستخدمة	
121	References المراجع	

بسم الله الرحمن الرحيم مقدمة

كانت البداية سنة 1990 عندما تولدت مجموعة من المخاوف البيئية بخصوص وسائل التبريد المستخدمة الضارة كالأمونيك، إضافة للاهتمام المتزايد بتبريد الأجهزة الإلكترونية الحديثة، قاد هذا إلى إعادة الاهتمام والبحث في مجال تقنيات التبريد الجديدة، والتبريد الكهروحراري قد يكون الأكثر حداثة في هذه التقنيات بينما طرق التبريد الأخرى كتقنية الانبعاث الأيوني (Thermionic Emission) وغيرها لم تلق رواجاً في الاستخدام.

كان التبريد الكهروحراري أحد التقنيات البديلة التي تساعد على خفض نسبة غازات (CFC's - Chlorofluorocarbons) في البيئة، كونه لا يحوي أي وسيط تبريد ضار، فهو يقوم على مبدأ تحويل الطاقة الكهربائية النظيفة- المغذاة من منبع طاقي أو من خلايا شمسية لتوليد الطاقة الكهربائية- إلى طاقة حرارية تتجلى بحدوث فارق حراري بين الوصلات، وفي الوقت الحاضر بات نظام التبريد الكهروحراري مستخدماً في أغلب المجالات الصناعية والطبية والفضائية والزراعية التي تتطلب تحكماً دقيقاً بدرجات الحرارة، فاستخدم في تبريد العناصر المولدة لإشعاع الليزر وبعض قطع الحاسوب الحساسة للحرارة التي تتطلب بيئة عمل ذات درجة حرارة معينة للمحافظة على أحسن أداء لها، واستخدم في الديودات الليزرية - الكواشف الضوئية - أجهزة تخزين مقارنة (مزدوجة) الشحنة (Charge - Coupled Devices) والتي يرمز لها بـ CCDs، وهذا الازدياد في استخداماته نتيجة مميزات المتعددة.

آلة التبريد الكهروحرارية التي تعتمد على مبدأ بيلتيه، تتميز بعدة مميزات عن غيرها، كالوثوقية في العمل وانعدام الضجيج لعدم وجود أجزاء متحركة في الدارة، وتتميز بعمر تشغيلي طويل يتراوح بين (200 ÷ 100) ألف ساعة عمل، وبصغر الحجم والقدرة على التحكم الدقيق بدرجة حرارة المكان المطلوب تبريده، وتعرف المبرّدات الكهروحرارية بأنها أجهزة في الحالة الصلبة تقوم بتحويل الطاقة الكهربائية مباشرة إلى فارق حراري باستخدام مبدأ بيلتيه، ويرجع مفهوم تبريد الحالة الصلبة إلى بدايات حقول العمل في الكهروحرارية نفسها تقريباً، أي منذ اكتشاف تأثير بيلتيه (Peltier Effect) سنة 1834، كما أنّ القدرة على بناء آلة التبريد بالحالة الصلبة موجودة، والتي تتم على أساس مبدأ بيلتيه في التبريد ولذلك تسمى أحياناً بمبرّدات بيلتيه (Peltier Coolers) أو المبرّدات الكهروحرارية (Thermoelectric Coolers).

ناقشنا في هذا البحث أداء تقنيّة الكهروحراريّة من خلال دراسة نظام تبريد كهروحراري مكوّن من طبقة واحدة ومقارنتها مع دراسة نظام تبريد كهروحراري ثنائي الطبقات، واستنتاج علاقاتهما المميّزة واستخلاص النتائج وتمثيلها بيانياً، وتحديد شروط العمل المثالي لهما، ثم دراسة محاكاة أداء (Performance Simulation) لنظام ضخ حراري - كهروحراري جديد في سبيل تحسين فعاليّة عمل النظام، والذي يسمّى بالنظام الهجين (Hybrid System) الذي يجمع بين خواص تقنيّة التبريد الكهروحراري والدارة الانضغاطيّة (Hybrid Compressor-Thermoelectrics Refrigeration Systems).

الفصل الأول

أساسيات التبريد الكهروحراري

Basics of The Thermoelectric Cooling

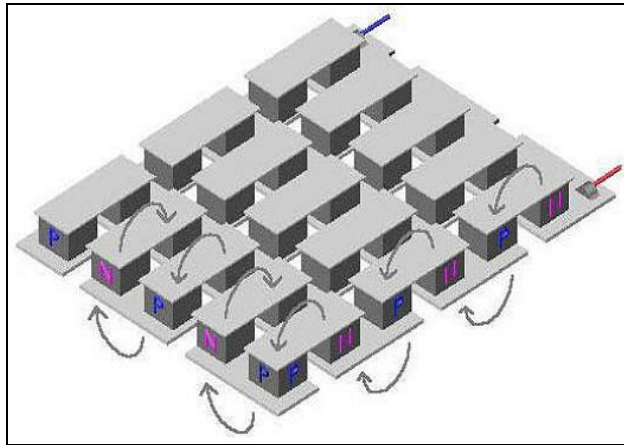
1-1- مفهوم التبريد الكهروحراري :Concept of Thermoelectric Cooling

اكتشف العالم الفرنسي (Jean Charles Peltier) جان كارلوس بيلتييه (1845 – 1785) في عام 1834 التأثير التبريدي للكهروحرارية، والذي بات يعرف بـ { تأثير بيلتييه (Peltier Effect) }، كان ذلك عندما مرّ تياراً كهربائياً عبر وصلة مكونة من مادتين مختلفتين موصلتين للتيار الكهربائي (Conductors)، سبّب ذلك فرقاً في درجات الحرارة (فارق حراري) بين طرفي الوصلة، ومن ناحية ثانية أخفق بيلتييه في فهم هذه الظاهرة الفيزيائية وكان تفسيره أنّ التيار الضعيف الحاصل لا يخضع لقانون أوم، وفي عام 1838 قدّم العالم أميل لينز (Emil Lenz) العضو في معهد بطرسبرغ الأكاديمي تفسيراً واضحاً لهذه الظاهرة من خلال تجربته على وصلة مشكلة من مادتي بزموت- أنتمون (Bismuth –Antimony) يمر فيها تيار كهربائي.

خلال الفترة (1909-1911) استنتج العالم (Alten Krich) الأساس النظري للتبريد الكهروحراري، وأوضح من خلال عمله أنّ التبريد الكهروحراري يحتاج لمواد ذات قيمة مرتفعة لمعامل سيبك، وإيصاليّه كهربائية جيدة لتقليل حرارة جول وإيصاليّه حراريّة منخفضة لتقليل انتقال الحرارة من الوصلات إلى الوصلات الأخرى لنظام التبريد لنحصل على فارق حراري عالٍ، وبعد التطور والتوسع بمعرفة المواد شبه الموصلة (أنصاف النواقل) الحاصل منذ عام 1950 أصبحت مادة تيلورايد البزموت ذات الصيغة (Bismuth Telluride - Bi_2Te_3) المادة الرئيسية الأولى المستخدمة في أنظمة التبريد الكهروحراري.

إنّ مبدأ العمل في هذا النظام بشكل مبسط كالتالي: عند تغذية النظام (الدارة) بتيار كهربائي مستمر ذو جهد منخفض، تتحرك الإلكترونات الحرة في الدارة المغلقة وضمن أنصاف النواقل بنوعيتها { الشكل (1-1) } - من القطب السالب N إلى القطب الموجب P - في الدارة فيؤدي ذلك لنشوء فرق في الكمون ينتج عنه نشوء قوة محرّكة كهربائية مختلفة خلال أنصاف النواقل تجبر الإلكترونات الحرة على التحرك من المادة السالبة التي تتوفر فيها بكثرة باتجاه المادة الموجبة التي تعاني من نقص في الإلكترونات

حاملةً معها الحرارة، انتقال الإلكترونات الحرّة سيؤدي لانخفاض درجة حرارة الوصلة السالبة، بالتالي يتوجب امتصاص حرارة من الوسط المحيط بها كون الحرارة تنتقل من الوسط ذو درجة الحرارة المرتفعة إلى الوسط ذو درجة الحرارة المنخفضة، وتمتص هذه الحرارة من المكان المراد تبريده، باختصار يمكن القول أنّ فرق الكمون يُنتج قوة محرّكة كهربائية ينتج عنها امتصاص حرارة من خلال الوصلة الباردة (السالبة) من الوسط المحيط بها (المراد تبريده)، وطرّد حرارة خلال الوصلة الساخنة للوسط الخارجي ويتم ذلك نتيجة اختلاف القوة المحركة الكهربائية للمواد شبه الموصلة عند الوصلات، أي أنّ نظام التبريد الكهروحراري يُبنى بشكل رئيسي على خاصية المواد شبه الموصلة السابقة.



الشكل (1-1) يبين جهة سريان الإلكترونات الحرّة في دائرة نظام تبريد كهروحراري.

أنّ تحوّل الطاقة الكهربائية إلى طاقة حرارية، يتجلى لنا بحدوث اختلاف في درجات الحرارة بين طرفي الوصلة المشكّلة للنظام الكهروحراري (تأثير بيلتييه) - أساس صناعة أجهزة التبريد الكهروحرارية- وعمل الإلكترونات الحرّة في النظام الكهروحراري يناظر عمل وسائط التبريد (Refrigerants) في دارات التبريد المعروفة، والجدول (1-1) يوضّح أوجه المقارنة بين نظامي التبريد الكهروحراري والانضغاطي [19].

الجدول (1-1) يبين مقارنة بين نظامي التبريد الكهروحراري والانضغاطي.

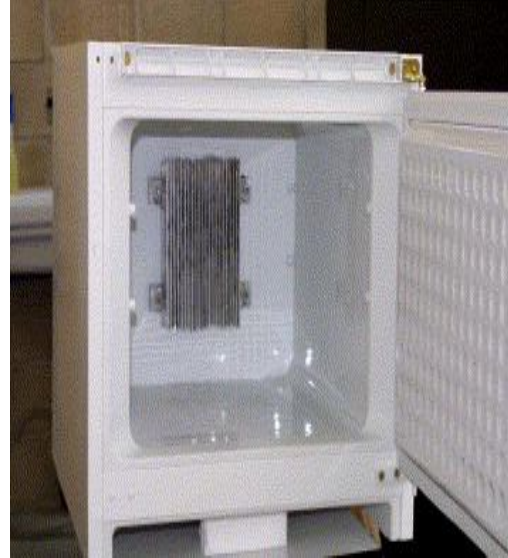
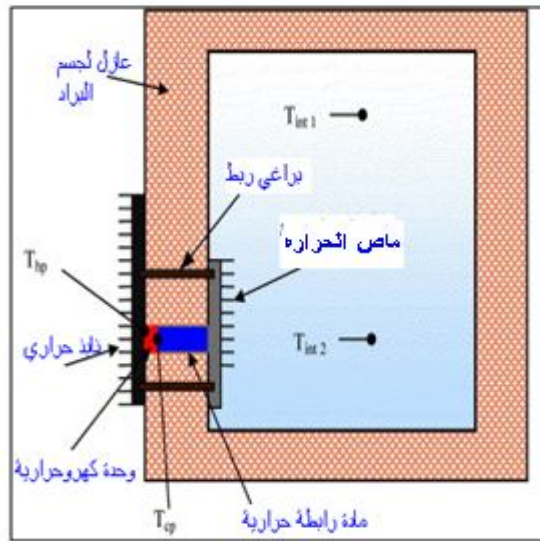
نظام التبريد الانضغاطي	نظام التبريد الكهروحراري
وسيط تبريد	إلكترون حر
ضاغط مع محرك كهربائي	منبع تيار مستمر (بطارية)
أنابيب التوصيل	أسلاك التوصيل
المبخر	الجهة الباردة (قطب سالب)
المكثف	الجهة الساخنة (قطب موجب)
صمام التمدد	فرق القوة المحركة الكهربائية

1-2- المبرّد الكهروحراري The Thermoelectric Cooler:

المبرّدات الكهروحراريّة أو مبرّدات بيلتيه (Peltier Coolers)، ويرمز لها بـ TEC هي أجهزة بالحالة الصلبة يكون فيها الضخ الحراري { التدفق الحراري بواسطة الإلكترونات الحرّة المتحرّكة (حوامل الحرارة) بتأثير الحقل الكهربائي، ومشابهة لحركة وسيط التبريد في دارة التبريد الانضغاطيّة } باستخدام تأثير بيلتيه، أي بتمرير تيار كهربائي مستمر ثابت في دارة النظام الكهروحراري نحصل على فارق حراري بين طرفيها، وتنتقل الحرارة من المكان المراد تبريده إلى ماص الحرارة الموجود على الجهة الباردة للجهاز ثم إلى الجهة الساخنة للجهاز فالنابذ الحراري ليتم طرحها للوسط الخارجي، لدينا الشكل (1-2) يُظهر مبرّدًا كهروحراريًا مخبريًا والمبرّد الكهروحراري المستخدم في هذا العمل صمّم بحجم داخلي $m^3 (55 \times 10^{-3})$ ، وهو مكوّن من وحدة (صفحة) بيلتيه استطاعتها 50 W وأبعادها (40 mm x 40 mm x 4 mm) ولها مبادلين حراريين للنابذ الحراري، الأوّل على الجهة الساخنة والآخر على الجهة الباردة مع مروحة استطاعتها 2 W ومادة رابطة من الألمنيوم تُوصل الطرف البارد بالطرف الساخن [2].

إنّ الأجهزة التجاريّة الحديثة لـ TEC تحتوي على العديد من أزواج المواد شبه الموصلية (أنصاف النواقل) من النوع (P-type) والنوع (N-type)، المتصلة كهربائيًا على التسلسل - أي يوصل الجزء الساخن للعنصر الكهروحراري بالجزء البارد للعنصر الذي يليه - بواسطة صفائح رقيقة من النحاس وحراريًا على التوازي، يُستخدم الوصل على التسلسل عندما يطلب الحصول على فارق حراري كبير، بينما يُستخدم وصل العناصر الكهروحراريّة على التفرع عندما يطلب الحصول على ساعات تبريديّة كبيرة. هذه العناصر توضع بين قاعدتين "لوحين" معزولتين (Insulated) كهربائيًا وموصلتين للحرارة، واتجاه التدفق الحراري يمكن أن يتغير بتبديل قطبي مزوّد التيار الكهربائي المطبق DC كما يُظهر ذلك الشكل (2-3)، والمبرّدات الكهروحراريّة يمكن أن تصنع بأشكال وقياسات مختلفة، لكن الشكل العام للقاعدة يكون مربعاً أو مستطيلاً وكقياس خاص لنظام مؤلف من طبقة واحدة من العناصر نصف الناقلّة، تتراوح أبعاد الوحدة الكهروحراريّة من $mm^2 (3 \times 3)$ وبسماكة 4 mm حتى $mm^2 (60 \times 60)$ وبسماكة 5 mm، بينما الضخ الحراري الأعظمي يتراوح بين (0 ÷ 125) W ويتراوح عدد الأزواج

الكهروحرارية عادةً بين ($3 \div 127$) زوج كهروحراري في كل وحدة كهروحرارية، وتحدد هذه الأبعاد القياسية من قبل الشركات الصانعة.

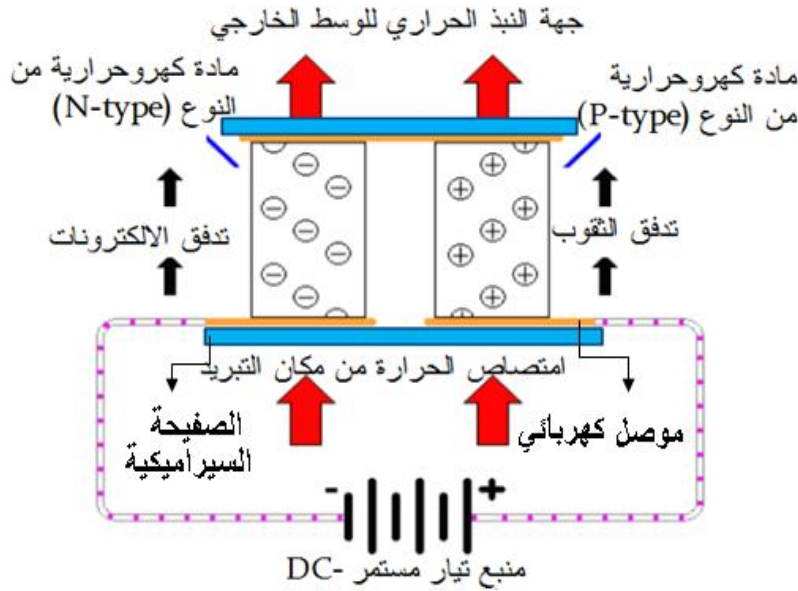


الشكل (1-2) يمثل المبرّد الكهروحراري

المخبري ومخططة التفصيلي.

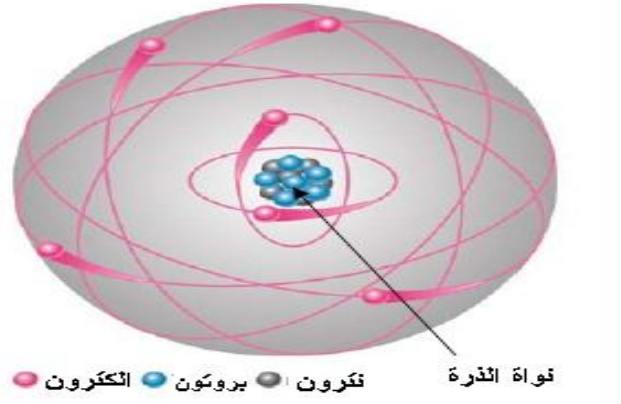
ولأن الوصلة الباردة لنظام التبريد الكهروحراري تتعرض للتقلص بينما الوصلة الساخنة تتعرض للتمدد أثناء العمل، وهذا يُنتج الإجهادات الحرارية لذلك تكون الوحدات الكهروحرارية مزوّدة بقاعدة للتبادل الحراري (Footprint) مساحتها أكبر من 50 mm^2 قياس الوحدة الكهروحرارية، والقياس المحدد $(60 \times 60) \text{ mm}^2$ يسبب إجهادات حرارية عند نقاط الاتصال الكهربائي الداخلية للوحدة مسببة أعطال التماس- قصر - (Short). لكن معظم الوحدات الكهروحرارية من ناحية الطول أقل من 50 mm وذلك لاعتبارات ميكانيكية، حيث الوحدة الكهروحرارية تميل للانحناء مثل أي عنصر حراري عندما تكون نهايته الباردة متغيرة درجة الحرارة بينما نهايته الساخنة تبقى ثابتة، وإذا كان الإجهاد الحراري كبيراً بشكل كافٍ يمكن أن تتشقق الصفائح أو العناصر الحرارية، لهذا السبب توضع الوحدات الكهروحرارية بين مبادلين حراريين أكبر حجماً من الوحدة نفسها، يتراوح عادة ارتفاع (سماكة) الوحدة بين $(1 \div 5) \text{ mm}$ للنظام المكوّن من طبقة واحدة، وقد يصل الارتفاع إلى 20 mm في الأنظمة متعددة الطبقات (من أنصاف النواقل) التي تستخدم للحصول على فارق حراري كبير بين الجهتين الباردة والساخنة، وهي عادة وكفيلة عظمى 6 طبقات في كل جهاز كهروحراري.

ويتكون نظام التبريد الكهروحراري البسيط [15] (ممثلاً بزوج كهروحراري واحد) من الأقسام الرئيسية المبينة في الشكل (1- 3):



الشكل (1 - 3) يمثل المكونات الرئيسية وسير عمل نظام تبريد كهروحراري.

- 1- القاعدة Substrate: يقصد بها الطبقة السيراميكية التي تحوي عناصر النظام، وتكون مصنوعة من أوكسيد الألمنيوم (Al_2O_3)، أو من نتريد الألمنيوم (ALN).
- 2- الموصل Conductor: مصنوع من معدن النحاس أو من معادن أخرى جيدة الناقلية الكهربائية.
- 3- المواد شبه الموصلة الكهروحرارية Thermoelectric Semiconductors: سنقدم في البداية فكرة مختصرة عن بنية المواد بشكل عام، وبنية الذرات المكونة للمواد الهندسية والشحنات الكهربائية التي تكتسبها هذه المواد. قدم العالم (Boher) تصميمه لتمثيل الذرة وما يحيط بها من الإلكترونات ومكونات النواة من البروتونات والنيوترونات الشكل (1-4).



الشكل (1 - 4) يمثل نموذج بوهر (Boher Model) لتمثيل الذرة.

هناك نوعان من الشحنات الكهربائية المكتسبة للمواد:

✓ شحنة موجبة: تكتسبها المواد من البروتونات أي:

(شحنة موجبة → بروتون)

✓ شحنة سالبة: تكتسبها المواد من الإلكترونات أي:

(شحنة سالبة → إلكترون)

وعلى هذا الأساس يمكن أن نميز المواد بحسب الشحنات الكهربائية التي يمكن أن تكتسبها وهي:

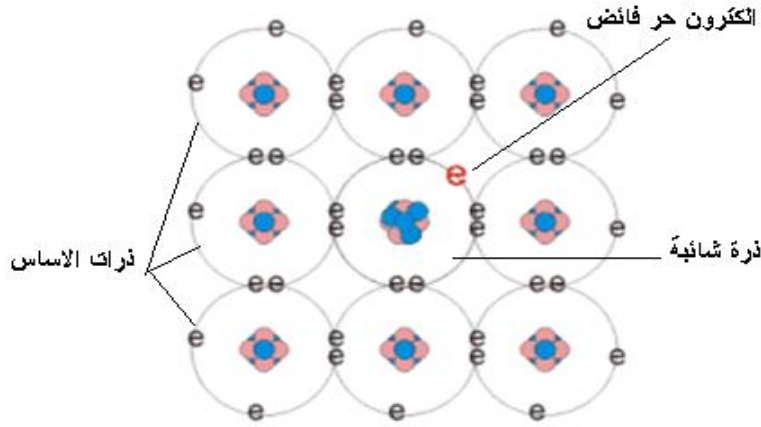
■	عدد الإلكترونات = عدد البروتونات	→	مادة متعادلة كهربائياً.
■	عدد الإلكترونات > عدد البروتونات	→	مادة ذات شحنة موجبة.
■	عدد الإلكترونات < عدد البروتونات	→	مادة ذات شحنة سالبة.

عملياً تنقص المقاومة الكهربائية لنصف ناقل نقصاً كبيراً عندما تشوبه شائبة ما، فتزداد ناقلية عنصر الجرمانيوم مثلاً ملايين المرات، إذا شابه عنصر الأنديموم بنسبة 1 % . بشكل رئيسي تقسم المواد شبه الموصلة (أنصاف النواقل) إلى نوعين بحسب الشائبة (العنصر المضاف):

1-) النوع (N - type) : مثل مركب (Bismuth-Telluride-Selenium) سيلينيوم-تيلورايد البزموت (Bi Te-Se).

تتشكل المادة من النوع (N- type) عند إضافة ذرات مواد خماسية التكافؤ (عدد إلكترونات التكافؤ = 5 إلكترونات) مثل ذرات الأنتيموان { Antimony (Sb) } وذرات الزرنيخ { Arsenic (As) } وذرات الفوسفور { phosphorous (p) } إلى ذرات مادة رباعية التكافؤ مثل السيلكون { Silicon (Si) } أو البزموت { Bismuth (Bi) }

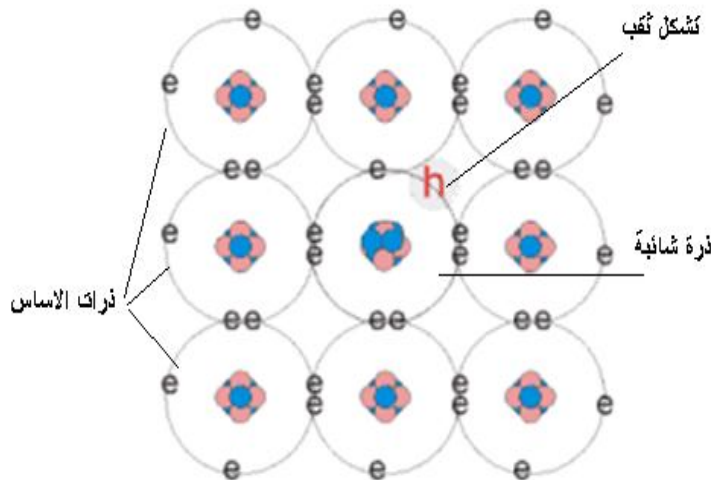
أو الجرمانيوم {Germanium (Ge)}، يؤدي ذلك لزيادة الإلكترونات الحرة ضمن بنية المادة الأساس (السيلكون مثلاً) لتصبح البنية المجهرية لهذا النوع كما يُظهرها الشكل (5-1).



الشكل (5-1) يبين البنية الذرية لنصف ناقل من النوع (N-type).

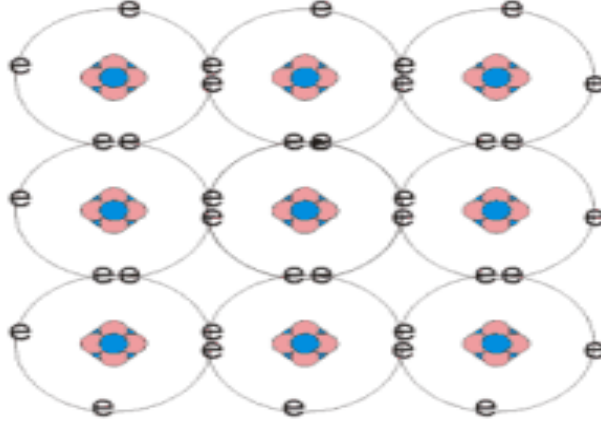
2 - النوع (P-type) : مثل مركب (Bismuth-Telluride-Antimony) أنتموان - تيليرايد البزموت (Bi Te-Sb).

تتشكل المادة من النوع (P-type) عند إضافة ذرات مادة ثلاثية التكافؤ (عدد إلكترونات التكافؤ = 3 إلكترونات) مثل ذرات البورن { Boron (B) } وذرات الغاليوم { Gallium (Ga) } وذرات الأنديوم { Indium (In) } أو الأنتموان { Antimony (Sb) } إلى ذرات مادة رباعية التكافؤ مثل السيلكون { Silicon (Si) } أو البزموت { Bismuth (Bi) }، يؤدي ذلك إلى ازدياد عدد الثقوب ضمن بنية المادة الأساس (السيلكون مثلاً) لتصبح البنية الذرية لهذا النوع كما يُظهرها الشكل (6-1).



الشكل (1-6) يبين البنية الذرية لنصف ناقل من النوع (P-type).

بينما الحالة النموذجية للبنية الذرية للمواد المتعادلة الشحنة تكون كما يُظهرها الشكل (1-7).



الشكل (1-7) يبين البنية الذرية لمادة متعادلة الشحنة.

4- أدوات تجميع ولحام لمكونات النظام.

وبشكل عام يمكن أن تظهر أفضلية استخدام التبريد الكهروحراري في التطبيقات، عندما يُطلب ضبط دقيق لدرجة حرارة التبريد للتطبيق المدروس، وعندما نحتاج لتبريد أدنى من درجة حرارة الوسط الخارجي، ويُطلب المحافظة على درجة حرارة تبريد مستقرة بدون تموجات، حيث أن أجهزة التبريد الكهروحراري قادرة على تحقيق ضبط حتى ($\pm 0.01^{\circ}\text{C}$)، ولا توجد أي طريقة تبريد أخرى مجرّدة بمثل هذه البساطة والدقة والملائمة لمراقبة درجة الحرارة.

1-3- تعريفات ومصطلحات Terms and Definition:

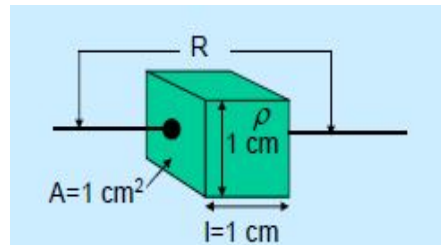
- 1- درجة حرارة الوسط المحيط Ambient Temperature: وهي درجة حرارة البيئة المحيطة بنظام التبريد الكهروحراري، وأحياناً يطلق عليها درجة حرارة الغرفة [20].
- 2- الحمل الحراري الفعّال Active Heat Load: وهو كمية الحرارة التي يتم توليدها من قبل الجسم المادي عند وجود فرق في درجات الحرارة، وبشكل آخر عبارة عن طاقة الدخل لأي جهاز مغذى بالطاقة (الشدة x التيار).
- 3- المقاومة الكهربائية للوحدة (المركبة) الكهروحرارية المغذّاة بتيار متناوب AC-Resistance: وتقاس بمعدات اختبار مخصصة لها، حيث إن مقياس أوم النموذجي

الذي يستخدم إشارة تيار مستمر يعطي نتائج خاطئة بينما المقياس ذو التيار المتناوب نتائج غير دقيقة.

4- المقاومة الكهربائية النوعية Specific Electrical Resistivity: وهي تتعلق بمقدار التيار الذي سينقله العنصر عبر حجمه والناجم عن فرق الجهد وتقاس بـ $(\Omega.m)$ ، والمقاومة الكهربائية النوعية مميزة أساسية للمادة عندما تضرب بطول الجسم وتقسم على مساحة المقطع العرضي، الشكل (1-8).

(1-1)

$$R = \rho \cdot \frac{L}{A}$$



الشكل (1 - 8) يبين طريقة حساب المقاومة الكهربائية النوعية لمادة ما.

ولدنيا الجدول (1-2) يبين قيم المقاومة الكهربائية النوعية لأنواع للمواد الهندسية.

الجدول (1 - 2) يعطي قيم المقاومة الكهربائية النوعية لأنواع المواد الهندسية.

مادة موصلة	مادة نصف ناقلة	مادة عازلة
$\rho = 10^{-6} \cdot \Omega m$ (نحاس)	$\rho = 50 \cdot \Omega m$ (جرمانيوم) $\rho = 50 \times 10^3 \cdot \Omega m$ سيلكون	$\rho = 10^{+12} \cdot \Omega m$

5- معامل الأداء (COP) Coefficient of Operation Performance: وهو نسبة الحرارة المزالة في حالة التبريد (الحرارة المضافة في حالة التسخين) مقسومة على الاستطاعة الكهربائية المستهلكة، إن مصطلح معامل الأداء هو الأكثر استخداماً من مصطلح المردود في حالة النظام الكهروحراري لأنه من الممكن إزالة حرارة أكبر من الاستطاعة المقدمة وفي هذه الحالة سيكون المردود أكبر من الواحد بينما مردود أي آلة أقل من الواحد.

6 – فرق درجات الحرارة الأعظمي (ΔT_{max}) : التي يتم الحصول عليها بين الجهتين الباردة والساخنة للوحدة (المركبة) الكهروحرارية وذلك عند تطبيق تيار أعظمي I_{max} وعند عدم وجود حمل حراري مطبق على المجموعة، وهو يقاس عند درجة حرارة للوسط المحيط 300 K، وهو أيضاً يستخدم كمؤشر قياسي لسعة التبريد للنظام الكهروحراري، علماً أنه يستحيل إزالة كل المصادر الحرارية.

7- وحدة القياس البريطانية (BTU) : مقدار الحرارة المطلوبة لرفع باوند واحد من الماء بمقدار درجة فهرنهايت واحدة وذلك عند درجة حرارة قياسية 39.2°F وضغط جوي 1atm ، وعلاقة التحويل للوحدات في الجملة الدولية هي كالتالي { الجدول (1-3) } :

$1\text{BTU}=1055\text{ J}$, $1\text{TON}_{\text{ref}}=12000\text{ BTU}=3024\text{ k. cal/h}=3.5\text{ kW}$, $^{\circ}\text{C}=(^{\circ}\text{F}-32)/5/9$

الجدول (1-3) يبين التحويلات بين الجملة الدولية والجملة البريطانية لأهم المميزات.

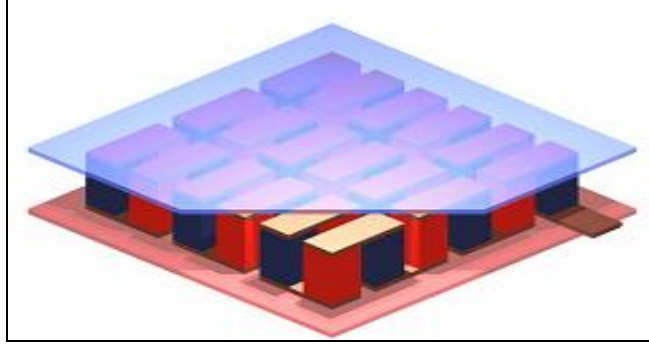
المميزة	علاقة التحويل
Thermal Conductivity الإيصالية الحرارية	$1\text{ BTU/ hr ft}^{\circ}\text{F} = 1.73\text{ W/ m.K}$ $1\text{ W/ m.K} = 0.578\text{ BTU/ hr ft}^{\circ}\text{F}$
Power (heat flow rate) معدل التدفق الحراري	$1\text{ W} = 3.412\text{ BTU/ hr}$ $1\text{ BTU/ hr} = 0.293\text{ W}$
Area المساحة	$1\text{ ft}^2 = 0.093\text{ m}^2$ $1\text{ m}^2 = 10.76\text{ ft}^2$
Length الطول	$1\text{ ft} = 0.305\text{ m}$ $1\text{ m} = 3.28\text{ ft}$
الحرارة النوعية Specific Heat	$1\text{ BTU/ lb}^{\circ}\text{F} = 4184\text{ J/ kg .K}$ $1\text{ J/ kg .K} = 2.39 \times 10^{-4}\text{ BTU/ lb}^{\circ}\text{F}$
Heat Transfer Coefficient معامل انتقال الحرارة	$1\text{ BTU/ hr ft}^2^{\circ}\text{F} = 5.677\text{ W/ m}^2 .\text{K}$ $1\text{ W/ m}^2 .\text{K} = 0.176\text{ BTU/ hr ft}^2^{\circ}\text{F}$
Mass الكتلة	$1\text{ lb} = 0.4536\text{ kg}$ $1\text{ kg} = 2.205\text{ lb}$

8- الضخ الحراري Heat Pumping : مقدار الحرارة التي يقوم النظام الكهروحراري بضخها أو إزالتها عند شروط العمل المعينة.

9- ماص الحرارة / نابذ الحرارة: إن تصميم النواذب الحرارية واختيارها هو عامل مهم وحاسم لعمل مثالي لنظام التبريد الكهروحراري، وبشكل عام يلصق نابذ الحرارة على الجهة الساخنة للوحدة الكهروحرارية ليساعد على انتقال الحرارة ونبذها للوسط المحيط، بينما ماص الحرارة يكون على الجهة الباردة للوحدة الكهروحرارية ليسهل انتقال الحرارة من الوسط المراد تبريده، وأغلب ماصات ونواذب الحرارة مصنوعة من صفائح الألمنيوم، التي قد تحوي زعانف ملصقة بها لزيادة سطح التبادل، بالإضافة لمروحة تعمل على تحريك الهواء للوسط الخارجي عبر ماص الحرارة لانتقاط الحرارة من الوحدة، ويوجد نوع آخر من هذه الماصات بشكل صفيحة مع أبواب مثبتة بداخلها يتم تمرير سائل عبرها لانتقاط الحرارة من الوحدة الكهروحرارية، وسنشرح لاحقاً التصميم الرئيسة للنواذب الحرارية في فقرة الأجهزة المساعدة.

- 10- الحرارة المنقولة بتأثير فرق درجات الحرارة Passive Heat Load : هي كمية الحرارة المنقولة عبر جدار معزول له مقاومة حرارية من وسط درجة حرارته عالية إلى وسط درجة حرارته منخفضة.
- 11- تأثير بيلتيه Peltier Effect: عند مرور تيار كهربائي في وصلة تتألف من نوعين مختلفين من المعادن يؤدي ذلك إلى حدوث أثر تبريدي يتجلى من خلال حدوث فارق في درجات الحرارة بينهما.
- 12- تأثير سيبك Seebeck Effect: عند وضع وصلة تتألف من نوعين مختلفين من المعادن توضع نهايتيها عند درجتى حرارة مختلفة سيؤدي ذلك إلى مرور تيار كهربائي، وهو الأساس الذي تعتمد عليه المزدوجات الحرارية لقياس درجة الحرارة.
- 13- الحرارة النوعية Specific Heat: مقدار الطاقة الحرارية المطلوبة لرفع درجة حرارة مقدار معطى من المادة درجة مئوية واحدة، وتقاس بالجملة الدولية بـ (J / kg.K).
- 14- معامل التمدد الحراري Thermal Coefficient of Expansion: وهو نسبة تغير الأبعاد للمادة بسبب تغير درجات الحرارة ويقاس بـ (cm / cm لكل درجة مئوية واحدة).
- 15- الإيصالية الحرارية Thermal Conductivity : وتتعلم بمقدار الحرارة التي ينقلها الجسم عبر حجمه عندما يتم فرض فرق في درجات الحرارة عبر ذلك الحجم، وهي مميزة أساسية وتقاس في الجملة الدولية بـ (W / m. K).
- 16- السطح الحراري البيني Thermal Interface: وهو سطح بيني فيزيائي بين جسمين يتم توصيل الحرارة خلاله، أي يمكن القول أنه مادة تتمتع بناقلية حرارية عالية، وعادةً يستخدم معجون حراري بين المجموعة وماص الحرارة لتسهيل انتقال الحرارة، وفي بعض الأحيان توصل مع بعضها البعض.
- 17- المقاومة الحرارية Thermal Resistance: وهي قياس الانخفاض في درجات الحرارة عند اجتياز السائلة الحرارية عبر العنصر الكهروحراري (ممانعة العنصر لانتقال الحرارة عبره)، ومن المقاومات الحرارية الشائعة (مقاومة الامتصاص الحراري- مقاومة السطح البيني الحرارية) ويمكن القول إن المبرّدات الكهروحرارية تعمل بشكل أفضل مع ماصات الحرارة الأفضل (أيّ مقاومات حرارية منخفضة).
- 18- الوحدة (المركبة) الكهروحرارية Thermal - Electric Module: عبارة عن مجموعة إلكترونية مبنية على أساس المواد نصف الناقلة، والتي تعمل كمضخة حرارية صغيرة وذلك عند تطبيق تيار مستمر ذي جهد منخفض على الوحدة الكهروحرارية،

الحرارة لن تنتقل من طرف إلى آخر خلال الوحدة لذلك يبرد أحد الأطراف ويسخن الطرف الآخر، وفقاً لذلك فإنّ الوحدة الكهروحرارية يمكن أن تستخدم للتبريد والتسخين، والشكل (1-9) يبين منظوراً للوحدة الكهروحرارية.



الشكل (1-9) يمثل منظوراً لوحدة تبريد كهروحرارية.

- 19- معامل طومسون Thomson Coefficient: وهو مقياس تغير المحتوى الحراري خلال الناقل الكهربائي والذي يكون طرفاه (نهايتاه) عند درجتين حراريتين مختلفتين ويمر فيه تيار.
- 20- الجهد الأعظمي (V_{max}): هو الجهد الذي يتم الحصول عليه عند فرق درجات الحرارة الأعظمي ΔT_{max} وتطبيق تيار أعظمي I_{max} وعند درجة حرارة للوسط المحيط 300 K.

1-4- تاريخ الكهروحرارية: History of The Thermoelectric

تقنية الكهروحرارية مرت بثلاث مراحل تطور رئيسية وهي [18]:

1-4-1- المرحلة من 1820 إلى 1850:

في عام 1821 اكتشف العالم الفيزيائي الأستوني توماس سيبك (Thomas Johann Seebeck) أنّ قوة محرّكة كهربائية (emf-Electromotive Force) تنتج في سلك معدني عندما يكون فارق حراري بين طرفيه، وعلى هذا الأساس -مبدأ سيبك- (Seebeck Effect) اعتمد إنتاج مولّدات الطاقة الكهروحرارية، بعده بحوالي 13 سنة لاحظ العالم بيلتييه (Jean Peltier) أنّه عند عكس هذه الحادثة، أيّ بتمرير تيار كهربائي سينتج فارق حراري بين طرفي الوصلة (أي أنّ الجهة الأولى ستبرد والأخرى ستسخن)، وهذه الوصلة مكونة من مادتين مختلفتين، عرفت هذه الظاهرة فيما بعد بتأثير بيلتييه (Peltier Effect).

إنّ طبيعة تأثير بيلتييه بيّنت لأول مرة سنة 1838 من قبل العالم لينز (Lenz)، الذي استنتج أنّه بتغيير جهة التيار الكهربائي المار فإنّه سيتم امتصاص حرارة أو نبذ حرارة في

وصلة مكونة من مادتين موصلتين متباينتين، وأثبت استنتاجه بتجربة تجمّد بعض نقط الماء على وصلة البزموت وذوبانها عند قلب جهة التيار، وفي سنة 1855 أوجد العالم (William Thomson) العلاقة النظرية بين تأثير سيبك وتأثير بيلتيه، وهو أيضاً تتباً بإيجاد التأثير الثالث في الكهروحرارية والمعروف حالياً بتأثير طومسون (Thomson Effect)، والذي أثبتت ملاحظاته التجريبية هذا التأثير بعد سنوات، إذاً في هذه الفترة اكتشفت التأثيرات ومفاهيمها التجريبية وتطبيقاتها في التبريد أو توليد الطاقة.

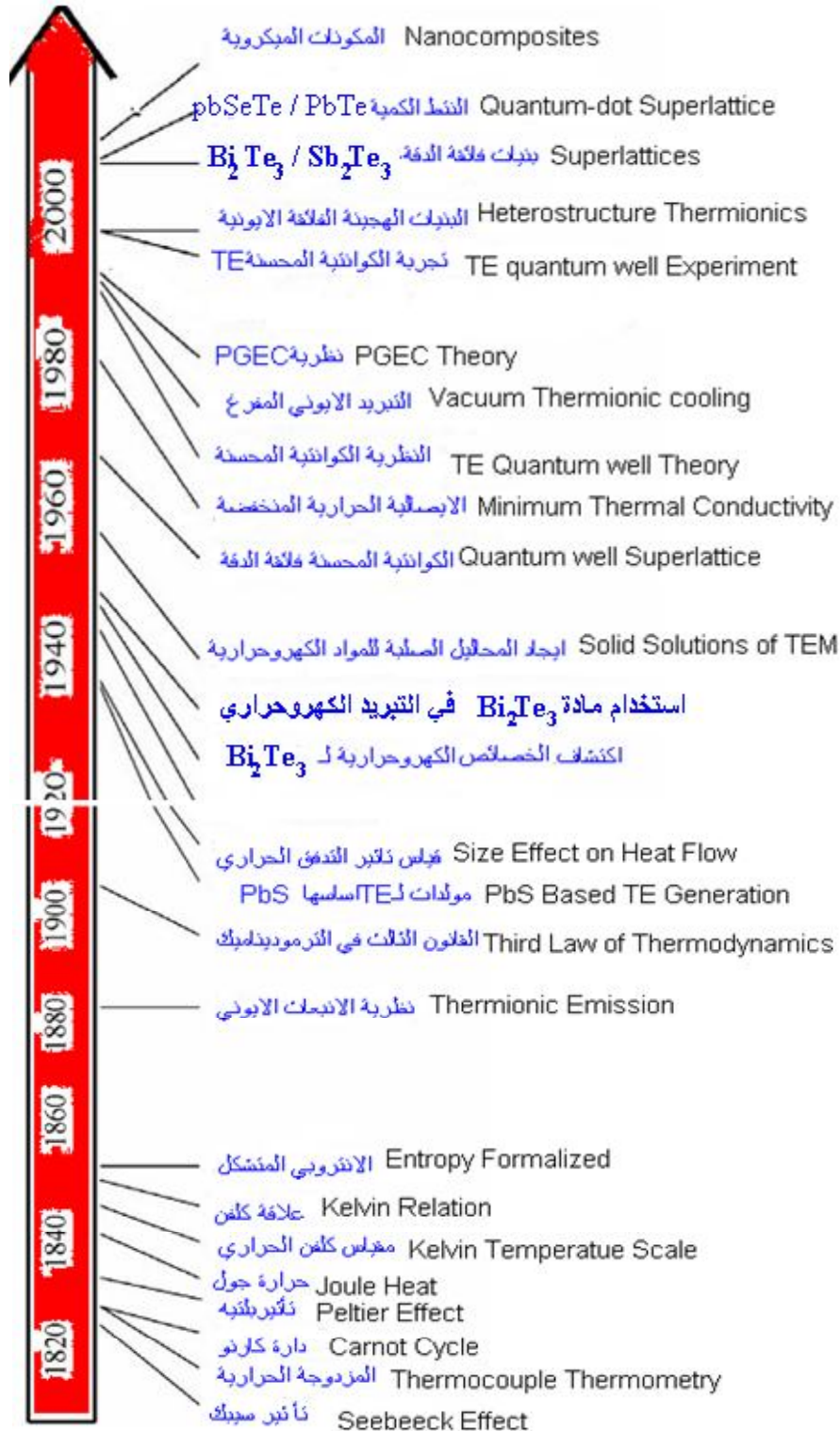
1-4-2- المرحلة من 1930 إلى 1960:

في هذه الفترة بدأ ظهور أبحاث جديدة في الكهروحرارية مع التطور الحاصل في مجال المواد شبه الموصلة (Semiconductors) ذات القيمة المرتفعة لمعامل سيبك ($>100 \mu V/K$)، وفي عام 1949 أوجد العالم (Ioffe et al) نظرية العناصر الحرارية نصف الناقلة (شبه الموصلة)، وفي عام 1954 لاحظ العالمان (Goldsmid and Douglas) بشكل تجريبي حدوث التبريد الكهروحراري من وسط خارجي درجة الحرارة أقل من الصفر، في الوقت نفسه لم يكن واضحاً ماهية أنصاف النواقل والمواد الكهروحرارية بسبب علاقتها بالإيصالية الكهربائية المنخفضة وإيصاليته الحرارية العالية، وفي عام 1956 برهن العالم (Ioffe) وفريقه العامل أن نسبة الإيصالية الحرارية على الكهربائية يمكن أن تتخفض إذا أضيف مع أنصاف النواقل عناصر شائبة (Isomorphous)، وخلال هذه الفترة تطور المفهوم الدقيق للتأثيرات الكهروحرارية بشكل أكبر، فالיום المواد الكهروحرارية مثل خلاط تيليرايد البزموت (Bi_2Te_3) هي أيضاً تطورت.

1-4-3- المرحلة من 1990 إلى الوقت الحاضر:

التقدم الحاصل منذ عام 1960 في تحسين قيمة المقدار $\{Z.T_h\}$ وهو جداء مميزة الشكل بدرجة حرارة الجهة الساخنة للنظام - راجع ص 35 { كان بطيئاً حتى عام 1990 عندما تم الحصول على قيمة أعظمية له حوالي الواحد، وما يزال البحث الكهروحراري يأخذ عدة منح لتحسين القيمة ويتم التركيز على مواد مركبة جديدة، وهناك منحنى اعتمد على التأثيرات الكمية (Quantum Effects) في البنيات المجهرية لزيادة قيمة المقدار $\{Z.T_h\}$ مثل البنية الشبكية الفائقة الدقة (Superlattice) في ثنائية الأبعاد، عموماً إن المواد الكهروحرارية الأكثر استخداماً في صناعة المبرّدات الكهروحرارية هي خلاط (Bi_2Te_3) ولها قيمة للمقدار $\{Z.T_h \approx 1\}$ عند درجة حرارة الغرفة 300 K، وقيمتها لخلاط ($PbTe, Z.T_h \approx 0.9$) عند 700 K ولخلاط (SiGe) $Z.T_h \approx 0.7$ عند درجة حرارة 1000 K.

منذ عام 1990 أوجد التطور السريع مواد البنية الدقيقة ذات القيمة الأكبر لـ $(Z.T_h)$ فللمادة القاعدية (Bi_2Te_3) هي حوالي $Z.T_h \approx 2.5$ ، وللمادة القاعدية $(PbTe)$ $(Z.T_h)$ تساوي حوالي $Z.T_h \approx 2$.
 الشكل (10-1) يمثل أهم الأحداث الحاصلة في المجال الكهروحراري خلال المراحل التاريخية الثلاث التي شرحناها سابقاً.



الشكل (1-10) يمثل أهم التطورات الحاصلة في المجال الكهروحراري في المراحل الثلاث.

الفصل الثاني

بنية نظام التبريد الكهروحراري

Thermoelectric Cooling System Construction

1-2- مقدمة Introduction:

إحدى الصعوبات الكبرى التي واجهت العلماء في مجال الكهروحرارية هي البحث عن مواد ذات قيمة مرتفعة للمقدار $(Z.T_h)$ ، ونعلم في الواقع أن هناك ثلاثة أنواع من المواد الصلبة من حيث الناقلية الكهربائية، هي العوازل (مقاومتها الكهربائية النوعية كبيرة جداً بالدرجة العادية من الحرارة من مرتبة $10^6 \Omega \cdot m$ كالكوارتز)، وأنصاف النواقل (مقاومتها الكهربائية النوعية تتراوح بين $10^5 \div 10^{-5} \Omega \cdot m$ كالجرمانيوم والسيليسيوم)، والمعادن (مقاومتها الكهربائية النوعية صغيرة جداً من مرتبة $10^{-8} \Omega \cdot m$)، حيث أن العوازل والمعادن هي مواد سيئة كهروحرارياً لأن العوازل تملك ناقلية كهربائية منخفضة جداً أو شبه معدومة، بينما تملك المعادن قيمة منخفضة لمعامل سيبك، بالإضافة أن كلاً من نواقل الكهرباء والحرارة في المعادن هي الإلكترونات الحرة وتخضع لقانون (Wiedmann – Franz Law) حيث الإيصالية الحرارية تتناسب مع الإيصالية الكهربائية، ومن الصعب زيادة قيمة المقدار $(Z.T_h)$ في المعادن، إذاً تبقى فقط أنصاف النواقل (المواد شبه الموصلة) الخيار الوحيد لأنظمة التبريد الكهروحرارية، ففي أنصاف النواقل يمكن التحكم بالناقلية الحرارية والكهربائية التي تتم عبر حركة الإلكترونات الحرة - الثقوب المزدوجة.

هذه المواد متوفرة تجارياً لدى شركات عالمية متخصصة بإنتاجها مثل شركات

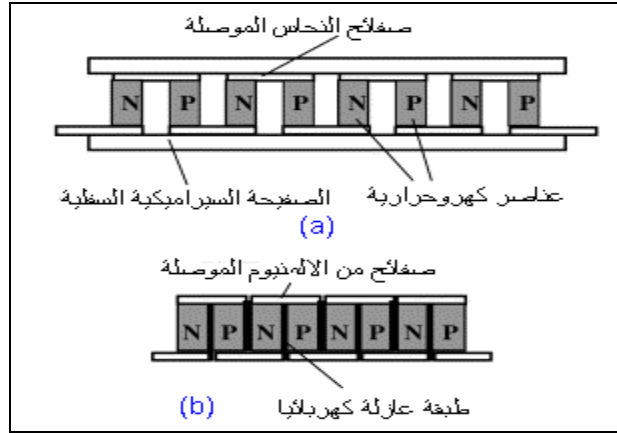
(MARLOW, MELCOR Corporation من (USA)، وشركة ADV-Engineering

من Moscow-Russia وغيرهما....

2-2 - بنية النظام الكهروحراري Thermoelectric System Construction:

في الوقت الحاضر يوجد نمطان لتوضع العناصر الكهروحرارية بين الصفائح السيراميكية وهذا موضّح في الشكل (1-2)، فالنمط الأول (a) هو التصميم الشائع لتطبيقات

التبريد، هنا نلاحظ أنّ العناصر الكهروحراريّة الداخلية مفصولة بفراغات بينية ولكنّها متصلة من النهايات بصفائح رقيقة من النحاس (موصل كهربائي جيد) تؤمن اتصالاً كهربائياً وربطاً على التسلسل ومحشوة بين صفحتين من السيراميك، بينما النمط (b) وهو تصميم مطوّر حديثاً مستخدم في مولدات الطاقة، حيث نلاحظ كثافة البنية مع فواصل بينية صغيرة جداً بين العناصر الكهروحراريّة، فلا يفصل بينها سوى طبقة رقيقة من عازل كهربائي والهدف من ذلك زيادة الطاقة في واحدة المساحة.



الشكل (2 - 1) يبين طرق توضع الأزواج الكهروحراريّة بين الصفائح السيراميكيّة.

كما ذكر سابقاً أنّ النظام الكهروحراري مؤلف من أزواج كهروحراريّة (مواد شبه موصلة) من النوعين (N-type) و (P-type)، التي توصل كهربائياً على التسلسل وحراريّاً على التوازي وتثبت باللحام، توضع هذه العناصر بين صفيحتين (لوحين) من السيراميك، الأولى من الطرف البارد والثانية من الطرف الساخن كما هو موضح في الشكل (2-3)، حيث نرى زوجاً كهروحراريّاً مفرداً يتكون من مادتين متباينتين من أنصاف النواقل، أولاً في حالة التبريد يكون اتجاه التيار المستمر من المادة (N-type) إلى المادة (P-type) وتتناقص درجة الحرارة T_c للموصل الداخلي ويحدث امتصاص للحرارة من الداخل عندما تنتقل الإلكترونات من المستوى الطاقوي المنخفض في المادة (P-type) إلى الموصل المتصل بها وثم إلى المستوى الطاقوي الأعلى في المادة (N-type)، أيّ يمكن القول إنّ انتقال الحرارة يتم بواسطة الإلكترونات الحرّة خلال المواد نصف الناقلة من الوصلة الأولى إلى الوصلة الأخرى ذات درجة الحرارة T_h ، حيث يتم التخلص من الحرارة بطرحها للوسط الخارجي ومن ثم لتعود الإلكترونات للمستوى الطاقوي المنخفض. هناك تأثير آخر مهمّ في الكهروحراريّة هو (تأثير سيبيك) الذي ينشأ عندما نحدث فارق حراري بين نهايتي الوصلتين سيتولد كمون كهربائي يدعى بكمون سيبيك

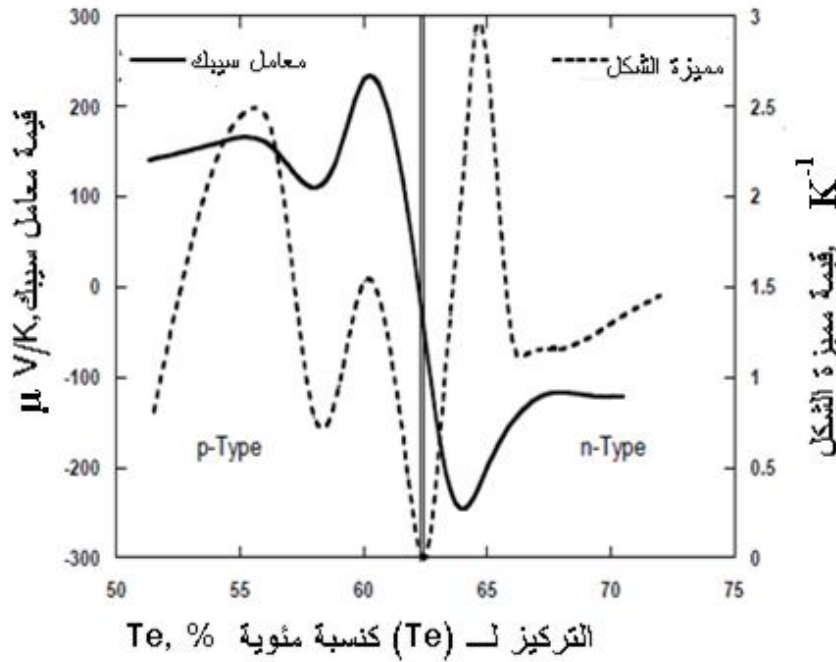
(Seebeck Voltage) وهو يتناسب مع قيمة الفارق الحراري المشكّل، وثابت التناسب يسمى بمعامل سيبك (Seebeck Coefficient).

وفي الحقيقة كمية الحرارة الممتصة عند النهاية الباردة أو الحرارة المنبوضة عند النهاية الساخنة، تتوقف على قيمة معامل بيلتيه وشدة التيار الكهربائي المار خلال أنصاف النواقل، عملياً تتأثر الكمية الصافية للحرارة الممتصة عند النهاية الباردة بسبب تأثير بيلتيه بحرارة التلامس (التوصيل) وحرارة جول، وبسبب الفارق بدرجات الحرارة للمواد نصف الناقلية عند النهايتين الباردة والساخنة تنتقل الحرارة عبر المواد نصف الناقلية، وسينشأ تيار وتزداد قيمته ثم يزداد الفارق الحراري وحرارة التوصيل (الضياع الأول) بسبب ازدياد تأثير بيلتيه التبريدي، الضياع الآخر هو حرارة جول التي تتناسب مع مربع التيار المار، والتوازن الحراري يحدث عند الجهة الباردة عندما حرارة بيلتيه مساوية لمجموع حرارة التوصيل ونصف حرارة جول، أمّا النصف الآخر فإنه يذهب للنهية الأخرى (الجهة الساخنة)، بينما الحرارة المنبوضة الصافية عند النهاية الساخنة هي مجموع الحرارة الصافية الممتصة عند النهاية الباردة إضافة للطاقة الكهربائية المستهلكة في الدارة، عملياً يستخدم معامل الأداء COP للدلالة على فعالية التبريد. إنّ السعة التبريدية للمواد نصف الناقلية تتعلق بمجموعة عوامل وهي (كمون سيبك، المقاومة الكهربائية، الإيصالية الحرارية إضافة لمجال الفارق الحراري بين النهايتين)، وعادة يتراوح المجال الحراري الذي تعمل به المواد نصف الناقلية المستخدمة في التبريد بين $(-120^{\circ}\text{C} \div 230^{\circ}\text{C})$ للسبيكة الثنائية $\{ (\text{Bi}, \text{Sb})_2 (\text{Te}, \text{Se})_3 \}$ والتي تعرف عملياً بتيلورايد البزموت (Bismuth Telluride)، والجدول (1-2) يبين خصائصها الكهروحرارية [16].

يمكن القول إنّ بنيتها البلورية تتوضع بشكل معيّن وإنّ الإيصالية الحرارية للمادة (Bismuth Telluride) تتضمن جزأين، الأول هو الإيصالية الحرارية للبنية الشبكية للمادة، والثاني الإيصالية الحرارية للإلكترونات أو الثقوب، حيث أنّ الإيصالية الحرارية للبنية الشبكية (باتجاه مواز لمحورها) تساوي عند درجة حرارة عالية $(k_L = 5.1 \text{ W/m.K})$ ، الإيصالية الحرارية المرتفعة للمادة (Bi_2Te_3) تتوقف على تركيز حاملات الشحنة ودرجة الحرارة وتتراوح بين $(1.5 \div 3.5) \text{ W/m.K}$ عند درجة حرارة 300 K ، والإيصالية الكهربائية تزداد مع ازدياد درجة الحرارة بسبب التهيّج الحراري للإلكترونات أو الثقوب، الإيصالية الكهربائية أيضاً تتوقف على كثافة تركيز حركة الحاملات، فناقلية كتلة

الحاملات (مقلوب المقاومة الكهربائية النوعية) حوالي $(1.4 \times 10^4 \Omega^{-1} \cdot \text{m}^{-1})$ للمادة الحقيقية لـ (Bi_2Te_3) .

أما بالنسبة لمعامل سيبك وقيمة مميزة الشكل فهما يتوقفان على التركيب البنيوي للمادة كما يُظهر ذلك الشكل (2- 2).

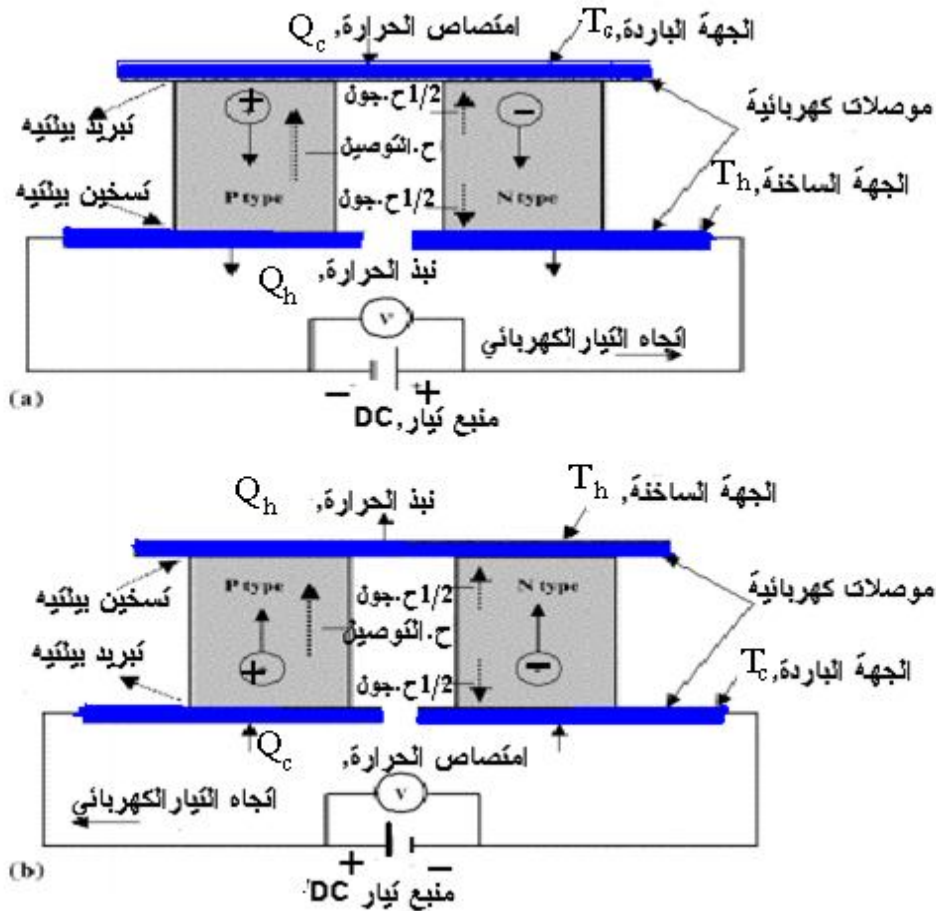


الشكل (2- 2) يبين تغير قيمتي معامل سيبك ومميزة الشكل مع تركيز Te في المادة (Bi_2Te_3) . من خلال الشكل السابق نلاحظ أنّ قيمة معامل سيبك للمادة (Bi_2Te_3) تابعة بشكل كبير لمحتوى المادة من العنصر Te، فالنوع (P-type) يملك قيمة لمعامل سيبك متزايدة حتى القيمة $+230 \text{ V/K}\mu$ عند تركيز % 60، ثم ليتناقص حتى يصبح ذو قيمة سالبة عند النوع (N-type)، الأمر نفسه ينطبق على قيمة مميزة الشكل للنوعين (P-type, N-type).

الجدول (1- 2) يبين الخصائص الكهروحرارية لمادة تيلورايد البزموت مقارنة مع معدن النحاس عند درجة حرارة 298 K.

		تيلورايد البزموت (Bismuth Telluride)	
معدن النحاس Cu		P-type	N-type
المقاومة الكهربائية النوعية $\{(\rho), \mu\Omega \cdot \text{m}\}$	0.0171	8.39	6.41
معامل سيبك $\{(\alpha), \mu\text{V/K}\}$	1.9	209	-186

الإيصالية الحرارية { (k) ، W /m.K }	401	1.64	1.78
مميزة الشكل $Z.T_h$	1.57×10^{-4}	0.95	0.90



الشكل (2-3) يبين اتجاه الضخ الحراري في النظام بتغير القطبية.

وسيتم الشرح بالتفصيل لمكونات النظام الرئيسية والمواد المستخدمة في التصنيع وكيفية التركيب والتجميع للنظام الكهروحراري.

2-2-1- المواد شبه الموصلة Semiconductors Materials:

تسمى أحياناً بالحبيبات الصغيرة (الأزواج الكهروحرارية)، وأهم جزء في النظام، والمواد شبه الموصلة الأصلية عند إضافة شوائب إلى بنيتها الأصلية سينتج لدينا أحد نوعين، الأول (P-type) والثاني من النوع (N-type)، ولكي نكون نظام تبريد كهروحراري يعمل بالشكل الصحيح يجب أن نجمع مواد شبه الموصلة من النوعين، ومن المعروف أن النوع (P-type) يفتقد للإلكترونات ولذلك يوصل بالقطب السالب للبطارية، أما النوع (N-type) ففيه وفرة من الإلكترونات الحرّة لذلك توصل بالقطب الموجب، علماً أن المقاومة الكهربائية النوعية للمواد شبه الموصلة تتراوح بين $(0.0000001 \div 1000) \Omega.m$

ومن المواد المستخدمة في شبه الموصلات (الجرمانيوم $e = 32$ ، السيلكون $e = 14$ ، الزرنيخ $e = 81$ وغيرها..) وكشروط عامة مطلوبة في المواد شبه الموصلة المستخدمة في التبريد الكهروحراري أن تكون جيدة التوصيل الكهربائي لتقليل الفقد في فرق الجهد (Voltage Drop)، وأن تكون سيئة التوصيل الحراري لكي يتكوّن لدينا فارق حراري واضح، هذه المواد مصنوعة من {تيلورايد البزموت (Bismuth Telluride)}، {تيلورايد أنتيمون (Antimony Telluride)}، اللذين يشكلان حالياً أفضل المواد الكهروحرارية المعروفة المستخدمة بسبب الأداء المثالي لهما وخواصهما التكنولوجية الجيدة.

الطبقات الرقيقة (الفيلم الرقيق) للمواد الكهروحرارية (P-type, N-type) ذات قيمة مرتفعة لمميزة الشكل، يمكن الحصول عليها بطريقة (Thermal Coevaporation) في غرفة مفرغة تماماً وبسماكة حتى $10 \mu\text{m}$ ، يبين الجدول (2-2) خصائص المواد الكهروحرارية عند درجة حرارة 300 K [5].

جدول (2-2) يبين الخصائص الكهروحرارية للمواد الكهروحرارية المستخدمة.

مميزة الشكل 300K*	المقاومة الكهربائية النوعية $\mu\Omega.m$	معامل سيبك $\mu V/^{\circ}C$	Bi أو Sb	Te	الفيلم الرقيق
0.86	12.6	-248	38 %	62 %	Bi_2Te_3
0.49	12.6	188	27 %	73 %	Sb_2Te_3

• تم فرض قيمة الإيصالية الحرارية (1.7 W/m.K) عند الحساب.

2-2-2- الصفائح السيراميكية: Ceramics plates

حيث تكون إحداها باردة والأخرى ساخنة تحصر بينها الأزواج الكهروحرارية- أنظر الشكل (1-2)- ويمكن أن تكون هنالك صفيحة متوسطة عندما يكون النظام متعدد الطبقات، وهذه الصفائح السيراميكية توفر الحماية للنظام الكهروحراري وتضمن سلامة التجهيزات الكهربائية الأخرى كما تؤمن العازلية الكهربائية للنظام، ولكي يكون هناك تبريد (امتصاص ونبذ للحرارة) يجب أن تكون جيدة الإيصالية الحرارية لتأمين انتقال الحرارة بيسر وأقل مقاومة، ومن هذه الأنواع (سيراميك) أكسيد الألمنيوم (Al_2O_3) المستخدم بشكل واسع بسبب السعر والعمل المثالي وتطور تقنيات تشغيله، أما الأنواع الأخرى من السيراميك مثل نتريد الألمنيوم (Alumina Nitride - ALN) و (Beryllia) ذو الصيغة

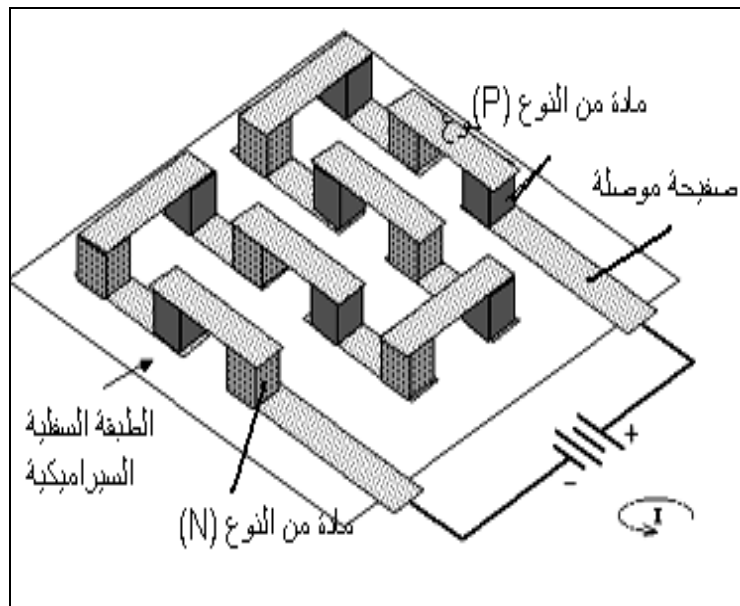
(BeO) فهي أيضاً مستخدمة وهي تملك إيصالية حرارية أفضل بـ 5 أو 7 مرّات أكثر من (Al_2O_3) لكنهما غالبي الثمن، بالإضافة إلى أنّ (BeO) تكنولوجياً خطراً، يبين الجدول (2 - 3) الخصائص الفيزيائية لهذه المواد [17].

الجدول (2- 3) يبين الخصائص الفيزيائية لبعض المواد السيراميكية.

المادة	الكثافة $kg/m^3(x10^{+3})$	الإيصالية الحرارية W/m.K	معامل التمدد الحراري $10^{-6} / K$	المقاومة الكهربائية النوعية $\Omega.m$
Al_2O_3	3.89	35	8.4	10^{12}
BeO	2.85	248	7.2	10^5
ALN	3.26	$180 \div 140$	4.5	$>10^{12}$

2- 3- الموصلات الكهربائية Electrical Conductors:

تربط على التسلسل لتؤمن اتصالاً كهربائياً بين عناصر المواد شبه الموصلة جميعها، أيّ تربط الجزء الساخن للعنصر الكهروحراري الأول مع الجزء البارد للعنصر التالي واتصالاً رئيسياً مع أسلاك التوصيل الكهربائية الرئيسية (Leading Wire) كما هو مبين في الشكل (2-4)، هذا وفي أغلب نماذج الاستطاعات المنخفضة، الموصلات تصنع على شكل طبقة رقيقة (فيلم رقيق - Thin Film)، بينما في البنية متعددة الطبقات تحتوي على عنصر النحاس كمادة موصلة متوضّعة على الصفائح السيراميكية، بمعنى آخر لأجل نماذج الاستطاعات العالية تكون الموصلات مصنوعة من النحاس النقي (Cu Tabs) لتخفيض المقاومة.



الشكل (2-4) يبين كيفية توضع الموصلات الكهربائية.

الجدول (2-4) يبين القيم المختلفة للإيصالية الحرارية للمعادن المستخدمة كموصلات كهربائية في النظام الكهروحراري [9].

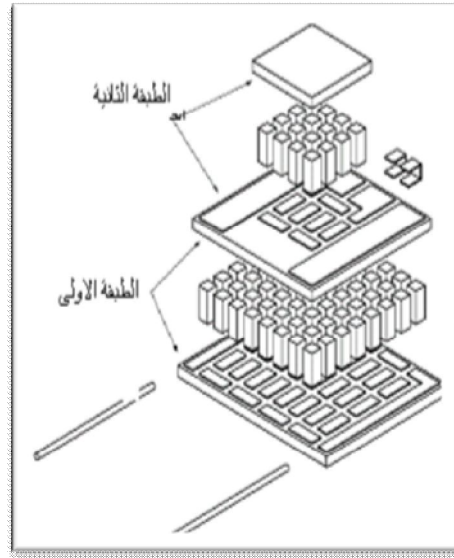
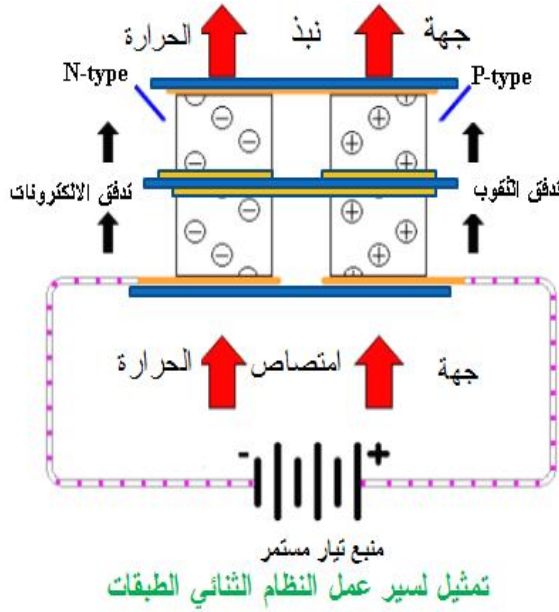
الجدول (2-4) يبين قيمة الإيصالية الحرارية للمعادن المختلفة.

المعدن	الإيصالية الحرارية (W/m.° C)
الألمنيوم	205
النحاس	386
الذهب	315
خليطة بلاتينيوم 90 % ، راديوم 10 %	31
بلاتينيوم	70.9

2-2-4- طريقة اللحام Solders Method:

تستخدم عملية اللحام لتجميع أجزاء الوحدة الكهروحرارية جميعاً جيداً، كما يجب أن تحدّد نقطة ذوبان اللحام أعلى من درجة حرارة التشغيل للوحدة لضمان عمر تشغيلي طويل، وتتصل أسلاك التوصيل الرئيسية (Leading Wires) مع نهايات الموصلات لتنتقل التيار الصادر من الم منبع الكهربائي، فلتجميع النموذج الأحادي أو النموذج المتعدد الطبقات { الذي يتضمن طبقتين كالشكل (2-5) أو أكثر من المواد شبه الموصلة، وتكون الطبقة فوق الأخرى، وبناء النظام المتعدد الطبقات يكون ذو شكل هرمي، الطبقة الأدنى تكون أكبر من الطبقة العليا بعدد الأزواج الكهروحرارية وبالمساحة، وتستخدم الطبقة الأعلى لغاية للتبريد (امتصاص حرارة)، والطبقة الأدنى تتطلب مساحة واسعة لسرعة طرح الضخ الحراري الذي يمتصّ من الطبقة الأعلى } نستخدم اللحام بطريقة تقلل الإجهادات. لتقليل قيمة مقاومة التلامس بين العناصر الكهروحرارية وصفائح الموصل الكهربائي (النحاس)، تتم قصرة العناصر بطبقة رقيقة من النيكل وقصرة صفائح النحاس بطبقة رقيقة من سبيكة (30 % Sn , 70 % Bi) قبل لحامها بطبقة من طريقة (10 % Sn , 90 % Bi) ، ونستخدم طبقة رقيقة من البزموت بين العناصر الكهروحرارية وصفائح النحاس بهدف خفض الإجهادات الحرارية الناشئة عن تواجد الوصلات عند درجات حرارة مختلفة، ومن شروط اللحام الجيد أن تكون نقطة ذوبان اللحام للجوانب الخارجية دائماً أدنى من اللحام الداخلي في الوحدة الكهروحرارية، وزمن اللحام يفضل أن يكون قصيراً ما أمكن لتخفيض فترة الارتفاع الحراري للوحدة الكهروحرارية، ولا ينصح

باستعمال اللحام بطول خطوة للطرف الجانبي أكثر من 15 mm بسبب تولّد الإجهادات الحرارية، مادة الغراء تستخدم على نحو واسع بسبب بساطتها، وعادةً مواد Epoxy (مواد لاصقة) تملأ الفراغات بين المواد المتصلة حراريًا، مثل مسحوق الغرافيت، مسحوق الفضة (Silver)، نتريد سيلكون (SiN)، من جهة ثانية بعض الأبوكس لها درجة حرارة تشغيل منخفضة غير مناسبة لحرارة التشغيل العالية لنماذج الـ TEC، وبالتالي نجد أنها طريقة مناسبة لتطبيقات الإفرار العالية لأنّ الأبوكس يعاني مشاكل مع إفرار الغازات.



الشكل (2 - 5) يبين نظام تبريد كهروحراري ثنائي الطبقات (طريقة العمل - مكونات النظام).

2-3- الأداء The Performance :

نماذج (وحدات) الـ TEC يمكن أن تتميز بمتغيرات أداء كدرجة حرارة الوصلة الساخنة T_h وعموماً هذه قائمة بالخواص القياسية لأحد النماذج [6] :

- $\Delta T_{max} (^{\circ}C)$: فرق درجة الحرارة الأعظمي للنموذج (بين الجهتين) عند حمل حراري $Q = 0 W$ ، وقيمة $\Delta T_{max} = 70 ^{\circ}C$ لنموذج كهروحراري مؤلف من طبقة واحدة عند درجة حرارة وسط خارجي $27 ^{\circ}C$ ، $\{ \Delta T_{max} = (T_h - T_c)_{max} \}$.

- $Q_c (W)$: سعة التبريد الموافقة لعمل عند $\Delta T_{max} = 0$ و $I = I_{max}$.

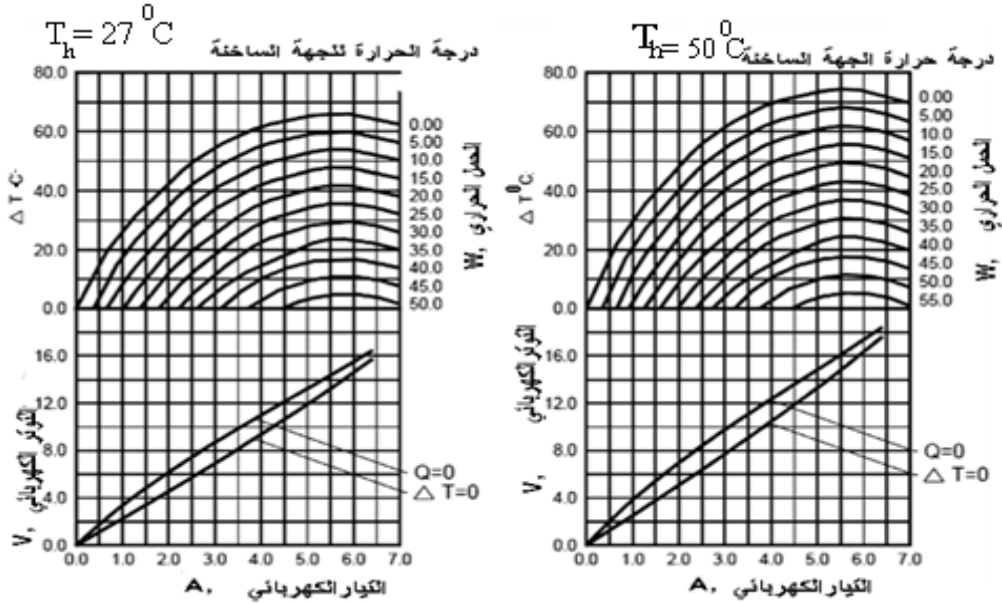
- $I_{max} (A)$: التيار الـ DC المار في النموذج عند ΔT_{max} والحمل $Q = 0 W$.

- $V_{max} (V)$: التوتر (فرق الكمون) الحدي لأجل I_{max} وبدون حمل حراري.

متغيرات الأداء السابقة هي مترابطة بعلاقات فيما بينها والاختيار الصحيح لأجهزة الـ TEC في تطبيق واقعي (يمكن أن يتم) باستخدام مخططات الأداء.

2-4- مخططات الأداء الأعظمي Maximum Performance Plots:

مخططات الأداء الأعظمي تشير إلى العلاقة المترابطة بين $(\Delta T_{\max}, Q_{\max}, V_{\max}, I_{\max})$ ، يمكن دراسة هذه المنحنيات من خلال الشكل (2-6)، التي تعود للوحدة الكهروحرارية (6 - 12 DT) من شركة MARLOW الأمريكية [11]، وهذه الوحدة تحوي على 127 زوجاً كهروحرارياً مترابطاً على التسلسل، أبعاد الوحدة (40 mm x 40 mm) ومصممة للعمل حتى درجة حرارة 150°C .



الشكل (2-6) مخططات الأداء الأعظمي للنظام.

إنّ المخططات السابقة المزودة من قبل الشركة الصانعة مثّلت في حالتين، الأولى بدرجة حرارة $(T_h = 27^{\circ}\text{C} = 300\text{ K})$ والحالة الثانية بدرجة حرارة $(T_h = 50^{\circ}\text{C} = 323\text{ K})$ ، ففي كل حالة يمكن من خلال المخططات الحصول على ΔT كتابع للتيار الكهربائي المطبق ولأجل قيم مختلفة لـ Q_c ، هناك مخططات أخرى للحصول على فرق الكمون الكهربائي اللازم كتابع للتيار الكهربائي. المخططات السفلية مثّلت بحدي القيم القصوى $\Delta T = 0$ و $Q_c = 0$ بما أنّ كل الحالات تقع ضمن هذه القيم وبتطبيق المعادلة:

$$V = \alpha \cdot \Delta T + \beta \cdot I \quad (2-1)$$

ومن خلال المنحني السفلي يمكن الحصول مباشرة على قيمة β وبفرض $T\Delta = 0$ تصبح المعادلة السابقة $\beta = V/I$ تمثل المقاومة الداخلية وهي ثابتة عند درجة حرارة ثابتة، وقيمتها للحالتين المدروستين $\beta = 2.431\Omega$ عند $T_h = 300\text{ K}$ وتساوي 2.769Ω عند $T_h = 323\text{ K}$.

2-5- مميّزة الشكل (رقم الاستحقاق) Figure of Merit :

إنّ فعالية تحويل الطاقة أو معامل الأداء COP لأجهزة التبريد الكهروحرارية تحدّد بقيمة مميزة الشكل (Figure of Merit) للمواد الكهروحرارية المستخدمة، وتسمى أحياناً برقم الاستحقاق، عموماً يرمز لها بـ Z والقيمة الأكبر لها تكون للطبقات الرقيقة جداً للمواد $(\text{Bi}_2\text{Te}_3 / \text{Sb}_2\text{Te}_3)$ فالمبرّدات المكوّنة على أساس المواد الكهروحرارية السابقة تملك قيمة لمعامل الأداء حوالي 2 وهو أقل من قيمة معامل الأداء بـ (4 أو 6) مرّات العائد للمبرّدات القائمة على أساس دارة انضغاط البخار عند العمل بنفس الشروط [18]. هناك العديد من متغيرات الأداء التي لا تظهر عادةً في المواصفات القياسية للوحدات الكهروحرارية التجارية لكنها تلعب دور مهمّاً في خصائص الوحدة، هذه المتغيرات هي الخصائص المعدنية للصفائح (كالإصلالية الحرارية k ، المقاومة الكهربائية R ومعامل سيبك α وترتبط فيما بينها بعلاقة تحدّد ما تسمى بمميّزة الشكل كالتالي :

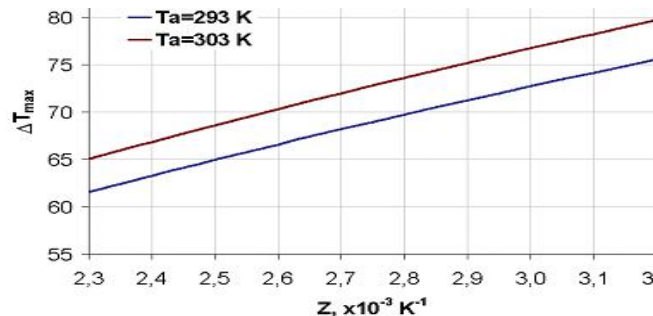
$$Z = \alpha^2 / k.R \quad (2-2)$$

المعامل Z يدل على مميزة الشكل (تسمى أحياناً برقم الاستحقاق)، والقيمة الاسميّة (النموذجية) له $Z = (2.5 \div 3.0) \times 10^{-3} \text{ K}^{-1}$ ، والمعروف أنّ قيمة Z دائماً تقيّم ΔT_{\max} في نظام أحادي الطبقة من خلال العلاقة التالية:

$$\Delta T_{\max} = \frac{1}{2} Z T_a^2 \quad (2-3)$$

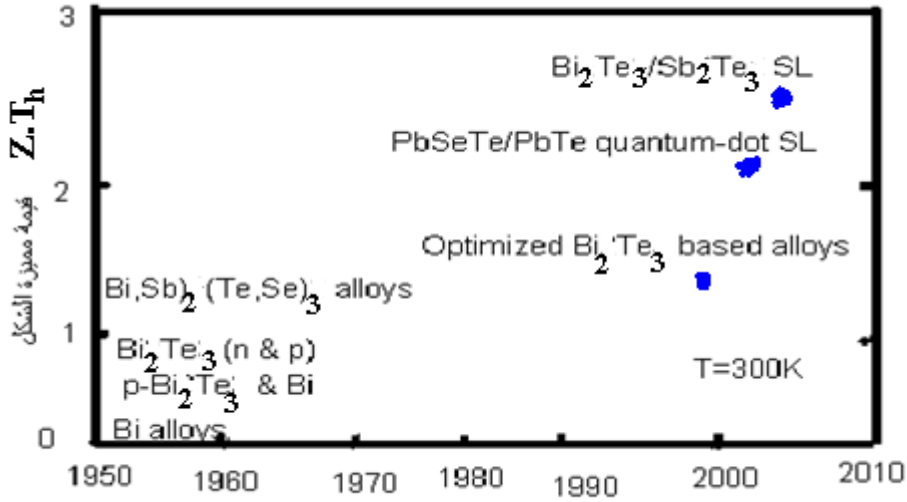
حيث T_a درجة حرارة الوسط الخارجي، وعلاقة درجة الحرارة مع (ΔT_{\max} ، Z)

موضّحة في الشكل (2-7).



الشكل (2 - 7) يبين العلاقة بين Z , ΔT_{max} .

ويمكننا أن نبين التطور الحاصل في قيمة مميزة الشكل للمواد المستخدمة في الكهروحرارية بالشكل (2 - 8)، والذي يظهر الخلط المستخدمة وقيمة مميزة الشكل لها عند درجة حرارة للوسط الخارجي (المحيط) 300 K [4].



الشكل (2 - 8) يبين التطور الحاصل في قيمة $(Z.T_h)$ للمواد الكهروحرارية.

6-2 - اختبارات الوثوقية القياسية Reliability Tests Standards:

الوحدات الكهروحرارية التجارية تصمم لعمر تشغيلي طويل وبمجال يتراوح بين (100 ÷ 200) ألف ساعة عمل، وبالنتيجة هي تكنولوجيا عالية التطور بمواد أولية ذات نوعية جيدة، لأجل هذه الغاية هناك العديد من الاختبارات القياسية المحلية والدولية، وهي موحدة بمجال الأجهزة الإلكترونية والإلكترونية في الأسواق العالمية مثل (MIL- STD- 883)، ومثل Bell core القياسي هو الأكثر انتشاراً ويسمى GP-468-CORE (Reliability Assurance for Optoelectronic Devices – ضمان الوثوقية للأجهزة الإلكترونية)، والاختبارات التي تجرى للوحدة الكهروحرارية قبل الاستخدام:

- اختبار الصدم الميكانيكي Mechanical Shock Test.
- اختبار الاهتزازات Vibration Test.
- اختبار قوى القص Shear Force Test.
- اختبار اختزان موجات الحرارة العالية High Temperature- Storage Test.
- اختبار تحمل دورة درجات الحرارة Temperature – Cycle Endurance Test.

7-2- اختيار وحدة TE لتطبيق ما Selection of TE Module For an Application:

إنّ أيّ تطبيق معين يستخدم وحدة كهروحراريّة تكون له متطلبات خاصة بمتغيرات العمل، وحدود التشغيل الضرورية للاختيار الصحيح للوحدة من بين مجال واسع من الوحدات المتوفرة (أحاديّة أو متعددة الطبقات)، وهذه المتغيرات التي يتوجب معرفتها أثناء اختيار الوحدة لتطبيق معين هي:

- ΔT ($^{\circ}C$) : فرق درجات الحرارة أثناء العمل (درجة حرارة الوسط الخارجي T_a ، درجة حرارة الوصلة الساخنة T_h).
- Q (W) : سعة التبريد التشغيليّة {الحمل الحراري أو كمية الحرارة المراد امتصاصها عند الجهة الباردة (Q_c) }.
- I (A) : التيار المستخدم للتطبيق.
- V (V) : التوتر الحدي (الكمون المطبق) بين النهايات.
- ضوابط وحدود العمل.

يمكن بشكل أولي التقدير السريع لاختلاف درجة حرارة التشغيل وسعة التبريد بالعلاقة التالية:

$$Q = Q_{\max} \left(1 - \frac{\Delta T}{\Delta T_{\max}}\right) \quad \text{و} \quad \Delta T = \Delta T_{\max} \left(1 - \frac{Q}{Q_{\max}}\right) \quad (2 - 4)$$

بينما التحليل التفصيلي يجب أن ينجز بمساعدة منحنيات الأداء، في الجدول (2-5) قائمة بالنماذج (الوحدات) التجاريّة الكهروحرارية المعروفة فيما يتعلق بمطلب الفارق الحراري للنموذج ذي الطبقة الواحدة من المواد شبه الموصلة، وهنا ΔT_{\max} يتراوح بمجال من 65 K حتى 72 K، أما النماذج ذات الطبقتين أو أكثر فإنّها يمكن أن تعطي فارقاً حرارياً أكبر، وهذا سيناقش بشكل مفصّل في الفصل الرابع.

الجدول (2- 5) قائمة بالنماذج التجارية (أحادية وثنائية الطبقات) المعروضة من شركة (RMT. Ltd) الروسية.

النموذج	$\Delta T_{max}, K$	Q_{max}, W	I_{max}, A	U_{max}, V
Single Stage				
IMT 03-004-13	67	0.10	0.40	0.45
IMT 03-008-13	67	0.19	0.40	0.90
IMT 03-012-13	67	0.29	0.40	1.35
IMC 04-004-05	68	0.44	1.60	0.50
IMC 04-018-15	68	0.53	0.40	2.20
IMC 04-032-15	68	0.94	0.40	4.00
IMT 04-128-12	65	6.20	0.80	14.50
IMT 05-004-13	67	0.26	1.10	0.45
IMT 05-008-13	67	0.52	1.10	0.90
IMT 05-032-13	67	2.10	1.10	3.60
IMT 05-128-13	67	8.45	1.10	14.50
IMC 06-008-15	73	0.72	1.30	1.00
IMC 06-012-15	73	1.08	1.30	1.50
IMC 06-018-15	73	1.63	1.30	2.20
IMC 06-032-15	73	2.89	1.30	3.90
IMC 06-032-05	68	7.71	3.60	3.90
IMC 06-060-05	68	14.40	3.60	7.30
IMT 06-128-13	67	12.50	1.60	14.50
IMT 07-004-13	67	0.50	2.00	0.45
Two Stage				
2MC 06-015-15	98	0.38	1.00	1.30
2MC 06-039-15	102	0.85	1.10	3.60
2MC 06-077-15	100	1.82	1.10	7.00
2MC 06-077-05	93	4.80	2.90	7.00
2MC 10-009-15	101	0.58	3.00	0.80
2MC 10-019-20	103	0.90	2.30	1.80
2MC 10-037-20	102	1.78	2.30	1.80
2MC 10-041-20	96	2.26	2.10	3.50
2MC 10-075-20	101	3.80	2.20	3.50

في كل مجموعة (نماذج أحادية أو متعددة الطبقات) هناك نماذج مختلفة السعة التبريدية Q_c ، حيث يكون المطلوب قدرة أكبر والقياسات الكبيرة لـ TEC يمكن أن تجهز

بمضخة حرارية، إذا أخذنا بعين الاعتبار الضياع (المسموح) في الطاقة المزودة فإن الاختيار الصحيح يمكن أن يصبح إلى حد ما مهمة صعبة، لذلك على الأغلب ينصح بالتزوّد بنوع من المساعدة .إنّ بعض هذه النصائح هو استخدام برامج تشغيل (Software) المخصصة للبحث بين نماذج TEC وإقرار الاختيار المثالي باستخدام معلومات الكمبيوتر لشرح مكونات أنواع النماذج الكهروحرارية بشكل مفصل، على سبيل المثال برامج التشغيل التي تعود للشركات RTM و MELCOR و KRYOTHERM .

2- 8 - معلومات مفيدة للتطبيقات Application Tips:

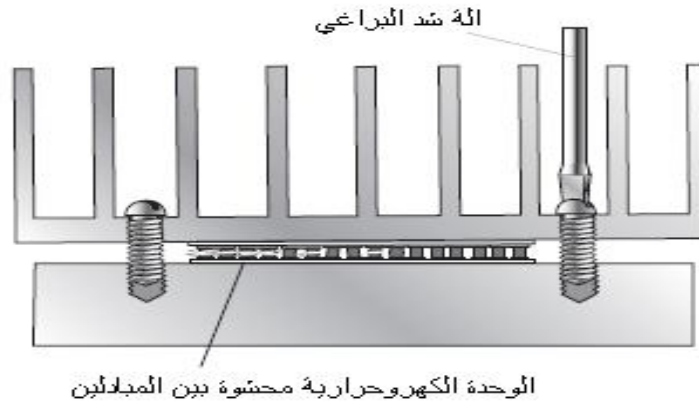
عادةً الأداء والعمر الزمني للتشغيل للوحدات الكهروحرارية TE متوقف إلى حد كبير على عوامل عديدة وهي كالتالي:

2- 8- 1 - التركيب Mounting:

التركيب هو أول إجراء قبل أي تطبيق للوحدات الكهروحرارية فطريقة التركيب ولوازم التطبيق يجب أن تستخدم بحرفية جيدة.

2- 8- 2 - التوضع الميكانيكي Mechanical mounting :

وحدات TEC تتوضع بين مبادلين حراريين (ماص حرارة / نابذ حرارة)، هذا التوضع يثبت ببراغ أو أي طريقة ميكانيكية أخرى، ميزة التثبيت ببراغ كما في الشكل (2- 9) تعني إمكانية سرعة وسهولة الفك وهي مناسبة لعدد كبير من الوحدات على سبيل المثال لسطح خارجي قياسه (30 mm x 30 mm) أو أكثر والأنواع الصغيرة تتطلب طرق تركيب مختلفة.



الشكل (2- 9) يبين طريقة التوضع الميكانيكي للوحدة الكهروحرارية.

2- 9 - الأجهزة المساعدة Accessories:

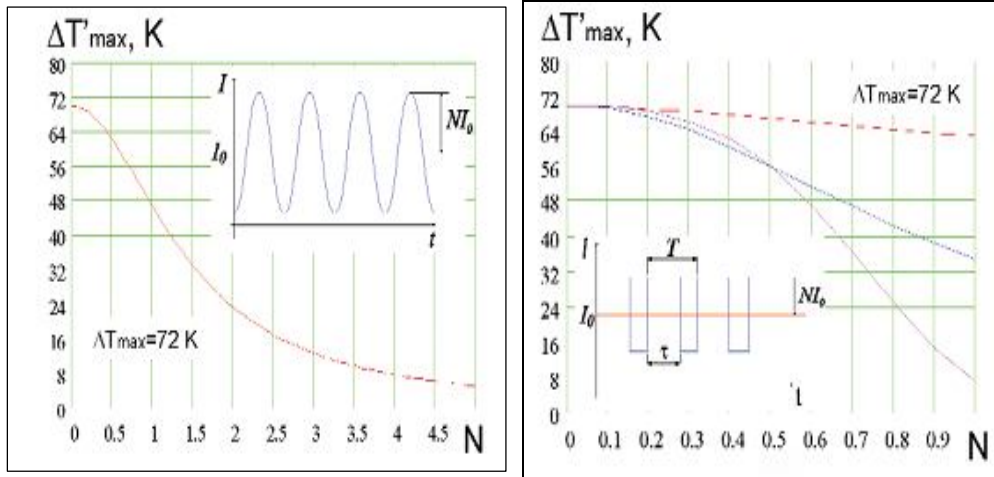
تتضمن الأجهزة المساعدة لنظام التبريد الكهروحراري مثل منابع التغذية (Power Supplies)، ومتحكمات بدرجة الحرارة (Temperature Controllers)، والمبادلات الحرارية التي تساعد على طرح الحرارة (Heat Exchangers)، والمواد التي توضع بين السطوح المتلامسة (Thermal Interface Materials) وسنقوم بشرحها بالتفصيل:

2- 9- 1- التغذية بالطاقة Power Supply:

أنظمة الـ TEC هي أجهزة تتطلب تياراً DC ناعماً ثابتاً (خالياً من التموجات) لتحقيق أداء مثالي، أي يكون أداء الوحدات الكهروحرارية جيداً إذا استخدم منبع التغذية DC المناسب، وهو أحياناً بطارية مع محولات طاقة كما في الشكل (2- 11) ومزودات الطاقة مع دارات مراقبة درجة الحرارة مثل متحكم (PI , PID)، إنَّ عدم الفلترية الكاملة من قبل المصحح للتوتر AC يؤدي لمعامل تموج (Ripple Factor) 48 % تقريباً، وهذا يمكن أن يؤدي إلى تناقص أداء النظام الكهروحراري بنسبة أكثر من 32 %، بينما معامل التموج أقل من 10 % سيؤدي إلى نقص أقل من 1 % في الفارق الحراري الحاصل، مع العلم أنَّ طاقة العمل للمبرّد الكهروحراري تتراوح بين مئات الملي واط حتى مئات الواطات بينما التيار الكهربائي الأعظمي عادة أقل من 10 A . انخفاض أداء TEC بسبب هذه التموجات { أنظر الشكل (2 - 10) } ، يمكن بشكل تقريبي أن نكتب:

$$\Delta T'_{\max} / \Delta T_{\max} = \frac{1}{1 + N^2/2} \quad (2-5)$$

حيث N مدى التموج لقيمة التيار الوسطية.



الشكل (2- 10) يبين تأثير تموج التيار الكهربائي على ΔT_{\max} .

نجد من الشكل الأول (2- 10) تناقصاً كبيراً في الفارق الحراري بين وصلتي نظام التبريد الكهروحراري (المنحني باللون الأحمر) عندما لا يكون هناك مقوم Rectifier) للتيار الكهربائي (تموجات كبيرة للتيار المغذي للنظام)، بينما نجد في الشكل الثاني تناقصاً محدوداً في هذا الفارق المشكل بين وصلتي النظام عند استخدام مقوم عند مدخل التيار للنظام (تحويله لتيار مستمر). إن طاقة الدخل من أجل المردود الأعظمي لا تتوافق مع جهد العمل الأعظمي والتيار الأعظمي، فعندما يُطلب الحصول على المردود الأعظمي فإن الطاقة المطبقة إجمالاً $(\frac{2}{3} \rightarrow \frac{1}{3})$ من معدل الطاقة الأعظمية الحقيقية المطلوبة ومعادلة التيار هي:

$$I_T = I + I_{\max} \cdot \sin(\omega \tau) \quad (2-6)$$

حيث أن I هي القيمة الوسطية للتيار، ω - زاوية التمرّج ومعادلتها $\omega = 2 \cdot \pi \cdot F$ و F قيمة التردد، و τ الزمن.

ومما يلاحظ أن تمرّج التيار لا يؤثر على حرارة بيلتيه وعلى حرارة طومسون وذلك لأنهما يتوقفان على اتجاه التيار، فخلال قسم الدارة $\{I_{\max} \cdot \sin(\omega \tau)\}$ يتم طرد حرارة بينما يصاحب الجزء $\{-I_{\max} \cdot \sin(\omega \tau)\}$ امتصاص حرارة مساوية، ويلاحظ أن تمرّج التيار يؤثر على حرارة جول وحرارة مقاومة التلامس وذلك لأنهما لا يتوقفان على اتجاه التيار الكهربائي وعند أخذ التمرّج في الاعتبار تصبح معادلة الطاقة لحرارة جول:

$$Q_J = I^2 \cdot R_{p,N} (1 + \phi^2) \cdot f \quad (2-7)$$

وحيث أن $(R_{p,N} = R_p + R_N)$ هي المقاومة الكهربائية للزوج الكهروحراري وتساوي مجموع مقاومتي المادتين (N-Type, P-Type)، و ϕ عبارة عن معامل التمرّج ومعادلته:

$$\phi = (I_{\max} / I \cdot \sqrt{2}) \quad (2-8)$$

و f عبارة عن معامل مقاومة التلامس ومعادلته:

$$f = (R_S + R_{C,p}) / (R_p + R_N) \quad (2-9)$$

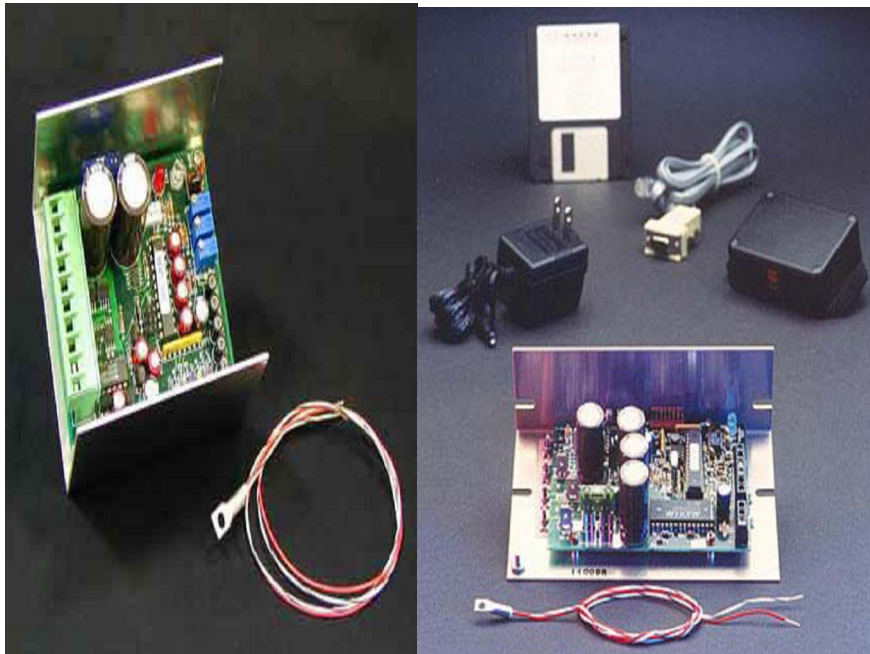
وحيث أن R_S , $R_{C,p}$ هما مقاومة صفائح الموصل (النحاس) ومقاومة لحام الوصلة.



الشكل (2- 11) يمثل محولات الطاقة لأجهزة التبريد الكهروحراري.

2- 9- 2- متحكمات درجة الحرارة Temperature Controllers:

المتحكمات بدرجة الحرارة ضرورية للتطبيقات التي تتطلب دقة عالية بضبط الحرارة ، فالمنظمات التناسبية الخطية مثل المتحكمات { PI (Proportional -Integral) } الشكل (2- 12) أو { PID (Proportional-Integral-Derivative) } مناسبة للاستعمال مع الأنظمة الكهروحرارية، المنظم (المتحكم PI) ملائم للعمل عندما يكون الحمل الحراري ودرجة حرارة الوسط الخارجي بتغيرات واسعة، أما المتحكم (PID) فهو أكثر تعقيداً من السابق ويستخدم عندما يكون الحمل الحراري المزال كبيراً مع تحكم مباشر به، وبهذه المتحكمات بدرجة الحرارة نستطيع الحصول على دقة ضبط أقل من (0.01°C) وأحياناً حتى أقل من (0.001°C).



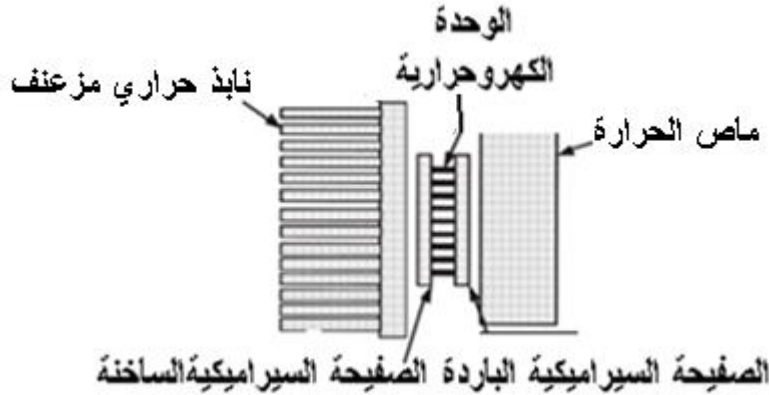
PI

PID

الشكل (2- 12) يبين بعض أنواع المتحكمات المستخدمة في أنظمة التبريد الكهروحراري.

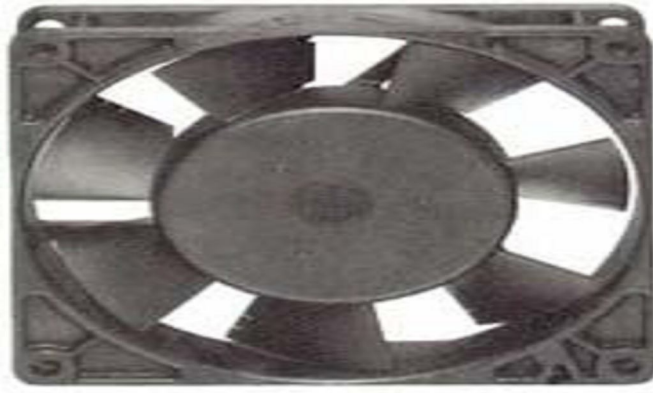
2-9-3- المبادلات الحرارية Heat Exchangers:

إنّ أيّ جهاز تبريد كهروحراري يعمل بدرجة حرارة تشغيلية أكبر من مجال عمله قد يسبب تلفه، لهذا السبب كل المبرّدات الكهروحراريّة تتطلب تصميم مبادل (ماص) حراري (Heat Sink) بشكل مناسب لعملية نبذ الحرارة الممتصة أو المطرودة عبر الوصلتين (الطرفين)، فبناءً عليه وحدة التبريد الكهروحراريّة مؤلفة من ثلاثة عناصر رئيسية، هي وحدة بيلتيه ونابذ حراري يركب على الجهة الساخنة للوحدة والعنصر الثالث هو ماص الحرارة يركب على الجهة الباردة للوحدة كما يُظهر ذلك الشكل (2-13).



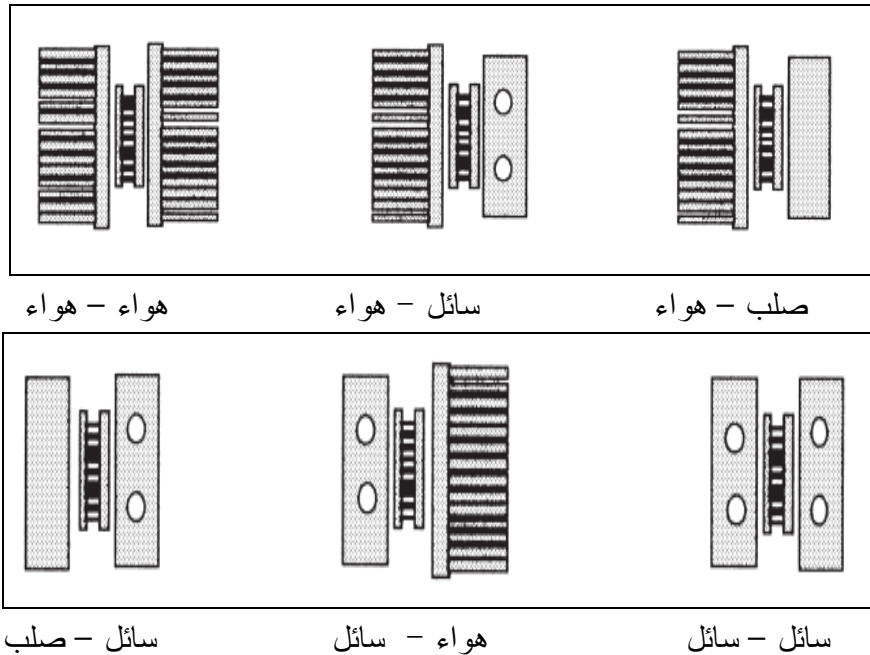
الشكل (2 - 13) يبين توضع النواذب الحرارية على جانبي الوحدة الكهروحراريّة

فالجسم المطلوب تبريده يمكن أن يوصل مباشرة بالطرف البارد من الصفحة السيراميكيّة لوحدة التبريد الكهروحراريّة أو يمكن تبريده عبر مبادل حراري (Heat Exchanger) باستخدام وسيط تبريدي أو باستخدام مروحة الهواء البارد، والأمر نفسه يمكن أن يطبق على الطرف الساخن حيث يمكن تركيب مبادل حراري لنبذ الحرارة للخارج بشكل أسرع وأكثر فعالية عبر استخدام وسيط تبريد أو مروحة الهواء الساخن، في الشكل (2-15) نرى تصميمات مختلفة لعملية النبذ الحراري للنظام الكهروحراري، هنالك ثلاثة تصاميم أساسية لماص الحرارة تستخدم في حالة الحمل الحراري الحر أو الحمل القسري { استخدم مراوح مثلاً لتساعد على سرعة انتقال الحرارة كما في الشكل (2-14) أو التبريد بالسوائل }، أما عن قيم مقاومة النواذب الحرارية المأخوذة من أغلب المراجع العلميّة والشركات الصانعة فهي للحمل الحر من $\{ 0.5 \div 5 \} ^\circ\text{C} / \text{W}$ وللحمل القسري $\{ 0.002 \div 0.5 \} ^\circ\text{C} / \text{W}$ ، ولحالة التبريد بالسوائل $\{ 0.005 \div 0.15 \} ^\circ\text{C} / \text{W}$ ، ويحدد الفارق الحراري عادة بين ماص الحرارة والوسط الخارجي بين $(10 \div 20) ^\circ\text{C}$.



الشكل (2- 14) يمثل مروحة تبريد لنظام كهروحراري.

إنّ تصميم واختيار الماص الحراري له دور مهمّ وكبير في حالة الحمل الأعظمي للتشغيل، فهو يجب أن يكون مصمماً لتخفيض المقاومة الحرارية أثناء عملية نقل الحرارة، وهذا ممكن بزيادة مساحة سطح النابذ الحراري أو استخدام أنابيب حرارية لتأمين النقل الحراري الفعّال، وكما يمكن استخدام ماص حرارة يملك سعة تخزين حراري عالية لتساعد على حفظ درجة حرارة الماص الحراري أقل من الوصلة الساخنة لوحدة بيلتيه، هذا الحل الأخير يسمى استخدام مواد متغيرة الطور (Phase Change Materials - PCM). وهذه المواد مرشحة بقوة للاستخدام في أنظمة التخزين الحراري بسبب كثافتها الطاقية العالية (MJ/m^3) بالإضافة إلى أنّه في هذه المواد تتم عملية انتقال الحرارة طبيعياً عند درجة حرارة ثابتة (العبور الحراري). وهذا يلائم أنظمة التبريد الكهروحراري.



الشكل (2 - 15) يبين التصميمات المحتملة للنوابذ الحرارية على طرفي الوحدة الكهروحرارية.

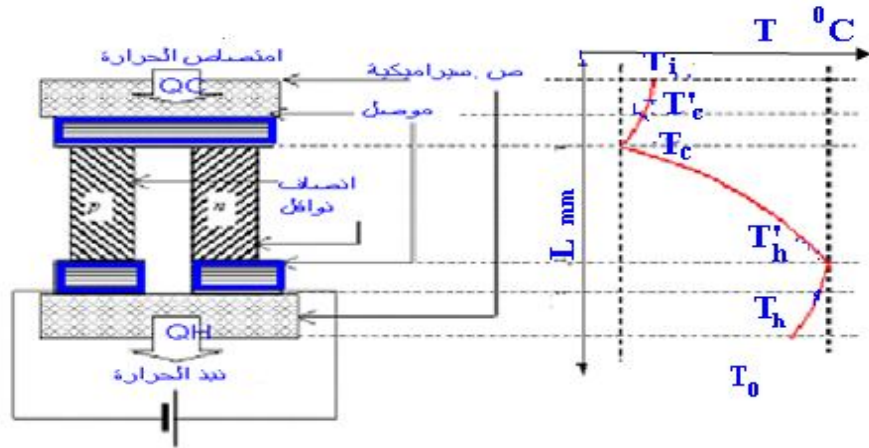
2-9-4- المواد الحرارية البينية Thermal Interface Materials:

هناك طريقتان معروفتان للصق المبادلات (النوابذ) الحرارية على الوحدات الكهروحرارية، هي إما باللحام المباشر للمبادل الحراري على الوحدة الكهروحرارية وستكون له مقاومة حرارية وكهربائية منخفضة، وفي هذه الحالة يجب الانتباه لتأثير إجهاد القص عند السطوح البينية، أو باستخدام مادة الشحم الحراري عند التماسات، وهاتان الطريقتان تساعدان على انتقال الحرارة بين السطحين المتلامسين وتخفيض الفارق الحراري بين السطحين، فينصح للسطوح التي تكون أصغر من 19 mm^2 استخدام اللحام بشكل زعنفي حيث أنّ الإجهاد الحراري يسبب التمدد للعناصر (الصفحة السيراميكية) بشكل ليس كبيراً، بينما لسطوح أكبر من 19 mm^2 ينصح بالشحمة الحرارية مع الضغط، وعادةً تلحم الجهة الساخنة للوحدة الكهروحرارية مع نابذ الحرارة، بينما الجهة الباردة يلصق عليها بواسطة الشحم الحراري عنصر حراري متوضع على الوحدة لنقل الحرارة بشكل جيد، ويجب أن نأخذ بعين الاعتبار معامل التمدد الحراري للمواد المستخدمة.

2-10- دراسة التغير الحراري عبر الوحدة الكهروحرارية

Temperature Distribution Across Thermoelectric Module:

من خلال دراسة التوزيع الحراري للهواء الخارجي إلى الهواء الداخلي خلال الوحدة الكهروحرارية والوصلتين الباردة والساخنة، نجد أنّ درجة الحرارة تتغير من T_c للوصلة الباردة إلى T_h للوصلة الساخنة، حيث تعمل حرارة مقاومة التلامس على زيادة درجة حرارة الوصلة الباردة من T_c إلى T'_c ومن T_h إلى T'_h للوصلة الساخنة، ومن وجهة نظر انتقال الحرارة، درجة حرارة الصفائح النحاسية للوصلة الباردة T'_c يجب أن تكون أقل من درجة حرارة الوسط المراد تبريده T_i (الوسط الداخلي)، درجة حرارة الصفائح النحاسية للوصلة الساخنة T'_h يجب أن تكون أكبر من درجة حرارة الوسط الخارجي. كما هو موضح في الشكل (2-16).



الشكل (2- 16) يبين التوزيع الحراري خلال الوحدة الكهروحرارية.

11-2- مميزات المبرّدات الكهروحرارية Advantages of The TE Coolers :

إنّ تقنية الكهروحرارية لاقت انتشاراً في أجهزة التبريد المنزلية، ومكيفات الهواء بسبب سهولة الحصول على السعة التبريدية المطلوبة من الجهاز الكهروحراري، ومن أجل الحصول على تطبيقات خاصة يتم تطوير هذه التقنية بشكل مستمر - على الرغم من أنّ القياس الكبير للمبرّد الكهروحراري لا يفضل على الأقل في الوقت الحاضر (أي عند طلب ساعات تبريدية كبيرة تفقد المبرّدات الكهروحرارية مميزاتاها) - للحصول على أداء أنظمة التبريد الانضغاطي، لكن القدرة على التعديل، الوثوقية، المرونة في السعة التبريدية هي مميزات مهمة في بعض التطبيقات، فعلى سبيل المثال التبريد الكهروحراري لاقى نجاحاً واسعاً من ناحية ضبط درجة الحرارة للأجهزة الميكروإلكترونية والضوئية، ومن بعض التطبيقات الجديدة المستخدمة:

- تبريد الأماكن الساخنة في الأجهزة الإلكترونية.
- أنظمة التبريد الكهروحرارية - الانضغاطية الهجينة.
- الكهروحرارية في المبادلات الحرارية.
- والمبرّدات الكهروحرارية هي أجهزة في الحالة الصلبة، تتميز بعدد من المميزات:
 - عدم وجود أجزاء متحركة، حيث أنّ الأجهزة الكهروحرارية تعمل بدون أجزاء متحركة، هذا يعني وثوقية العمل وعدم وجود تكاليف للصيانة.
 - تنوع القياسات والأوزان الخفيفة: أنظمة التبريد الكهروحرارية هي أكثر صغراً من ناحية الأبعاد والأوزان من آلات التبريد الميكانيكية الأخرى، وفي الوقت نفسه يوجد كثير من أنواعها الملائمة للتطبيقات النوعية.

■ القدرة (Ability) على التبريد حتى درجة حرارة أقل من درجة الحرارة الخارجية: من المعروف أنّ درجة حرارة النابذ (ماص الحرارة Heat sink) الحراري بالضرورة تزداد تبعاً لدرجة حرارة الوسط الخارجي، في المبرّدات الكهروحراريّة المتصلة بنفس النابذ الحراري لها القدرة على تخفيض درجة حرارته لأقل من قيمة درجة حرارة الوسط المحيط به.

■ القدرة (Ability) على التبريد والتسخين بنفس الجهاز الواحد: المبرّدات الكهروحرارية تستطيع التبريد أو التسخين وهذا يتعلق بقطبية الطاقة DC المطبقة.

■ القدرة على ضبط درجة الحرارة (التبريد) المطلوبة: باستخدام جهاز تحكم لمراقبة التغير في درجات الحرارة في الدارة، ومنه المبرّدات الكهروحراريّة تملك الإمكانية لضبط الحرارة بدقة تصل لـ $(\pm 0.01^{\circ}\text{C})$.

■ الوثوقيّة العالية (High Reliability): المبرّدات الكهروحراريّة تعمل بوثوقيّة عالية وهذه تتعلق بشروط التطبيق مع عمر زمني تشغيلي طويل حوالي 23 عاماً.

■ عدم وجود ضجيج كهربائيّ أو ميكانيكي (No Electrical and Mechanical Noise): أيّ هي أجهزة ذات عمل هادئ.

■ العمل ضمن أيّ توجيه (Operates in any Orientation): المبرّدات الكهروحراريّة يمكن استخدامها في أيّ توجيه حتى في بيئات منعدمة الجاذبيّة (Zero Gravity Environments) ويمكن استخدامها في التطبيقات الفضائية.

■ مناسبة لمصادر التزويد الطاقوي (Convenient Power Supply): الوحدات الكهروحراريّة هي تتغذى بمصادر DC ويمكنها العمل تحت مجال واسع من الكمون الداخل والتيار المطبق.

■ التبريد النوعي (Spot Cooling): بسبب فعاليّة العناصر الكهروحراريّة (أو الأزواج الحرارية) يمكنها تبريد عنصر نوعي واحد أو منطقة صغيرة، وتسمى أحياناً بالنقاط الساخنة (Hot Spot).

■ صديقة للبيئة (Environmentally Friendly): أنظمة التبريد التقليدية التي تستخدم الوسائط التبريديّة الكيميائيّة (Chemicals as Refrigerants) والغازات الضارة (Chlorofluorocarbons) بينما التبريد الكهروحراري لا يحوي أيّ وسيط تبريد ضار.

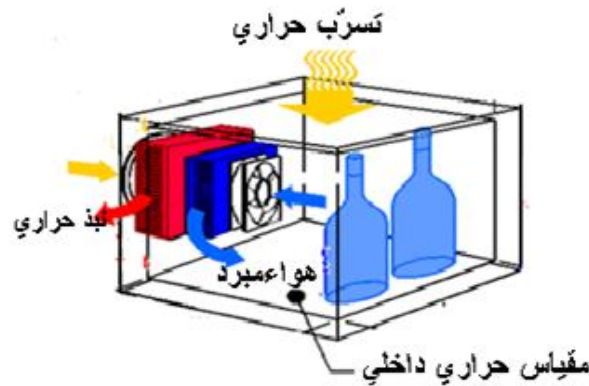
■ مرونة عالية (High flexibility): رغم انخفاض قيمة معامل الأداء الأعظمي للمبرّدات الكهروحراريّة، فإنّه لا يتأثر كثيراً إذا تغيرت شروط العمل (الحمل الحراري).

2- 12- مساوئ المبرّدات الكهروحراريّة Disadvantages of The TE Coolers:

إنّ استخدام التبريد الكهروحراري يكون في تطبيقات محدودة { مثلاً التطبيق - الشكل (2-17) }، وقد يعود ذلك لانخفاض COP مقارنة مع أنظمة التبريد الانضغاطيّة الأخرى، إنّ فعاليّة أجهزة التبريد (معامل الأداء) على الأغلب تقاس نسبة لفعاليّة دارة كارنو، دارة كارنو التي تملك أكبر قيمة لمعامل أداء (فعالية) ممكنة للاستفادة من كمية العمل المقدم للدّارة لغاية التبريد والتي تعطى بالشكل:

$$COP = \frac{T_c}{T_h - T_c} \quad (2-10)$$

حيث درجة حرارة المنبع الحراري والناذب الحراري على التوالي T_h , T_c .
أجهزة التبريد الكهروحراريّة الحاليّة فعاليتها حوالي 20 % من فعاليّة دارة كارنو [18]، في المقابل المبرّدات المنزليّة (التي تعمل بدارة انضغاطيّة، يزداد فيها معامل الأداء كلما كبر قياسها) تعمل بحوالي 30 % من فعاليّة دارة كارنو، كما أنّ مكيفات الهواء الكبيرة للمباني الضخمة تملك فعاليّة حوالي 90 % من فعاليّة كارنو.
اعتماداً على المواد الكهروحراريّة المتوفرة وتصاميم أجهزة التبريد الكهروحراري، فإنّ المبرّدات الكهروحراريّة تفقد مميزاتها عند أحمال التبريد الكبيرة، وفيما يتعلق بمعامل الأداء فالأجهزة الكهروحراريّة فهو جيد للساعات الصغيرة فقط، ومن مساوئها التكلفة العالية نسبة لواحدة الخرج ، وغلاء ثمنها وثن تجهيزات النواذب الحراريّة ومنابع القدرة واستهلاكها الطاقوي (من الكهرباء) الكبير وهو حوالي ضعف استهلاك دارة انضغاطيّة بنفس شروط العمل، فمن ناحية الجدوى الاقتصادية يعتبر التبريد الكهروحراري ذو تكلفة عالية لإنتاج واحدة الخرج، وغير مفضل في الساعات التبريديّة العالية، لكنه فعّال جداً في حالة ساعات تبريديّة أقل من 200 W.



الشكل (2- 17) يبين مبرّد كهروحراري مستخدم لحجرة تبريد صغيرة.

الفصل الثالث

حسابات النظام الكهروحراري النظري

Calculations of Theoretical Thermoelectric System

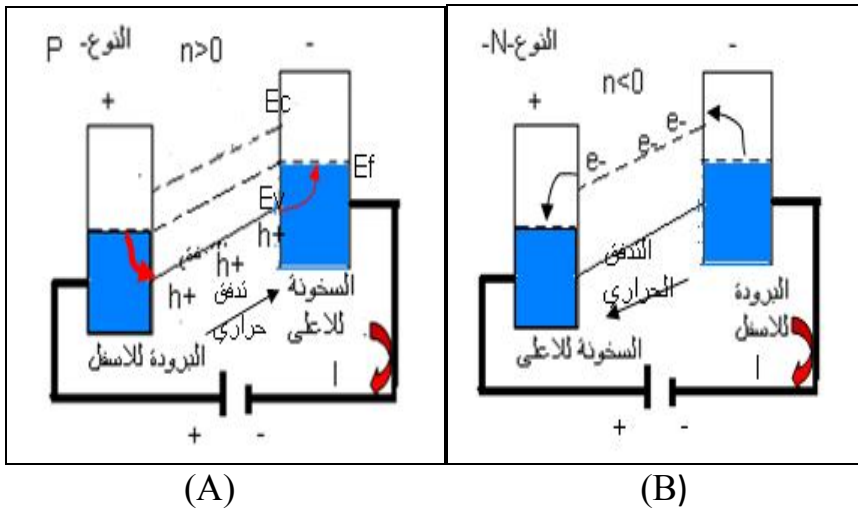
1-3- مقدمة Introduction:

التبريد الكهروحراري هو تحويل مباشر للطاقة الكهربائية إلى طاقة حرارية، والتأثيرات المتعلقة بهذا الأمر هي تأثير بيلتيه وتأثير طومسون وتأثير سيبك (تأثير بيلتيه هو التأثير المعاكس لتأثير سيبك)، إضافة لحرارة جول وحرارة التوصيل [20].

يجب أولاً أن نبين الاختلاف بين حرارة جول التي تعطى بالعلاقة $(Q_j = I^2 \cdot R)$ ، تتناسب الحرارة هنا مع مربع قيمة التيار المار، بينما حرارة بيلتيه Q_π تتغير خطياً مع تغير التيار $(Q_\pi = \pi \cdot q)$ ، حيث q الشحنة المارة عبر الدارة $(q = I \cdot T)$ ، و π يمثل معامل بيلتيه (Peltier Coefficient) الذي يتعلق بطبيعة المواد المتصلة ودرجة حرارة التلامس.

3-2- التأثيرات الكهروحرارية Thermoelectric Effect:

3-2-1- تأثير بيلتيه 1834 Peltier Effect:



الشكل (3 - 1) يبين اتجاه التدفق الحراري في أنصاف النواقل حسب نوع المادة.

بعد اكتشاف مبدأ سيبك بحوالي 13 سنة، وجد العالم بيلتيه أنه عند عكس ظاهرة العالم سيبك، أي بتمرير تيار كهربائي خلال دائرة ازدواج حرارية (Thermocouple) مشكلة من معدنين مختلفين ستبرد إحدى الوصلتين ويمكنها امتصاص حرارة من الوسط المحيط بها بينما تسخن الوصلة الثانية ويمكنها نبذ حرارة إلى الوسط المحيط بها، يُظهر الشكل (1-3) أنصاف النواقل من النوعين (N-type , P-type)، الشكل (A-1-3) يمثل

نصف ناقل من النوع (N-type) هنا (حاملات الشحنة السالبة الرئيسية الإلكترونات) والموضوع بين قطعتين معدنيتين، فعند وصل هاتين القطعتين إلى منبع جهد كهربائي مستمر ستتدفق الإلكترونات من الجهة اليمنى إلى الجهة اليسرى حاملةً معها الحرارة من الجهة اليمنى إلى الجهة اليسرى لنصف الناقل بحيث تكون جهة الإلكترونات عكس جهة التيار الكهربائي، بينما في نصف الناقل من النوع (P-type) تكون هنا حاملات الشحنة هي الثقوب والتي تتدفق من الجهة اليسرى إلى الجهة اليمنى حاملةً معها الحرارة من الجهة اليسرى إلى الجهة اليمنى لنصف الناقل مع اتجاه التيار الكهربائي.

يتم امتصاص حرارة أو نبذ حرارة نتيجة اختلاف القوى المحركة الكهربائية $E_{PN} = E_P - E_N$ للمادة السالبة والمادة الموجبة على التوالي عند الوصلات، تقاس القوة المحركة الكهربائية بالفولط (V)، وهي تتعلق بفرق الكمون المحدث في الدارة بالعلاقة $E_{PN} = V_{PN}$ وذلك عند إهمال المقاومة الداخلية للمنبع الكهربائي (r_0)، نُميّز هذا التأثير بمعامل بيلتيه π والذي تعطى معادلته بالعلاقة التالية:

$$\pi = (\alpha_P - \alpha_N).T \quad (3-1)$$

وحيث أن T درجة الحرارة المطلقة للوصلة الباردة أو الساخنة، (α_N, α_P) هما معامل سيبك للمادتين الموجبة والسالبة على التوالي، أي توجد قيمتان لمعامل بيلتيه، الأولى تنتج عند حساب حرارة بيلتيه للوصلة الباردة، والثانية تحسب للوصلة الساخنة بعد تعويض درجة حرارة كل وصلة على حدة، أي (T_c للوصلة الباردة و T_h للوصلة الساخنة). وتعرّف الحرارة الممتصة (المنبوذة) بحرارة بيلتيه وتحسب من خلال العلاقة التالية:

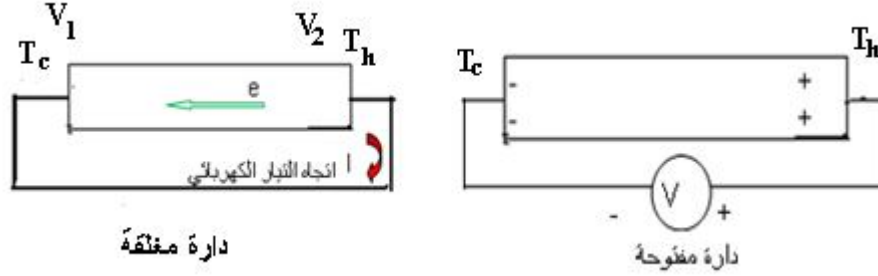
$$Q_{\pi} = \pi.I \quad (3-2)$$

وحيث: I - شدة التيار الكهربائي الثابت، π - معامل بيلتيه.

3-2- تأثير سيبك 1821 Seebeck Effect:

وجد العالم الأستاذ توماس سيبك أنه بالإمكان توليد قوة دفع محرّكة كهربائية (emf- Electromotive Force) في دارة الازدواج الحراري المشكّلة من سلكين معدنيين مختلفين عندما تكون النهايتين عند درجتين حراريتين مختلفتين، ففي دارة مفتوحة تحوي قضيباً معدنياً عرض لحرارة عند أحد أطرافه سيصبح هذا الطرف ساخناً بينما الطرف الآخر سيبرد، عندئذ الإلكترونات الحرّة في المعدن تتصرف كذرات الغاز، أي الإلكترونات الحرّة في الطرف الساخن ستمتلك طاقة حركيّة تجبرها على التحرك بسرعة

عالية إلى الطرف البارد (الآخر) من القضيب المعدني ونتيجة لهذه السرعة الكبيرة تنتشر الإلكترونات وسيكون لدينا مجرى لتدفق الإلكترونات من الطرف الساخن إلى الطرف البارد للقضيب، ولتتكس الشحنت السالبة على الطرف البارد تمنع الشحنات فيما بعد من التراكم، الشكل (3- 2).



الشكل (3- 2) يبين تكون ظاهرة سيبك عند وضع المادة في فرق درجات حرارة. ولكن في دائرة مغلقة ونتيجة تراكم الشحنات وبهدف إنقاصها سيتدفق التيار في الدارة ويستمر طالما هنالك فرق في درجات الحرارة بين نهايتي القضيب المعدني وهذا يسمى (مبدأ سيبك) وهو المستخدم لإنتاج مولّدات كهروحراريّة، وتعرّف القوة المحركة الكهربائية وفق معادلة معامل سيبك والذي يقاس بوحدة (V / K) وأحياناً بـ (V / °C):

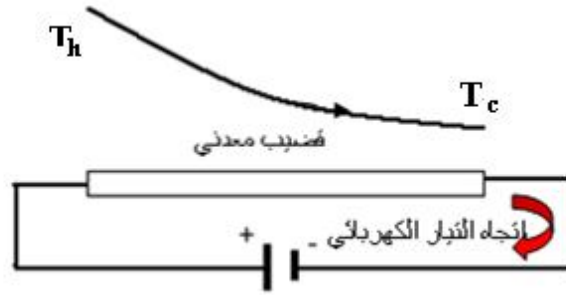
$$\alpha = \frac{\Delta V}{\Delta T} \quad \Delta V = V_2 - V_1 \quad , \quad (3-3)$$

بشكل عام إن فرق درجات الحرارة في الناقل يجعل الإلكترونات تتدفق من الجهة الساخنة إلى الجهة الباردة وذلك عند عدم مرور تيار كهربائي، أما في حالة وصل الدارة إلى منبع تيار مستمر يكون هنا اتجاه التيار عكس اتجاه حركة الإلكترونات حيث أن تدفق الإلكترونات ينتج قوة محرّكة كهربائيّة تتناسب مع الحرارة المقدّمة، وتزداد القوة المحركة الكهربائيّة باستخدام المواد شبه الموصلة، ومعامل سيبك يأخذ قيمة موجبة (عندما حاملات الشحنة هي الثقوب) أو سالبة (عندما حاملات الشحنة الإلكترونات) ويدعى أحياناً بمعامل القوة المحركة الكهربائيّة الحراري.

3- 2- 3- تأثير طومسون 1855 Thomson Effect:

عندما يمر تيار كهربائي ثابت عبر قضيب معدني نهايتيه عند درجتين حراريّتين مختلفتين سيتم امتصاص حرارة أو نبذ حرارة خلال النهايتين، إضافة لحرارة جول الناتجة عن المقاومة الكهربائيّة للقضيب.

أيّ عندما تتدفق الحاملات الكهربائية من النهاية الباردة إلى النهاية الساخنة يتوجب امتصاص حرارة للحفاظ على التوازن في درجة الحرارة، وعند تدفق حاملات الشحنة الكهربائية من النهاية الساخنة إلى النهاية الباردة سيتم طرح حرارة للحفاظ على التوازن في درجة الحرارة كما يرى في الشكل (3-3). ويمكن تطبيق تأثير طومسون على المادة بشكل خارجي بتغيير نوع المادة على طول الناقل مما يحسن أداء التبريد مقارنة مع المادة العادية ذات الخواص الواحدة.



الشكل (3-3) يبين تأثير طومسون في القضيب.

يمكن أن نعرّف الحرارة الممتصة أو المنبوضة بحرارة طومسون وهي العمل المبذول ضد فرق الجهد الانتشاري في طول القضيب، معادلة حرارة طومسون:

$$Q_\tau = \int \tau \cdot I \cdot dT \quad (3-4)$$

وحيث τ معامل طومسون والذي يقاس بـ $(W/K.A)$ أو (V/K) ومعادلته:

$$\tau = \tau_p - \tau_N \quad (3-5)$$

ويرتبط معامل طومسون مع معامل بيلتييه π ومعامل سيبك α بالعلاقة التالية:

$$\frac{d}{dT}(\pi_{P,N}) + \tau_N - \tau_p = \alpha_p - \alpha_N \quad (3-6)$$

حيث N يرمز للمادة السالبة و P للمادة الموجبة.

3-3- معادلات الطاقة للنظام الكهروحراري

Energy Equations for Thermoelectric System:

نعتبر أنّ خواص المواد شبه الموصلة (ρ, k, α) ذات قيمة ثابتة خلال المدى الفعّال لدرجة الحرارة (حيث أنّ مدى تغير درجة الحرارة لاستخدامات التبريد صغير)، بشكل عام معادلات الطاقة للنظام الموضّح بالشكل (3-4) هي:

1- حرارة بيلتيه Peltier Heat:

عبارة عن الحرارة المنتقلة خلال الوصلة نتيجة اختلاف القوى المحركة الكهربائية ودرجة حرارة الوصلة، وتعطى للوصلة الباردة:

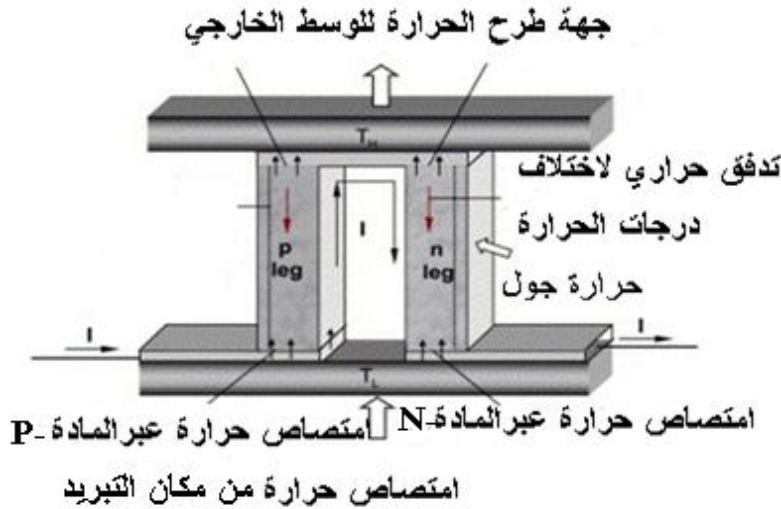
$$Q_{\pi,c} = \alpha_{p,N} . I . T_c \quad (3-7)$$

وتعطى بالنسبة للوصلة الساخنة:

$$Q_{\pi,h} = \alpha_{p,N} . I . T_h \quad (3-8)$$

باعتبار $\alpha_{p,N}$ عبارة عن فرق معامل سيبك للمادتين المشكلتين للوصلة ومعادلتها:

$$\alpha_{p,N} = \alpha_p - \alpha_N \quad (3-9)$$



الشكل (3-4) يبين التأثيرات الحرارية على الزوج الكهروحراري الواحد.

2- حرارة طومسون Thomson Heat:

عبارة عن الحرارة الناشئة عن سريان التيار الكهربائي الثابت خلال العنصر الذي نهايتاه عند درجتى حرارة مختلفة وتعطى بالعلاقة:

$$Q_\tau = \tau_{p,N} . I . (T_h - T_c) \quad (3-10)$$

وحيث أن $\tau_{p,N}$ فرق معامل طومسون ومعادلتها:

$$\tau_{p,N} = \tau_p - \tau_N \quad (3-11)$$

3- القدرة اللازمة Power Required:

القدرة اللازمة للبطارية عبارة عن القدرة اللازمة للتغلب على مقاومة المادة السالبة N والمادة الموجبة P والوصلات والأسلاك وتعطى بالعلاقة:

$$W = \alpha_{p,N} . I . (T_h - T_C) \quad (3-12)$$

4- حرارة التوصيل Conduction Heat:

عبارة عن الحرارة المنتقلة من الوصلة الساخنة إلى الوصلة الباردة نتيجة فرق درجات الحرارة خلال العناصر الموجبة والسالبة وتعطى بالمعادلة:

$$Q_K = k_{p,N} . (T_h - T_C) \quad (3-13)$$

وحيث أن $k_{p,N}$ عبارة عن موصليّة الزوج الكهروحراري ومعادلتها:

$$k_{p,N} = (k_p + k_N) = \frac{A}{L} . (k_p + k_N) \quad (3-14)$$

حيث: L - ارتفاع العنصر وغالباً ارتفاع العنصر السالب مساوٍ لارتفاع العنصر الموجب وكذلك تساوي مساحة المقطع الدائري أو المستطيل للعنصرين A .

5- حرارة جول Joule Heat:

وهي الحرارة الناشئة عن مرور تيار كهربائي خلال العنصر الحراري ومعادلتها:

$$Q_j = I^2 . R \quad (3-15)$$

R تمثل مقاومة العنصر الحراري وتعيّن بـ $(R = \rho . \frac{L}{A})$

ومعادلة جول للزوج الكهروحراري تعطى بالعلاقة:

$$Q_j = I^2 . R_{p,N} \quad (3-16)$$

وحيث أنّ معادلة المقاومة للزوج الكهروحراري هي :

$$R_{p,N} = R_p + R_N \quad (3-17)$$

6- حرارة مقاومة التلامس Heat of Contact Resistance:

عبارة عن الحرارة الناشئة عن مرور التيار الكهربائي في الوصلة التي تربط العناصر الموجبة P مع العناصر السالبة N ومادة لحام ألواح النحاس بالعناصر السالبة والموجبة، ومعادلة حرارة التلامس للوصلة الباردة هي:

$$Q_{C,R} = I^2 . R_{c,R} \quad (3-18)$$

وحيث أنّ:

$$R_{C,R} = R_S + R_{C,P} \quad (3-19)$$

وإنّ R_S - مقاومة لحام الوصلة $R_{c,p}$ - مقاومة لوح النحاس.

ويمكن أن تعطى معادلة حرارة التلامس على الشكل التالي:

$$Q_{C,R} = f.I^2.R_{p,N} \quad (3-20)$$

حيث أن f عبارة عن معامل مقاومة التلامس ومعادلته:

$$f = (R_S + R_{C,P})/R_{P,N} \quad (3-21)$$

3-4- حسابات النظام الكهروحراري النظري

Calculations of Theoretical Thermoelectric System:

أثناء تحليل النظام الكهروحراري { الشكل (3-5) }، نهمل تأثير كل من حرارة طومسون (لصغر معامل طومسون فهو من مرتبة 6.7×10^{-5} V/K مثلاً) وحرارة مقاومة التلامس وتأثير درجة الحرارة على الخواص (α , ρ , k) وفرض أن نصف حرارة جول تصل للوصلة الباردة فإن معادلة التوازن الحراري للوصلة الباردة :

$$Q_c = Q_{\pi,c} - \frac{1}{2}Q_j - Q_k \quad (3-22)$$

وحيث Q_c هي حمل التبريد للزوج الكهروحراري الواحد وبالتعويض بقيم التدفقات

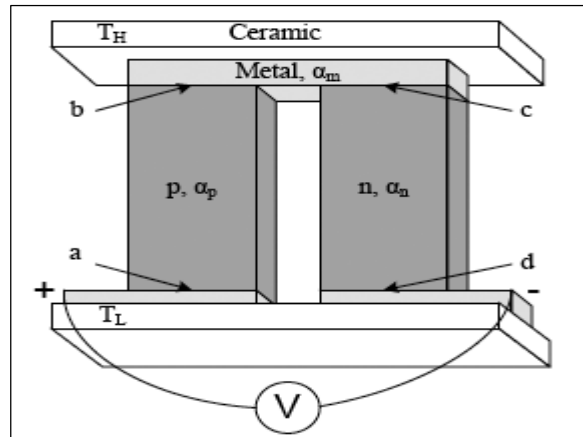
$$Q_c = \alpha_{p,N}.I.T_c - \frac{1}{2}I^2.R_{p,N} - k_{p,N}.(T_h - T_c) \quad (3-23)$$

وتكون للوصلة الساخنة مع فرض أن نصف حرارة جول تصل للوصلة الساخنة:

$$Q_h = Q_{\pi,h} + \frac{1}{2}Q_j - Q_k \quad (3-24)$$

حيث Q_h الحرارة المطروقة من قبل الزوج الكهروحراري الواحد وبالتعويض بقيم

$$Q_h = \alpha_{p,N}.I.T_h + \frac{1}{2}I^2.R_{p,N} - k_{p,N}(T_h - T_c) \quad (3-25)$$



الشكل (3-5) يمثل مكونات الزوج الكهروحراري.

ولكن معادلة العمل للبطارية هي:

$$W = Q_h - Q_c \quad (3-26)$$

وبالتعويض نجد:

$$Q_h = \alpha_{P,N} \cdot I \cdot (T_h - T_c) + I^2 \cdot R_{P,N} \quad (3-27)$$

ومنه معادلة معامل الأداء للنظام الكهروحراري:

$$COP = \frac{Q_c}{W} \quad (3-28)$$

سنقوم بدراسة بعض الحالات الخاصة وإعطاء الحلول الرياضية لها وهي:

3-4-1- حالة أقصى حمل تبريد :Case of Maximum Cooling Load

قد يكون المطلوب أحياناً الحصول على أقصى حمل تبريد Q_c ونحن نعلم أن ذلك يتوقف على شدة التيار I لذلك نفاضل المعادلة بالنسبة للتيار ونساوي بالصفر:

$$\frac{dQ_c}{dI} = 0 \quad (3-29)$$

وتشير النتائج لشدة التيار الأمثل:

$$I_{OPT} = \left(\frac{\alpha_{P,N}}{R_{P,N}} \right) \cdot T_c \quad (3-30)$$

ونعوض في المعادلة Q_c بقيمة التيار السابقة نجد:

$$Q_{c,MAX} = \left(\frac{\alpha_{P,N}^2}{R_{P,N}} \right) \left[\frac{1}{2} T_c^2 - \frac{1}{Z} (T_h - T_c) \right] \quad (3-31)$$

(أقصى حمل تبريد للزوج الكهروحراري الواحد)

ويكون العمل اللازم للزوج الكهروحراري الواحد:

$$W = \left(\frac{\alpha_{P,N}}{R_{P,N}} \right) \cdot T_c \cdot T_h \quad (3-32)$$

ومنه معامل الأداء للنظام:

$$COP = \left(\frac{1}{2T_h} \right) \left[T_c - \frac{2}{Z \cdot T_c} (T_h - T_c) \right] \quad (3-33)$$

وحيث أن Z هي مميزة الشكل للزوج الكهروحراري وأحياناً يسمى بمعامل الاستحقاق ومعادلته:

$$Z = \left(\frac{\alpha_{P,N}^2}{R_{P,N} \cdot K_{P,N}} \right) \quad (3-34)$$

وهنا نستنتج أنه عندما تؤول قيمة Z إلى مالا نهائية تؤول قيمة COP إلى القيمة التالية $(T_c / 2. T_h)$ ولدنيا T_h أكبر من T_c فتصبح قيمة معامل الأداء $(T_c / 2. T_h)$ أقل من الواحد الصحيح ولذلك لا يوصى باستخدامه إلا للضرورة.

3-4-2- حالة أقصى معامل أداء :Case of Maximum COP

في هذه الحالة يطلب الحصول على أقل عمل لازم للحصول على حمل تبريد معين وهنا نفاضل معادلة معامل الأداء للنظام بالنسبة للتيار ونساوي بالصفر:

$$\frac{d(cop)}{dI} = 0 \quad (3-35)$$

لنجد نتائج التحليل الرياضي التي تعطي علاقة شدة التيار الأمثل:

$$I_{OPT} = \left(\frac{\alpha_{P,N}}{R_{P,N}} \right) \cdot [(T_h - T_c) / (M - 1)] \quad (3-36)$$

وحيث أن:

$$M = \sqrt{1 + 0.5 \cdot Z \cdot (T_h - T_c)} = 1.23 \quad (3-37)$$

ويكون العمل اللازم للزوج الكهروحراري الواحد:

$$W = \left(\frac{\alpha_{P,N}^2}{R_{P,N}} \right) [M(T_h - T_c)^2 / (M - 1)^2] \quad (3-38)$$

وتصبح معادلة معامل الأداء:

$$COP = \left(\frac{T_c}{T_h - T_c} \right) \left[(M - \frac{T_h}{T_c}) / (M + 1) \right] \quad (3-39)$$

ومنه علاقة حمل التبريد للزوج الكهروحراري الواحد:

$$Q_c = \left(\frac{\alpha_{P,N}^2}{R_{P,N}} \right) \left[\frac{M(T_h - T_c)(MT_h - T_c)}{(M + 1)(M - 1)^2} \right] \quad (3-40)$$

3-4-3 - حالة خاصة :Special Case

عند إهمال تأثير كل من حرارة جول Q_j وحرارة التوصيل Q_k يبقى فقط تأثير حرارة بيلتيه Q_π تصبح العلاقات كالتالي:
للوصلة الباردة:

$$Q_{\pi C} = \alpha_{p,N} \cdot I \cdot T_c \quad (3-41)$$

للوصلة الساخنة:

$$Q_{\pi h} = \alpha_{p,N} \cdot I \cdot T_h \quad (3-42)$$

ويكون العمل اللازم في الزوج الكهروحراري الواحد:

$$W = \alpha_{p,N} \cdot I(T_h - T_c) \quad (3-43)$$

هنا تصبح علاقة معامل الأداء لنظام التبريد الكهروحراري:

$$COP = \frac{Q_c}{W} = \left(\frac{T_c}{T_h - T_c} \right) \quad (3-44)$$

وهو الشكل المشابه لمعامل دارة كارنو المعكوسة والتي تعمل بين نفس درجتي الحرارة $(T_h - T_c)$.

3-5 - اختبار الأداء للنظام الكهروحراري

Performance Test for Thermoelectric System:

الاختبارات التي تقيس أداء النظام الكهروحراري تحتاج لعنصر متصل مع النظام العامل وميزان قياس معياري لضمان نوعية وتماسك وانسجام مكونات النظام الكهروحراري، وسنقدم هنا فكرة مبسطة عن الاختبارات التي تقيس مكونات النظام الكهروحراري [10].

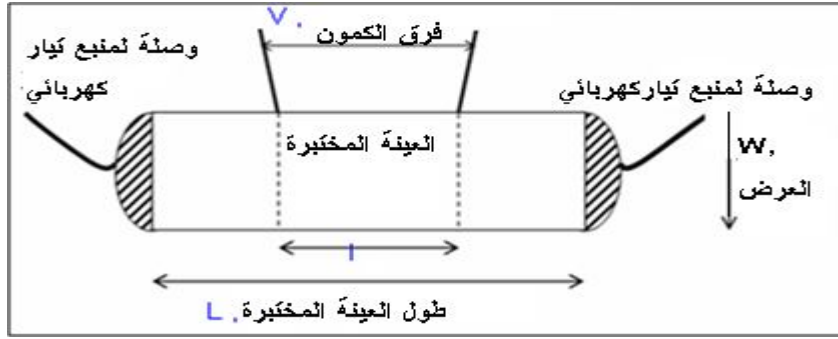
3-5-1- قياس خصائص المواد الكهروحرارية

Measurement of Properties of Thermoelectric Materials:

نميّز أداء المواد الكهروحرارية عبر قيمة معامل مميزة الشكل (رقم الاستحقاق):

$$Z = \frac{\alpha^2}{R \cdot k} \quad (3-45)$$

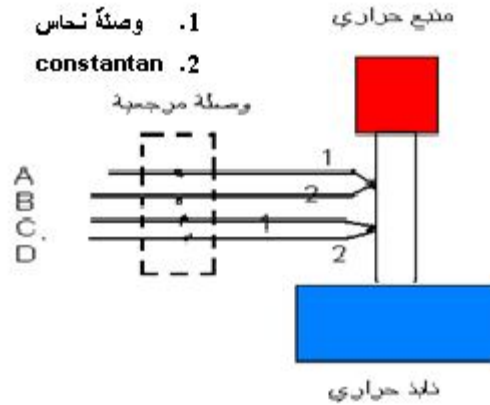
حيث يبدو من خلال العلاقة أنها متعلقة بمعامل سيبك والإيصالية الكهربائية والإيصالية الحرارية وقياس الخصائص الكهروحرارية تضمن أنّ المواد الكهروحرارية المستخدمة في الجهاز منسجمة فيما بينها كهربائياً وحرارياً عند التركيب، وفي هذا الاختبار الإيصالية الكهربائية للمواد الكهروحرارية تقاس عملياً عبر أربع تماسات مع النظام (العينة المختبرة) كما في الشكل (3-6)، في هذا الاختبار التيار الكهربائي AC يطبق على العينة عبر تماسات ملحومة عند نهايتي العينة، إنّ اختلاف الكمون الكهربائي سيقاس عبر المسبارين الآخرين اللذين يلصقان بشكل رقيق بالضغط أو باللحام، إنّ منبع التيار AC يستخدم عملياً لقياس الإيصالية الكهربائية لتجنب التأثير الجانبي لكمون سيبك.



الشكل (3 - 6) يبين كيفية قياس الإيصالية الكهربائية لعينة مادة كهروحرارية.

أمّا عن الخطوات التجريبية لقياس قيمة معامل سيبك فنراها في الشكل (3-7) في هذا القياس فرق الكمون بين (V_{AB} و V_{CD}) يستخدم لتحديد الفارق الحراري، و V_{AC} أو V_{BD} هو قياس كمون سيبك، ويقاس معامل سيبك عادةً يتحدد بتغير التدرج الحراري:

$$\alpha = \frac{d(\Delta V_{AC})}{d(\Delta T)} \quad (3-46)$$

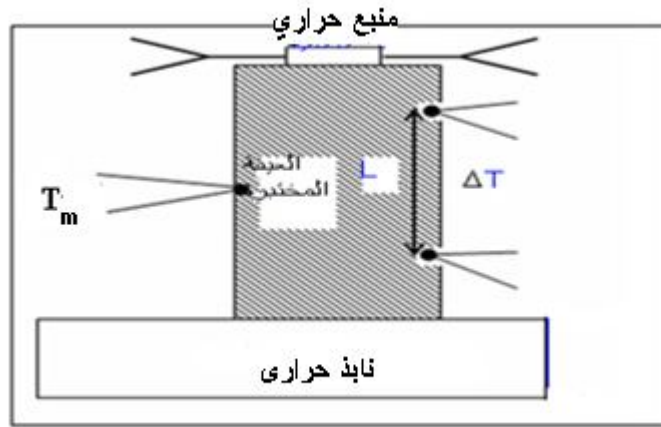


الشكل (3-7) يبين كيفية قياس معامل سيبك لعينة كهروحرارية (مركب من النحاس والنيكل-constantan).

أمّا لقياس الإيصالية الحرارية للمواد الكهروحرارية فيلأقى صعوبات في القياس بسبب إيصاليتها المنخفضة والضياعات الحرارية المحتملة والترتيب المطلوب لقياسها يشاهد من خلال الشكل (3-8)، حيث إحدى نهايات العينة تكون في تماس جيد مع ماص الحرارة (منبع حراري) بواسطة استخدام شحمة حراري (مادة رابطة بينية) أو باستخدام مادة الأبوكسي ومسخن صغير يلتصق بالنهاية الحرة للعينة، في هذه الحالة تعطى الإيصالية الحرارية بالعلاقة التالية:

$$k = \frac{Q.L}{A.\Delta T} \quad (3-47)$$

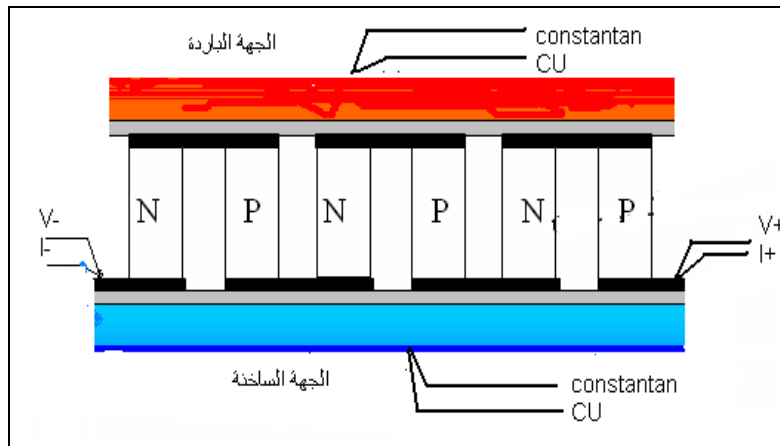
وحيث أن Q الطاقة الكهربائية للمسخن.



الشكل (3-8) يبين كيفية قياس الإيصالية الحرارية لمادة كهروحرارية (عينة).

3-5-2- اختبار أداء الوحدات الكهروحرارية:

العوامل الرئيسية التي تميز الأجهزة الكهروحرارية هي (ΔT_{\max} , V_{\max} , I_{\max} , Q_{\max}) وعلى أساسها يقيّم معامل الأداء للمركبة (الوحدة) الكهروحرارية، مثلاً اختبار الأداء للمركبة الكهروحرارية المعطى في الشكل (3-9)، بعض الاختبارات يمكن أن تتعلق بشروط الحالة السيئة لواقعها الفعلي أو بمحاكاة الاستخدام المستقبلي لها لضمان أن تلاقي المركبة الكهروحرارية مكانها المناسب في التطبيق.



الشكل (3-9) يبين اختبار التشكيل للوحدة الكهروحرارية.

الفصل الرابع

المبرّدات الكهروحراريّة الثنائيّة الطبقات

The Two- Stage Thermoelectric Coolers

1-4- مقدمة Introduction:

بسبب الأداء المحدود للمواد الكهروحراريّة المستخدمة في نظام التبريد الكهروحراري وتأثير ذلك على أداء المبرّد الكهروحراري، دعت ضرورات الاستخدام العملي بالتفكير في أنظمة التبريد المتعددة الطبقات كونها تلبي مطلب الحاجة لفارق حراري مرتفع، حيث أنّ هذه المبرّدات يمكنها أن تحدث فارقاً حرارياً كبيراً (بين جهتي المبرّد) عند معامل أداء مناسب، فمثلاً المبرّدات الثنائيّة يمكنها تحقيق فارق حراري يصل لحوالي 180 K، والعامل المتحكم بهذا الأمر هو عدد طبقات نظام التبريد وعدد الأزواج الكهروحراريّة في كلّ طبقة، فكل طبقة تعمل كخاص حراري من الطبقة التي قبلها ونابذ حراري للتي تليها، والمبرّدات الكهروحراريّة ثنائيّة الطبقات تشكّل على الأغلب في تصميمين اثنين، التصميم الأول يأخذ فيه شكل الطبقات المتتالية الشكل الهرمي التقليدي (Conventional Pyramid-Styled Design)، فيه التيار الكهربائي المغذّي للدارة وحيد الاتجاه باتجاه الطبقة العليا وهي الطبقة الأبرد بينما السفلية طبقة النبذ الحراري، أمّا التصميم الثاني فهو تصميم خاص بشكل متوازي مستطيلات (Special Cuboid-Styled)، حيث يكون التيار بشكل متعاقب (Alternated) وهنا الطبقة العلوية والسفلية يمكن أن تُوضع لتعمل بحالتي التبريد أو التسخين من الجهتين، إنّ عدد وبنية الأزواج الكهروحراريّة لكل طبقة في التصميم الخاص الثاني للمبرّد الكهروحراري متماثل في الترتيب لإحداث نفس الأداء عندما يمر التيار الكهربائي بشكل متعاقب، أمّا عدد الأزواج الكهروحراريّة في النظام الهرمي فهي عادة متناسبة بين الطبقتين بنسبة معينة [3].

تم إجراء دراسة تحليليّة للنظام الثنائي بشكل مفصل، ومن ثمّ استنتاج التصميم المثالي للمبرّد الكهروحراري الثنائي الطبقات بتصميميه، أي من ناحية السعة التبريديّة العظمى ومعامل الأداء COP المثالي، وإيجاد النسبة المثاليّة لعدد الأزواج الكهروحراريّة بين الطبقات (للنظام الهرمي) عندما يكون العدد الكلي لهذه الأزواج ثابتاً، بينما للتصميم الثنائي (متوازي المستطيلات) تمّ إيجاد النسبة المثلى للتيار الكهربائي المار في الطبقتين. إنّنا سنقبل بهذه الفرضيّات أثناء الدراسة:

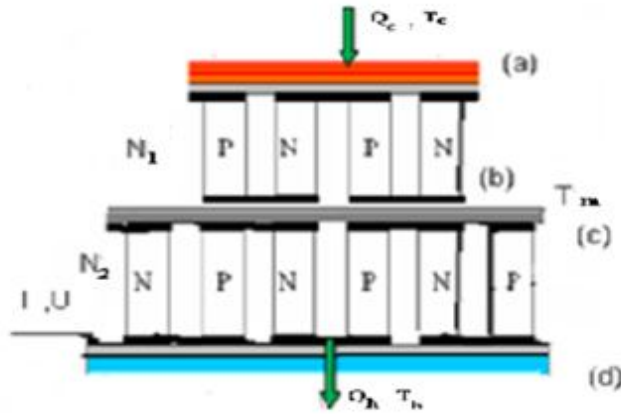
■ خصائص المواد الكهروحرارية من النوعين (P-type و N-type) متماثلة عدا معامل سيبك المتعاكس القطبية (الإشارة).

■ الخصائص الكهروحرارية للعناصر الحرارية تتعلق بدرجة الحرارة وستدلل بدرجة الحرارة المتوسطة للمبرّدات الكهروحرارية.

■ إهمال أي مقاومة تلامس، متضمنة المقاومة الحرارية (للتلامس) بين الطبقتين.

■ تجاهل أي انتقال حراري بين المبرّد الكهروحراري والوسط الخارجي ماعدا التبادل عبر النهاية الباردة والنزح الحراري عبر النهاية الساخنة.

4-2- المبرّد الكهروحراري ذو التصميم الهرمي Pyramid-Styled TEC :



الشكل (4-1) يبين المبرّد الكهروحراري الثنائي ذو التصميم الهرمي.

الشكل (4-1) يظهر المبرّد الكهروحراري الثنائي الطبقات ذو الشكل الهرمي وهنا نشير للعدد الكلي للأزواج الكهروحرارية بالرمز N_0 وسيفرض ثابتاً، وبفرض أن نسبة عدد الأزواج الكهروحرارية بين الطبقتين الثانية (السفلية) والأولى العلوية هي $(X = N_2 / N_1)$ ، فعدد الأزواج للطبقة الأولى والثانية يمكن أن نعبر عنه بـ $\{ N_0 / (X+1) \}$ و $\{ N_0 \cdot X / (X+1) \}$ على التوالي، وبكتابة معادلات التوازن الحراري لكل وصلة بدءاً من (a) وانتهاءً بـ (d):

$$Q_{c1} = \left[\alpha \cdot I \cdot T_c - \frac{1}{2} I^2 \cdot R - k \cdot (T_m - T_c) \right] \cdot \frac{N_0}{X+1} \quad (4-1)$$

$$Q_{h1} = \left[\alpha \cdot I \cdot T_m + \frac{1}{2} I^2 \cdot R - k \cdot (T_m - T_c) \right] \cdot \frac{N_0}{X+1} \quad (4-2)$$

$$Q_{c2} = \left[\alpha \cdot I \cdot T_m - \frac{1}{2} I^2 \cdot R - k \cdot (T_h - T_m) \right] \cdot \frac{N_0 \cdot X}{X+1} \quad (4-3)$$

$$Q_{h2} = \left[\alpha \cdot I \cdot T_h + \frac{1}{2} I^2 \cdot R - k \cdot (T_h - T_m) \right] \cdot \frac{N_0 \cdot X}{X+1} \quad (4-4)$$

حيث أن (k, R, α) هما معامل سيبك (Seebeck Coefficient) والمقاومة الكهربائية والناقلية الحرارية (Thermal Conductance) للزوج الكهروحراري على التوالي، ويحسب كل معامل من معادلته الخاصة كالتالي:

$$R = \frac{2 \rho}{G}, \quad k = 2 k \cdot G, \quad \alpha = | \alpha_p - \alpha_n | \quad (4-5)$$

حيث أن (k, ρ) هما المقاومة الكهربائية النوعية (Electrical Resistivity) والإيصالية الحرارية (Thermal Conductivity) للمواد الكهروحرارية على التوالي، نعرف معاملًا جديدًا يسمّى معامل البناء للعنصر الحراري (The Structural Parameter):

$$G = A / L \quad (4-6)$$

حيث أن A و L هما مساحة مقطع وطول العنصر الكهروحراري على التوالي، عندما نقسم جهتي معادلات التوازن الحراري على المقدار ($N_0 \cdot k \cdot T_c$) ذوات الأرقام { (4 و 3 و 2 و 1) - 4 } سينتج لدينا الأشكال اللاحقة التالية:

$$q_{c1} = \left[j - \frac{1}{2} j^2 \cdot \frac{1}{Z \cdot T_c} - (\Theta_m - 1) \right] \cdot \frac{1}{X + 1} \quad (4-7)$$

(4 - 8)

$$q_{h1} = \left[j \cdot \Theta_m + \frac{1}{2} j^2 \cdot \frac{1}{Z \cdot T_c} - (\Theta_m - 1) \right] \cdot \frac{1}{X + 1}$$

$$(4-9) \quad q_{c2} = \left[j \cdot \Theta_m - \frac{1}{2} j^2 \cdot \frac{1}{Z \cdot T_c} - (\Theta_h - \Theta_m) \right] \cdot \frac{X}{X + 1}$$

$$(4-10) \quad q_{h2} = \left[j \cdot \Theta_h + \frac{1}{2} j^2 \cdot \frac{1}{Z \cdot T_c} - (\Theta_h - \Theta_m) \right] \cdot \frac{X}{X + 1}$$

وحيث المقادير اللاحقة تعرف على التوالي:

$$q_i = \frac{Q_i}{N_0 k \cdot T_c}, (i = c_1, c_2, h_1, h_2) \quad (4-11)$$

$$j = \frac{I \cdot \alpha}{k} \quad (4-12)$$

$$\Theta_i = \frac{T_i}{T_c}, (i = m, h) \quad (4-13)$$

ونعرف كذلك المقدار التالي:

$$Z = \frac{\alpha^2}{R \cdot k} \quad (4-14)$$

بحساب Θ_m من مساواة المعادلتين ($q_{h1} = q_{c2}$) وتعويض قيمتها في المعادلة (4 - 7)،

وتعريف معامل أداء جديد ($\phi = 1 + 1/\text{COP}$)، نستطيع استنتاج علاقة السعة التبريدية اللابعدية ومعامل الأداء الجديد (ϕ) للنظام الثنائي ذو التصميم الهرمي بالشكل التالي:

$$q_c = \left[j - \frac{1}{2} j^2 \cdot \frac{1}{Z.T_c} + 1 - \frac{\frac{1}{2} j^2 \cdot \frac{X+1}{Z.T_c} + X \cdot \Theta_h + 1}{(X+1) + j(X-1)} \right] \cdot \frac{1}{X+1} \quad (4-15)$$

$$\phi = \frac{q_{h2}}{q_{c1}} = X \cdot \frac{j \cdot \Theta_h + \frac{1}{2} j^2 \cdot \frac{1}{Z.T_c} - \Theta_h + ((\frac{1}{2} j^2 \cdot \frac{X+1}{Z.T_c} + X \cdot \Theta_h + 1) / ((X+1) + j(X-1)))}{j - \frac{1}{2} j^2 \cdot \frac{1}{Z.T_c} + 1 - ((\frac{1}{2} j^2 \cdot \frac{X+1}{Z.T_c} + X \cdot \Theta_h + 1) / ((X+1) + j(X-1)))} \quad (4-16)$$

باستخدام المعادلتين السابقتين يمكن أن نرسم العلاقة بين ($\text{COP} \sim q_c$) للمبرّد الثنائي الهرمي عند فرض قيم مختلفة للمعامل X ، نرى التمثيل البياني في الشكل (4-2) علماً أنّ خصائص المواد الكهروحرارية تحدد من خلال العلاقات التي حدّتها الشركات العالمية المنتجة تجارياً [13] لهذه المواد ومنها الشركة الأمريكية (MELCOR) وهذه العلاقات:

$$1. \text{ لحساب معامل سيبك تعطى العلاقة اعتماداً على درجة الحرارة المتوسطة للمبرّد:} \quad (4-17)$$

$$2. \text{ لحساب المقاومة الكهربائية النوعية للمادة الكهروحرارية:} \quad (4-18)$$

$$\rho = (5112 + 163.4T_m + 0.6279T_m^2) \cdot 10^{-10}$$

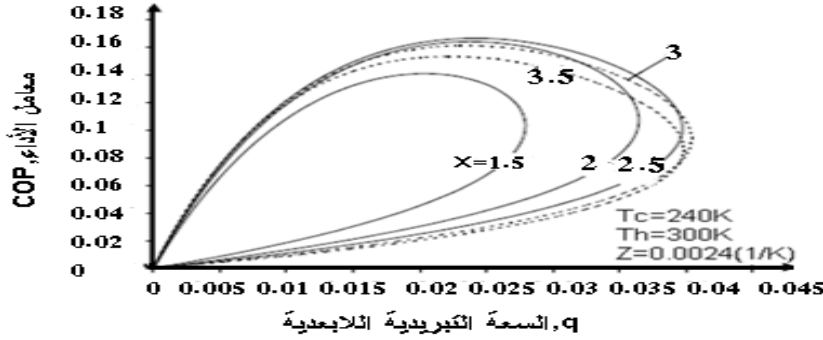
$$3. \text{ لحساب الإيصالية الحرارية للمادة الكهروحرارية:} \quad (4-19)$$

$$k = (62605 + 277.7T_m + 0.4131T_m^2) \cdot 10^{-4}$$

وحيث أنّ :

$$T_m = \frac{T_h + T_c}{2} \quad (4-20)$$

هي درجة الحرارة المتوسطة للمبرّد، شروط العمل هنا اختيرت فرضاً ($T_h = 300\text{K}$ ، $T_c = 240\text{K}$)، من الواضح أن نرى كلاً من q_c سعة التبريد الأعظميّة و COP المثالي متغيرين بشكل واسع مع قيم X المختلفة.



الشكل (4 - 2) يُظهر العلاقة بين السعة التبريدية اللابعديّة q_c ومعامل الأداء للمبرّد الكهروحراري الثنائي ذي التصميم الهرمي عند قيم مختلفة للمعامل X .

عندما سعة التبريد q_c تتناهي للصفر فإنّ المبرّد الكهروحراري الثنائي سيملك فارقاً حرارياً أعظمية أي ستكون قيمة Θ_h أعظمية، وعندما T_c ثابتة فإنّ Θ_h يمكن حسابها من العلاقة (15-4):

$$\Theta_h = 1 + 2j - j^2 \cdot \frac{1}{Z.T_c} \left(1 - Z.T_c + \frac{1 + Z.T_c}{X} \right) - \frac{1}{2} j^3 \frac{1}{Z.T_c} \left(1 - \frac{1}{X} \right) \quad (4-21)$$

عندما Θ_h أعظمية وعندما $(d\Theta_h/dj = 0)$ بناء عليه يمكن حساب j التيار الكهربائي اللابعدي باستخراج j_Θ من المعادلة (4-21).

$$j_\Theta = \frac{2}{3} \left(Z.T_c - \frac{X+1}{X-1} + \sqrt{\left(\frac{X+1}{X-1} \right)^2 + \frac{Z.T_c(X-2)}{X-1} + (Z.T_c)^2} \right) \quad (4-22)$$

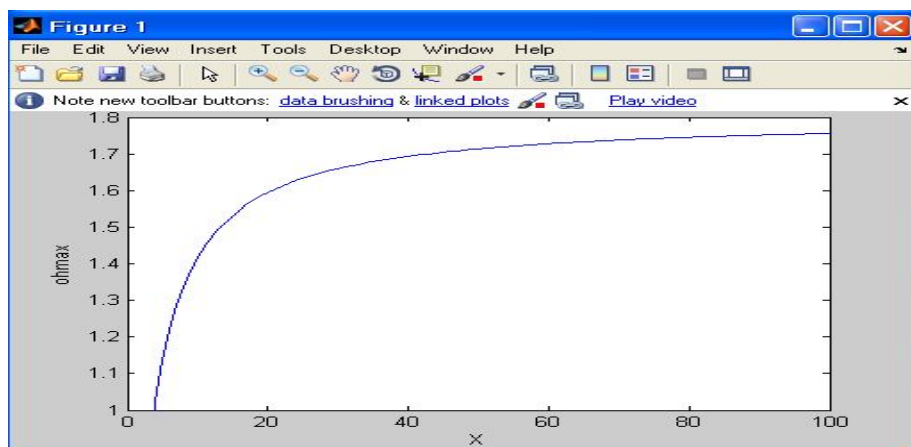
التابع $\Theta_{\max}(X)$ يمكن أن نرسمه في الشكل (4 - 3) باستخدام المعادلتين السابقتين ضمن برنامج مصمم بلغة (MATLAB)، ولنجد أنّ الفارق الأعظمي لدرجات الحرارة للمبرّد الثنائي الطبقات ذي التصميم الهرمي يتزايد تدريجياً مع X حتى قيمة محددة، ويمكن تحديدها بجعل $(X \rightarrow \infty)$ في المعادلتين (4-21) و (4-22) وتبسيطهما لنجد:

$$j_\Theta X \rightarrow \infty = \frac{2}{3} \left(Z.T_c - 1 + \sqrt{1 + Z.T_c + (Z.T_c)^2} \right) \quad (4-23)$$

$$\Theta_h X \rightarrow \infty = 1 + 2j - j^2 \cdot \left(\frac{1}{Z.T_c} - 1 \right) - \frac{1}{2} j^3 \cdot \frac{1}{Z.T_c} \quad (4-24)$$

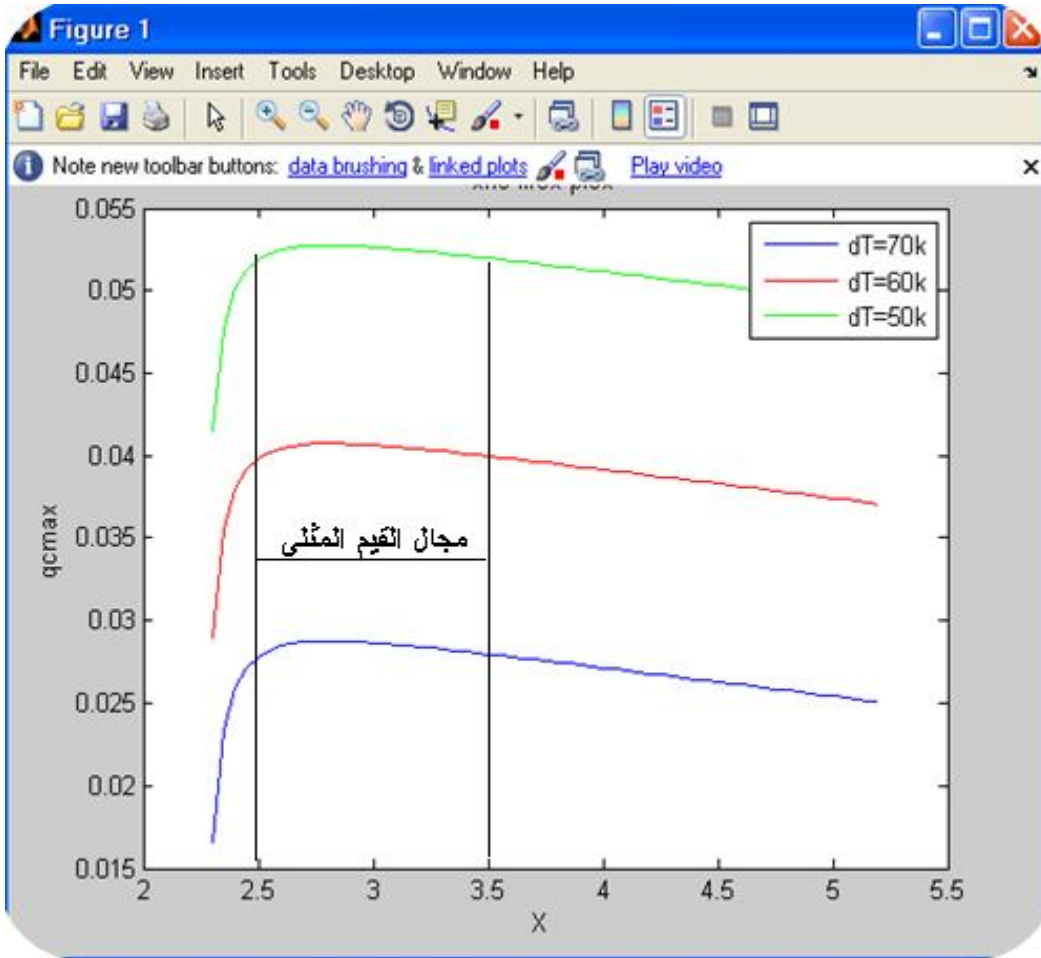
ومن المعادلة (4-24) سينتج قيمة لـ Θ مساوية لـ ($\Theta_{\max} = \Theta_h = 1.751$)

وذلك عندما ($j_\Theta X \rightarrow \infty = 0.638$)، وتحدد هذه القيمة من المعادلة (4-23) بشرط درجة الحرارة للنهية الباردة ($T_c = 240 \text{ K}$ و $Z = 0.0024 \text{ 1/K}$)، هذا يعني أنّ الفارق الحراري محدود للمبرّد الكهروحراري الثنائي ذي التصميم الهرمي وهو تقريباً (180 K) وبدون شك هذه القيمة أكبر بكثير مما سيوفره نظام التبريد الكهروحراري الأحادي الطبقة.

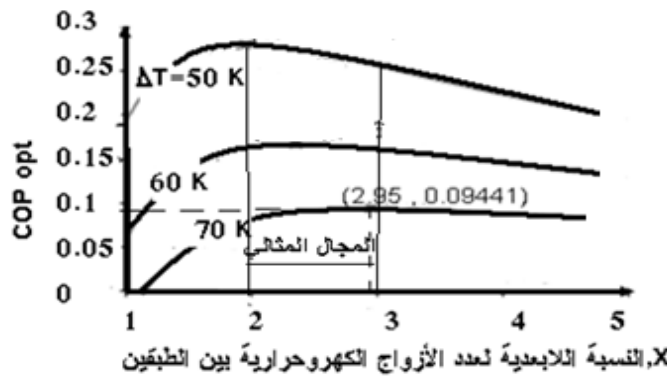


الشكل (4-3) يبين علاقة الفارق الحراري الأعظمي اللابعدي $\theta_{\max(X)}$ للمبرّد الكهروحراري ذي التصميم الهرمي بدلالة نسبة عدد الأزواج الكهروحرارية بين الطبقات.

إنّ سعة التبريد q_c تبلغ قيمة أعظميّة في المعادلة (4-15) عندما نشق $(dq_c/dj=0)$ ، وبرسم العلاقة بين $(j_q \sim q_{c \max}(X))$ نرى ذلك في الشكل (4-4) حيث نلاحظ من خلال المخطط مجالاً مفضلاً محدداً لـ X نسبة عدد الأزواج الكهروحرارية بين الطبقات وهو بين $(2.5 \div 3.5)$ عندما المبرّد الثنائي يطلب عمله بسعة تبريد أعظميّة، وبالمثل المعامل (ϕ) في المعادلة (4-16) يمكن أن يأخذ قيمة أصغريّة عندما $(d\phi/dj=0)$ ، ونرى في الشكل (4-5) منحنى $COP_{OPT(X)}$ المثالي نستطيع منه معرفة قيمة X المثالية المحددة بين $(2 \div 3)$ حيث المبرّد يقترب من معامل أداء مثالي، وبناء عليه فإنّ قيمة X المثالية للمبرّد الثنائي الطبقات ذي التصميم الهرمي محددة بين $(2.5 \div 3)$ ، علماً أنّ عدد الأزواج الكهروحرارية فرضاً هي $(13$ و $37)$ زوجاً في الطبقتين الأولى والثانية على التوالي أي المجموع الكلي $N_0 = 50$.



الشكل (4-4) يبين تغير السعة التبريدية اللابعدية $q_{c \max}(X)$ للمبرّد الكهروحراري الهرمي بدلالة نسبة عدد الأزواج الكهروحرارية بين الطبقتين بشروط $(T_h = 300 \text{ K}, Z = 0.0024 \text{ 1/K})$.



الشكل (4-5) يبين تغير معامل الأداء المثالي $COP_{opt}(X)$ للمبرّد الكهروحراري ذو التصميم الهرمي بدلالة نسبة عدد الأزواج الكهروحرارية بين الطبقتين بنفس الشروط السابقة.

4-3 - المبرّد الكهروحراري ذو التصميم (الخاص) المتوازي المستطيلات Cuboid-Styled Thermoelectric Cooler:

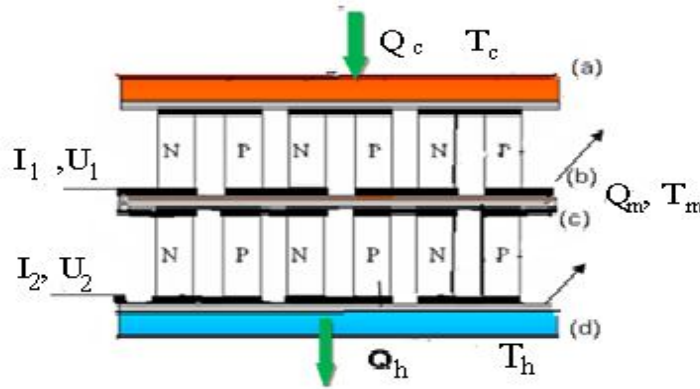
نرى شكلاً توضيحياً لهذا المبرّد في الشكل (4-6) حيث نسبة التيار الكهربائي بين الطبقة الثانية (الساخنة) والطبقة الأولى تعرّف بـ t ، والعدد الكلي للأزواج نرمزه أيضاً بـ N_0 ليتمكن إجراء مقارنة صحيحة مع المبرّد الكهروحراري الثنائي الهرمي، وبطريقة مماثلة نكتب معادلات التوازن الحراري اللابعدية عند كل وصلة بدءاً من (a) إلى (d):

$$q_{cl} = j - \frac{1}{2} j^2 \frac{1}{Z.T_c} - (\Theta_m - 1) \quad (4-25)$$

$$q_{hl} = j \cdot \Theta_m + \frac{1}{2} j^2 \cdot \frac{1}{Z.T_c} - (\Theta_m - 1) \quad (4-26)$$

$$q_{c2} = j \cdot t \cdot \Theta_m - \frac{1}{2} (j \cdot t)^2 \cdot \frac{1}{Z.T_c} - (\Theta_h - \Theta_m) \quad (4-27)$$

$$q_{h2} = j \cdot t \cdot \Theta_h - \frac{1}{2} (j \cdot t)^2 \cdot \frac{1}{Z.T_c} - (\Theta_h - \Theta_m) \quad (4-28)$$



الشكل (4-6) يبين المبرّد الكهروحراري الثنائي الطبقات ذو تصميم بشكل متوازي المستطيلات. حيث أنّ التيار الكهربائي اللابعدي j ونسبة درجة الحرارة $(\Theta_i, i = m, h)$ بالاستفادة من المعادلتين (4-12) و (4-13) على التوالي وبنفس الطريقة السابقة يعطى

$$q_i = \frac{2Q_i}{N_0 k.T_c} \quad (q_i, i = C_1, C_2, h_1, h_2) \quad (4-29)$$

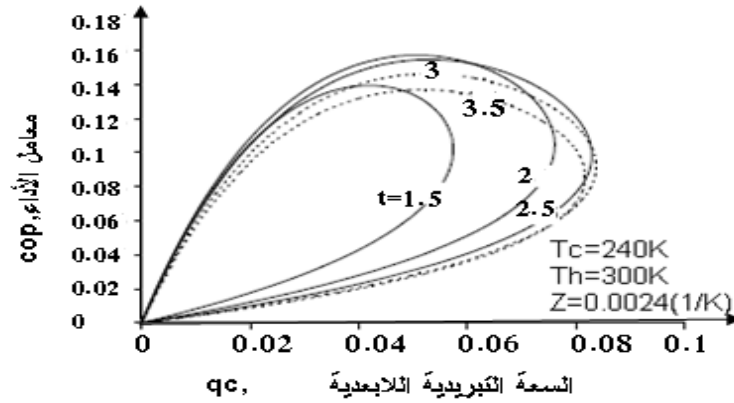
بمساواة المعادلتين $q_{hl} = q_{c2}$ نستنتج علاقة كل من السعة التبريدية والمعامل (φ) للمبرّد الكهروحراري الثنائي ذو التصميم متوازي المستطيلات بطريقة مشابهة لما سبق:

$$q_c = j - \frac{1}{2} j^2 \cdot \frac{1}{Z.T_c} + 1 - \frac{\frac{1}{2} j^2 \cdot \frac{1+t^2}{Z.T_c} + \Theta_h + 1}{2 - j + j \cdot t} \quad (4-30)$$

$$\varphi = \frac{q_{h2}}{q_{cl}} = \frac{j \cdot t \cdot \Theta_h + \frac{1}{2} j^2 \cdot t^2 \cdot \frac{1}{Z.T_c} - \Theta_h + ((\frac{1}{2} j^2 \cdot \frac{t^2+1}{Z.T_c} + \Theta_h + 1) / ((2 - j + j \cdot t)))}{j - \frac{1}{2} j^2 \cdot \frac{1}{Z.T_c} + 1 - ((\frac{1}{2} j^2 \cdot \frac{t^2+1}{Z.T_c} + \Theta_h + 1) / (2 - j + j \cdot t))} \quad (4-31)$$

باستخدام المعادلتين (4-31) و (4-30) يمكن أن نرسم العلاقة بين (COP ~ q_c) للمبرّد الكهروحراري في هذه الحالة الموضحة في الشكل (4 - 7) بشروط عمل q_c = 0 و قيمة T_c = 240 K، نسبة درجة الحرارة الالابعية Θ_h يمكن أن نحددها أيضاً بالعلاقة:

$$\Theta_h = 1 + j \cdot (t + 1) + j^2 \cdot \left(t - 1 - \frac{t^2 + 3}{Z \cdot T_c} \right) - \frac{1}{2} \cdot j^3 \cdot \frac{t - 1}{Z \cdot T_c} \quad (4-32)$$

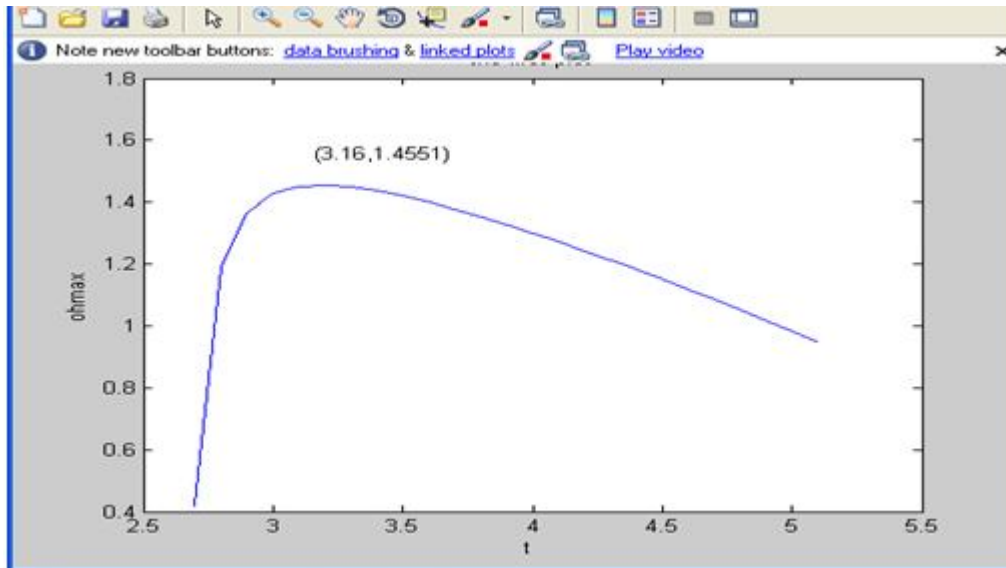


الشكل (4 - 7) يبين العلاقة بين السعة التبريدية الالابعية ومعامل الأداء للمبرّد الكهروحراري ذي التصميم بشكل متوازي المستطيلات بدلالة نسبة التيار الكهربائي بين الطبقتين.

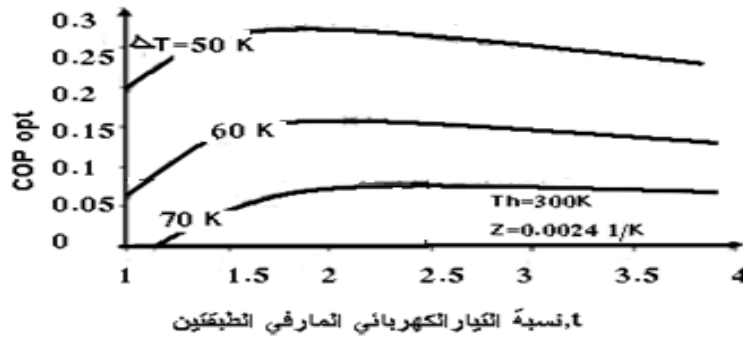
وباستخدام (dΘ_h/dj = 0) اشتقاق التيار الالابعي عند سعة تبريد أعظمية التيار يعطى:

$$j_{\Theta} = \frac{2}{3} \left(Z \cdot T_c - \frac{t^2 + 3}{2(t - 1)} + \sqrt{(Z \cdot T_c)^2 - \frac{1}{2} Z T_c \left[\frac{t^2 \cdot (t - 2)}{(t - 1)^2} - 3 \right] + \frac{(t^2 + 3)^2}{4(t - 1)^2}} \right) \quad (4-33)$$

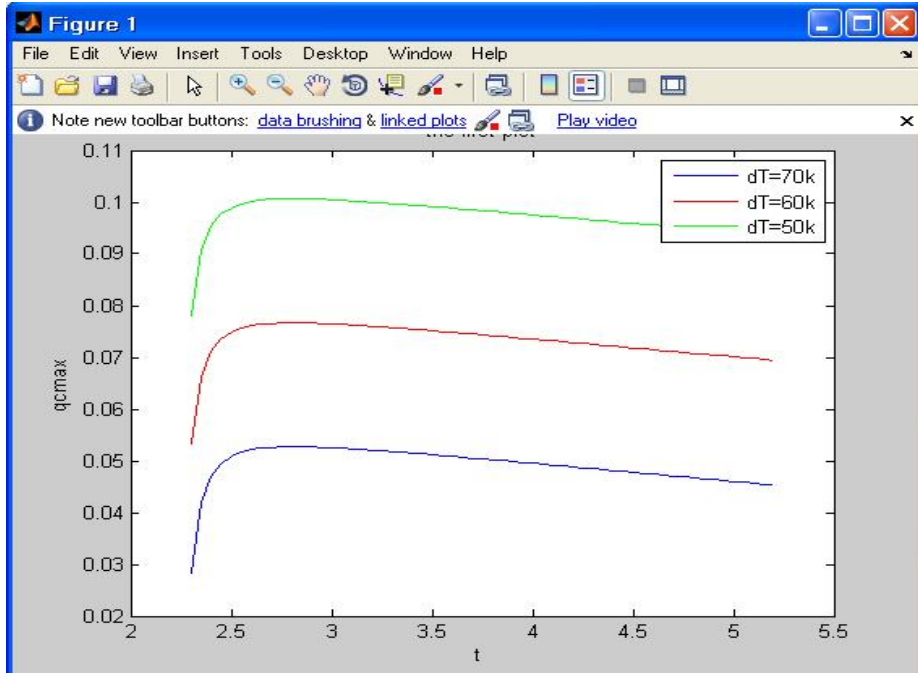
لتمثيل علاقة المعادلتين { (32 و 33) - 4 } نرى الشكل (4 - 8) الذي يمثل منحنى Θ_{max}(t) لنجد أن نسبة الفارق الحراري الأعظمي للمبرّد الكهروحراري في هذه الحالة له نهاية حدية عند t صغيرة وتساوي Θ_{max} = 1.455 عند t = 3.16 وعند T_c = 240 K.



الشكل (4-8) يبين تغير الفارق الحراري الأعظمي $\Theta_{\max(t)}$ للمبرّد الكهروحراري ذي التصميم المتوازي المستطيلات بدلالة نسبة التيار الكهربائي بين الطبقتين (على الشكل إحداثيات قمة المنحني). بتفاضل q_c في المعادلة (4-30) نسبة لـ z لنحدد السعة التبريدية $q_{c \max(t)}$ ، فمن الشكل (4-9) الذي يمثل العلاقة بين $(q_{\max} \sim t)$ عند فروقات حرارية مختلفة ويحدد القيمة المثالية لـ t نسبة التيار الكهربائي بين الطبقات بين (2.5 ÷ 3.5) عند نقطة سعة التبريد الأعظمية، و بشكل مماثل $COP_{opt(t)}$ يمكن أن يحدد بتفاضل ϕ في المعادلة (4-31) نسبة لـ z ، و يرى في الشكل (4-10) هناك قيمة مثالية محددة لـ t بين (2 ÷ 3) عند نقطة COP مثالي، إذا فالقيمة المثالية لـ t للمبرّد الثنائي هنا هي أيضاً (2.5 ÷ 3).



الشكل (4-10) يبين تغير معامل الأداء المثالي $COP_{OPT(t)}$ للمبرّد الكهروحراري الثنائي ذي التصميم متوازي المستطيلات بدلالة نسبة التيار الكهربائي بين الطبقتين بنفس الشروط الموضّحة على الشكل.



الشكل (4-9) يُظهر تغير السعة التبريدية اللابعدية $q_{c \max}(t)$ للمبرّد الثنائي بالحالة الثانية بدلالة نسبة التيار الكهربائي المار في الطبقتين عند نفس شروط العمل ($T_h = 300 \text{ K}$, $Z = 0.0024 \text{ 1/K}$).

4-4 - مقارنة التصميم الأمثل :Comparison of optimum design

بنفس شروط العمل ($G = 1.8 \times 10^{-3} \text{ m}$, $N_0 = 50$, $T_h = 300 \text{ K}$, $T_c = 240 \text{ K}$) ، والتي هي المجموع الكلي لعدد الأزواج الكهروحرارية في المبرّد الثنائي بتصميميه 50 زوجاً، في التصميم الخاص (المتوازي المستطيلات) عددهما متساوٍ (منصفة) في الطبقتين وكل طبقة يمر فيها تيار مختلف، في التصميم الهرمي التيار المار نفسه يمر في الطبقتين، والاختلاف في عدد الأزواج الكهروحرارية بحسب قيمة النسبة المثلى المختارة ($X = N_2 / N_1 = 3.17$) ، يمكننا إجراء المقارنة بين التصميمين السابقين للمبرّد الكهروحراري الثنائي الطبقات في حالتي السعة التبريدية العظمى ومعامل الأداء الأمثل التي تظهر في الجدول (4-1)، سنبين حساب حالة واحدة وذلك باستخدام المعادلات التالية [8] مع مراعاة شروط العمل والتوصيل.

■ التصميم الهرمي: حالة $Q_{c \max}$:

يتم حساب كل من التيار الكهربائي والكمون المار في كل طبقة والاستهلاك الطاقى باستخدام المعادلات:

$$U_1 = N_1 \cdot [\alpha \cdot (T_h - T_c) + I \cdot R] \quad (4-34)$$

نحسب قيمة المقاومة الكهربائية ومعامل سيبك من المعادلة (4-5):

$$R = 2 \cdot \rho / G = 2 \cdot 95 \cdot 10^{-6} / 0.0018 = 0.01056 \Omega \quad \text{حيث } \rho \text{ تحسب من}$$

المعادلة (4-18)، منه بالتعويض في المعادلة (4-34):

$$U_1 = 12 \cdot [0.0002 \cdot (300 - 240) + 7.45 \cdot 0.01056] = 1.08 \text{ V}$$

$$U_2 = 38 \cdot [0.0002 \cdot (300 - 240) + 7.45 \cdot 0.01056] = 3.5 \text{ V}$$

■ حساب Q_c : باستخدام المعادلة (4-1) نعوض لنجد:

$$Q_c = [7.45 \cdot 0.0002 \cdot 240 - 0.5 \cdot (7.45)^2 \cdot 0.01056 - 0.0064 \cdot (270 - 240)] \cdot 50 / (3.17 + 1) = 3.1 \text{ W}$$

$$k = 2 \cdot k \cdot G = 2 \cdot 1.7 \cdot 0.0018 = 0.0064 \text{ W/K} \quad \text{حيث تم حساب:}$$

■ حساب P :

$$P = I \cdot (U_1 + U_2) = 7.45 \cdot (1.08 + 3.5) = 34.121 \text{ W}$$

■ حساب COP :

$$COP = Q_c / P = 3.1 / 34.12 = 0.09$$

مع العلم أنّ السعة التبريدية تتناسب مع معامل البناء الداخلي G ، والتيار الكهربائي المار $(I_i, i=1,2)$ أيضاً يتناسب معه.

الجدول (4- 1) يبين مقارنة قيم مميزات نظام التبريد الكهروحراري بتصميميه.

الميزة		التصميم الهرمي		التصميم المتوازي المستطيلات	
		$Q_{c \max}$	COP_{opt}	$Q_{c \max}$	COP_{opt}
عدد الأزواج الكهروحرارية - في الطبقة الأولى	N_1	12	15	25	25
عدد الأزواج الكهروحرارية - في الطبقة الثانية	N_2	38	35	25	25
التيار الكهربائي المار - في الطبقة الأولى	$I_1 (A)$	7.45	4.05	3.54	2.63
التيار الكهربائي المار - في الطبقة الثانية	$I_2 (A)$	7.45	4.05	10.05	5.53
الكمون في الطبقة الأولى	$U_1 (V)$	1.08	0.81	1.16	0.91
الكمون في الطبقة الثانية	$U_2 (V)$	3.51	1.94	3.02	1.84
السعة التبريدية للنظام	$Q_c (W)$	3.08	1.85	3.21	1.97
الاستطاعة المستهلكة في النظام	$P (W)$	34.12	11.15	34.49	12.58
معامل الأداء $COP = Q_c / p$	COP	0.09	0.17	0.093	0.16

ملاحظة: إنّ العامل (U) يرمز للكمون الداخل لكل طبقة بينما (P) يرمز للطاقة الكلية للنظام.

الفصل الخامس

مقارنة أداء أنظمة التبريد الكهروحرارية أحادية وثنائية الطبقات

Comparison of The Performance of Single- and Two-Stage Thermoelectric Cooling Systems

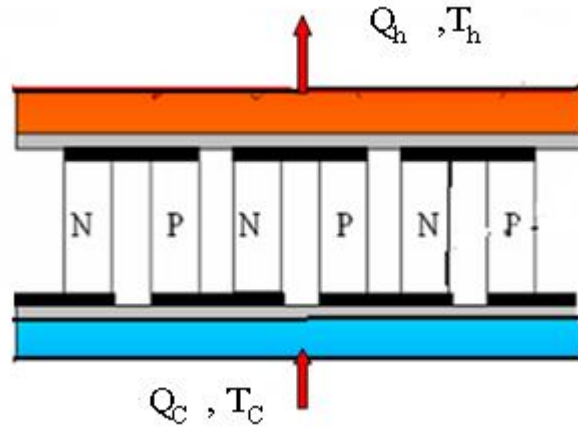
5- 1- مقدمة Introduction:

بما أنّ المواد نصف الناقلة تتميز بمعامل سيبك عالٍ، أي إيصالية كهربائية جيدة وإيصالية حرارية ضعيفة مما ساهم في تحسين استخدام مبدأ بيلتييه في الأجهزة الكهروحرارية لغاية التبريد، وأبسط شكل لمبرد كهروحراري هو النظام المكون من طبقة واحدة ولكن بسبب الأداء المحدود للمواد الكهروحرارية المبرّدات الأحادية يمكن أن تعمل فقط بفارق حراري صغير على الأغلب حتى 80 K بين جهتي النظام عند درجة حرارة

الغرفة 300 K، ولكن إذا كانت نسبة درجة الحرارة كبيرة بين المنبع الحراري والحيّز المراد تبريده، فالمبرّدات الكهروحراريّة الأحاديّة ستضعف فعاليتها مما يتطلب وجود أنظمة أكثر فعالية كثائيّة الطبقات أو المتعددة وهي طريقة مهمّة لتحسين أداء المبرّدات الكهروحراريّة.

5-2- المبرّد الكهروحراري أحادي الطبقة Single-Stage Thermoelectric Cooler :

المبرّد الكهروحراري الأحادي البسيط هو نظام مكون من طبقة واحدة من المواد شبه الموصلة (Semiconductors) يضمّ عدداً من الأزواج الكهروحراريّة من مواد النوع (N-type) والنوع (P-type) المتصلة كهربائياً على التسلسل بصفائح معدنية موصلة للكهرباء وحراريّاً على التوازي نرى ذلك في الشكل (5-1).



الشكل (5-1) يمثل مبرّداً كهروحراريّاً ذا طبقة واحدة من المواد نصف الناقلة.

نعرّف (Q_c, Q_h) بالحرارة المنبوضة من الجهاز إلى ماص الحرارة (Heat Sink) ذي درجة الحرارة العالية ثم للوسط الخارجي والحرارة الممتصة من المكان المراد تبريده ذو درجة الحرارة المنخفضة إلى الجهاز على التوالي، ونعرّف الرمز N_0 الدال على عدد أزواج العناصر شبه الموصلة، α معامل سيبك للزوج الكهروحراري، نظام التبريد هنا يعمل بين منبوعين (جهتين) حراريين بدرجة حرارة (T_c, T_h) علماً أنّ الجهاز معزول كهربائياً وحراريّاً عن البيئة المحيطة عدا الوصلات الملامسة للمنبعين (الجهتين)، فعندما يمر التيار الكهربائي I خلال الجهاز الكهروحراري فإنّ التدفّقات الحراريّة الناشئة $(N_0 \cdot \alpha \cdot I \cdot T_h, N_0 \cdot \alpha \cdot I \cdot T_c)$ الأولى يمتص من الحيّز المبرّد ذي درجة الحرارة المنخفضة والثاني يطرح للوسط الخارجي من خلال نابذ الحرارة ذي درجة

الحرارة العالية بواسطة الجهاز الكهروحراري بفعل تأثير بيلتيه، ومنه عند عمل الجهاز هناك ثلاثة تأثيرات حرارية إضافية أساسية تظهر في النظام إضافة لحرارة بيلتيه هي:

1- حرارة جول (Heat Joule) ناتجة عن مرور التيار الكهربائي $(Q_j = I^2 \cdot R)$ ، وحيث أن $(R = \rho \cdot L / A)$.

2- الحرارة الضائعة الناتجة عن اختلاف درجات الحرارة بين طرفي الجهاز (وصلتي التلامس).

3- حرارة طومسون ناتجة عن التدرج الحراري في درجات الحرارة في المواد شبه الموصلة والتيار الكهربائي ولكن معامل طومسون في الجهاز الكهروحراري عادة صغير القيمة حيث وجد أن تأثير حرارة طومسون على أداء الجهاز الكهروحراري صغير مقارنة مع كمية الحرارة بسبب التأثيرات الأخرى لذلك يهمل، وكما أن معامل سيبك α ليس متعلقاً فقط بخصائص المواد شبه الموصلة بل أيضاً بدرجة حرارة العمل وسنفرض أنه ثابت تقريباً. من خلال نظرية عدم التوازن الترموديناميكي لعناصر النظام الكهروحراري نجد:

- بالنسبة للوصلة الساخنة:

$$Q_h = Q_{\pi,h} + \frac{1}{2} Q_j - Q_k \quad (5-1)$$

بالتعويض بقيم التدفقات الحرارية نجد:

$$Q_h = N_0 \cdot \alpha \cdot I \cdot T_h + \frac{1}{2} I^2 N_0 \cdot R - N_0 \cdot k \cdot (T_h - T_c) \quad (5-2)$$

وعلى فرض أن نصف حرارة جول تصل للوصلة الباردة فالحمل الحراري الممتص بالنسبة للوصلة الباردة:

$$Q_c = Q_{\pi,c} - \frac{1}{2} Q_j - Q_k \quad (5-3)$$

بالتعويض بقيم التدفقات الحرارية نجد:

$$Q_c = N_0 \cdot \alpha \cdot I \cdot T_c - \frac{1}{2} I^2 N_0 \cdot R - N_0 \cdot k \cdot (T_h - T_c) \quad (5-4)$$

وحيث إن (R, k) هما الإيصالية الحرارية والمقاومة الكهربائية للزوج الكهروحراري وباستخدام المعادلتين $\{ (1-3) - (5) \}$ والاستفادة من تعريف مميزة الشكل للعناصر الكهروحرارية نحصل على علاقة معامل الأداء:

(5-5)

$$\text{cop} = \frac{Q_c}{Q_h - Q_c} = \frac{N_0 \cdot \alpha \cdot I \cdot T_c - \frac{1}{2} I^2 \cdot N_0 \cdot R - N_0 \cdot k \cdot (T_h - T_c)}{[N_0 \cdot \alpha \cdot I \cdot T_h + \frac{1}{2} I^2 \cdot N_0 \cdot R - N_0 \cdot k \cdot (T_h - T_c)] - [N_0 \cdot \alpha \cdot I \cdot T_c - \frac{1}{2} I^2 \cdot N_0 \cdot R - N_0 \cdot k \cdot (T_h - T_c)]}$$

بالتعويض والاختصار والقسمة على الحد $(1/T_c \cdot k)$ لحدي الكسر نحصل على علاقة معامل الأداء بالشكل المختصر:

$$\text{cop} = \frac{Q_c}{Q_h - Q_c} = \frac{j - \frac{\Theta}{2} \frac{j^2}{Z \cdot T_h} + (1 - \Theta)}{(\Theta - 1)j + \frac{\Theta \cdot j^2}{Z \cdot T_h}} \quad (5-6)$$

وعلى علاقة معدل التبريد اللابعدي للعناصر الكهروحرارية:

(5-7)

$$\text{ر وعلاقة} = \frac{Q_c}{N_0 \cdot k \cdot T_h} = \frac{N_0 \cdot \alpha \cdot I \cdot T_c - \frac{1}{2} I^2 \cdot N_0 \cdot R - N_0 \cdot k \cdot (T_h - T_c)}{N_0 \cdot k \cdot T_h} = \frac{j}{\Theta} - \frac{j^2}{2 \cdot Z \cdot T_h} + (1/\Theta - 1)$$

طاقة الدخل اللابعدي للعناصر الكهروحرارية:

$$P = \frac{p}{N_0 \cdot k \cdot T_h} = \frac{Q_h - Q_c}{N_0 \cdot k \cdot T_h} = \frac{j^2}{Z \cdot T_h} + (1 - 1/\Theta) \cdot j \quad (5-8)$$

وبالاستفادة من العلاقات التالية المعرفة للتيار الكهربائي اللابعدي ومميزة الشكل

للعنصر الكهروحراري نجد:

$$Z = \alpha^2 / R \cdot k, \quad \Theta = T_h / T_c, \quad j = \alpha I / k \Rightarrow \alpha I = j \cdot k \quad (5-9)$$

وحيث إن (Z, I, j, Θ) نسبة درجات الحرارة اللابعدي والتيار الكهربائي اللابعدي

والتيار الكهربائي المار ومميزة الشكل على التوالي وحيث إن: (5-10)

$(p = Q_h - Q_c)$ ، ومن خلال المعادلة (5-6) وعندما $(\text{cop} = 0)$ نجد:

$$(5-11) \frac{j - \frac{\Theta}{2} \frac{j^2}{Z \cdot T_h} + (1 - \Theta)}{1} = 0$$

وبحل المعادلة عن طريق $\Delta = (B^2 - 4 \cdot A \cdot C)$ والاستفادة من العلاقة $\Theta = T_h / T_c$ نسبة

درجات الحرارة اللابعدي نجد:

$$j = Z \cdot T_c \left[1 - \sqrt{1 - 2 \cdot (\Theta - 1) / (Z \cdot T_c)} \right] \equiv j_{\min}$$

$$(5-12) \quad j = Z \cdot T_c \left[1 + \sqrt{1 - 2 \cdot (\Theta - 1) / (Z \cdot T_c)} \right] \equiv j_{\max}$$

في الحالة العملية للمبرّد، يجب أن تكون قيمة معامل الأداء COP ذات قيمة حقيقية

وموجبة، ومن الواضح أنّ هذا يحدث فقط عندما التيار الكهربائي اللابعدي للنظام

الكهروحراري الأحادي الطبقة يقع ضمن منطقة:

$$j_{\min} < j < j_{\max} \quad (5-13)$$

ونسبة درجة الحرارة الجهة الساخنة إلى الجهة الباردة تقع ضمن الشرط:

$$\Theta < \frac{1 + \sqrt{1 + 2.Z.T_h}}{2} \quad (5-14)$$

بالتالي المبرّد الكهروحراري ذو الطبقة الواحدة يعمل بشكل طبيعي ضمن هذه الشروط، فعندما تكون المعادلتان (5-13) و(5-14) غير محقتين معاً، يفقد النظام دوره.

5-3 - المبرّد الكهروحراري الثنائي الطبقات Two-Stage Thermoelectric Cooler:

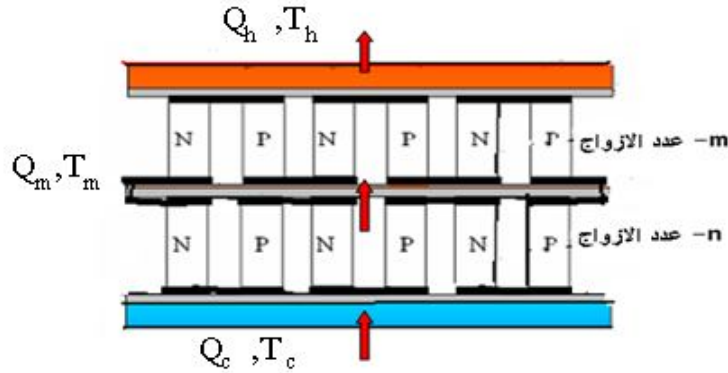
من المعادلة (5-6) نرى أنّ معامل الأداء للمبرّد الكهروحراري الأحادي الطبقة يتناقص مع ازدياد نسبة درجة حرارة الطبقة الساخنة إلى الطبقة الباردة (النسبة اللابعدية θ)، فعند θ كبيرة فإنّ معامل الأداء للمبرّد الأحادي سيكون مساوياً للصفر أو أصغر من الصفر وبالتالي هذا يدعو لاستخدام الأجهزة الكهروحرارية المتعددة الطبقات في التبريد للحصول على فارق حراري كبير بين الجهتين الباردة والساخنة للمبرّد، والشكل (5-2) يبين شكلاً لنظام تبريد كهروحراري ثنائي الطبقة. ولغاية المقارنة المناسبة سنفرض أنّ عدد الأزواج الكهروحرارية من النوعين (N-type و P-type) في هذا المبرّد N_0 وهو العدد نفسه في النظام الأحادي، وعند مرور التيار الكهربائي I خلال كل عنصر في النظام فإنّنا باستخدام معادلة التوازن الحراري نجد:

$$Q_h = m.\alpha.I.T_h + \frac{1}{2}I^2m.R - m.k.(T_h - T_m) \quad (5-15)$$

$$Q_m = m.\alpha.I.T_m - \frac{1}{2}I^2m.R - m.k.(T_h - T_m) \quad (5-16)$$

$$Q_m = n.I.\alpha.T_m + \frac{1}{2}I^2n.R - n.k.(T_m - T_c) \quad (5-17)$$

$$Q_c = n.I.\alpha.T_c - \frac{1}{2}I^2n.R - n.k.(T_m - T_c) \quad (5-18)$$



الشكل (5 - 2) يمثل نظام تبريد كهروحراري ثنائي الطبقات.

حيث أن $N_0 = m + n$ وإن (m, n) عدد الأزواج الكهروحرارية للعناصر نصف الناقلة في الطبقة الأولى والثانية على التوالي، و Q_m التدفق الحراري بين الطبقتين في هذا النظام و T_m درجة حرارة الوصلة الوسطى التي تحسب من مساواة المعادلتين (5-16) و (5-17) ونعوضها في المعادلتين (5-15) و (5-18) لنجد:

$$(5-19) \quad q_h = m \cdot j + \frac{m \cdot j^2}{2Z \cdot T_h} - m + m \cdot \frac{\frac{(m+n)}{2} \frac{j^2}{Z \cdot T_h} + m + \frac{n}{\Theta}}{(m-n) \cdot j + (m+n)}$$

$$(5-20) \quad q_c = n \cdot j - \frac{n \cdot j^2}{2Z \cdot T_c} + n - n \cdot \frac{\frac{(m+n)}{2} \frac{j^2}{Z \cdot T_c} + m \cdot \Theta + n}{(m-n) \cdot j + (m+n)}$$

وحيث $(q_h = Q_h / (k \cdot T_h))$ ، $(q_c = Q_c / (k \cdot T_c))$ ، وفي تصميم مبرّد كهروحراري ثنائي الطبقات يجب أولاً تحقيق مثالية البنية الداخلية للجهاز الكهروحراري ولأجل هذه الغاية نعرّف معامل البناء الداخلي X (Internal Structure) الذي يتعلق بالبنية الداخلية للجهاز الكهروحراري وهو يساوي $(X = m / n)$ ، ومن المعادلتين (5-19) و (5-20) يمكن أن نستنتج علاقة COP معامل الأداء للنظام:

$$(5-21) \quad \text{cop} = \frac{a_1 X + a_2}{b_1 X^2 + b_2 X + b_3} = \frac{c_1 j^3 + c_2 j^2 + c_3 j + c_4}{d_1 j^3 + d_2 j^2 + d_3 j}$$

وعلاقة معدّل التبريد اللابعدي لأزواج العناصر الكهروحرارية:

$$(5-22) \quad r = \frac{1}{\Theta} \cdot \frac{a_1 X + a_2}{f_1 X^2 + f_2 X + f_3}$$

وعلاقة طاقة الدخل اللابعدي لأزواج العناصر الكهروحرارية:

$$(5-23) \quad p = \frac{1}{\Theta} \cdot \frac{b_1 X^2 + b_2 X + b_3}{f_1 X^2 + f_2 X + f_3}$$

وحيث إنّ قيم المتحولات $a_1, a_2, b_1, b_2, b_3, c_1, c_2, c_3, c_4, d_1, d_2, d_3, f_1, f_2, f_3$ كالتالي:
الجدول (5 - 1) يبين قيم المتحولات المستخدمة.

$a_1 = (j+1)^2 - \frac{j^2}{Z.T_h} (1 + \frac{1}{2}j). \Theta - \Theta$	$d_3 = 2.X.(\Theta - 1)$
$a_2 = (1+j)(1-j) + \frac{j^2}{Z.T_h} (\frac{1}{2}j - 1). \Theta - 1$	$c_1 = \frac{1-X}{2.Z.T_h} \Theta$
$b_1 = (\frac{1}{2} \frac{j}{Z.T_h} + \frac{1}{Z.T_h} + 1). j^2 \Theta$	$c_2 = X - \frac{X}{Z.T_h} . \Theta - 1 - \frac{1}{Z.T_h} . \Theta$
$b_2 = (\frac{2j}{Z.T_h} . \Theta + 2(\Theta - 1) - j - j. \Theta). j$	$c_3 = 2.X$
$b_3 = j^2 . (1 + \frac{1}{Z.T_h} \Theta - \frac{1j}{2.Z.T_h} \Theta)$	$c_4 = (1 - \Theta). X$
$d_1 = \frac{1}{2} . \frac{(X^2 - 1)}{Z.T_h} \Theta$	$f_1 = 1 + j$
$d_2 = (x - 1).(x. \Theta - 1) + \frac{(1+x)^2}{Z.T_h} \Theta$	$f_2 = 2, f_3 = 1 - j$

5-4- مميزات الأداء عند قيمة أعظمية لمعامل الأداء

Performance Characteristics at COP_{max}:

باستخدام الشروط الحدية: نشق المعادلة (21- 5) بالنسبة لـ X أولاً ثم بالنسبة

لـ j ثانياً أي:

$$\partial(\text{cop}) / \partial X = 0, \quad \partial(\text{cop}) / \partial j = 0 \quad (5-24)$$

ومن المعادلة (21- 5) يمكن أن نبرهن أنه عندما:

$$X = (F - a_2) / a_1 \quad (5-25)$$

وعندما:

$$(c_1 d_2 - c_2 d_1) j^4 + 2(c_1 d_3 - c_3 d_1) j^3 - 3c_4 d_1 j^2 - 2c_4 d_2 j - c_4 d_3 = 0 \quad (5-26)$$

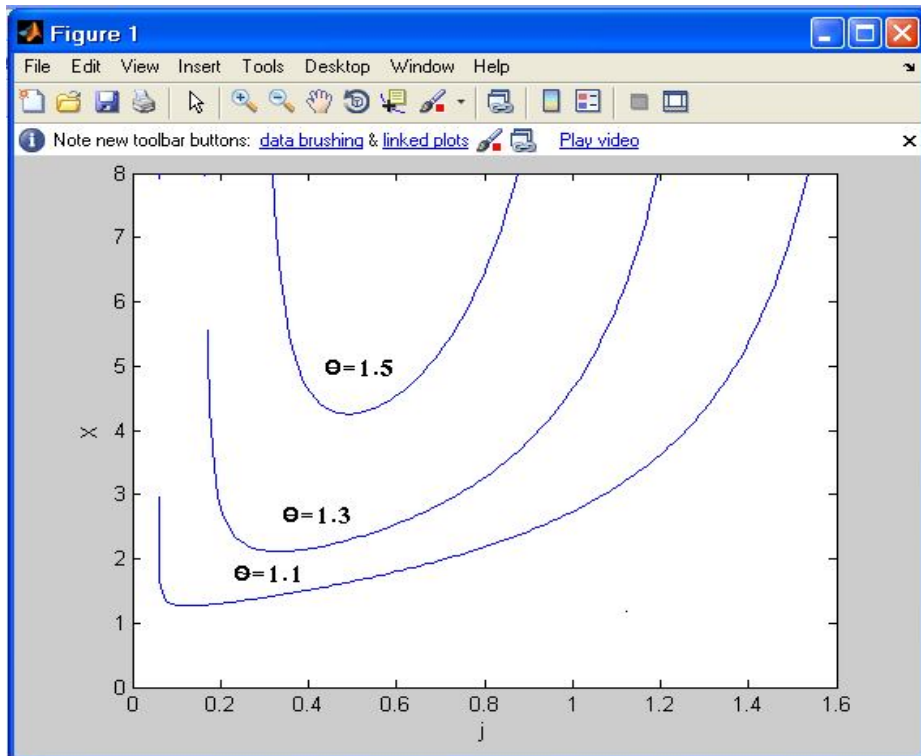
إنّ معامل الأداء يبلغ قيمة أعظمية وحيث F :

$$F = \sqrt{a_2^2 + (a_1 b_3 - a_2 b_2). a_1 / b_1} \quad (5-27)$$

ومن المعروف أنّ كل المواد المستخدمة في الأجهزة الكهروحرارية في الوقت

الحاضر هي مواد نصف ناقلة معالجة كيميائياً وأداؤها يوصف من خلال خاصية مميزة

الشكل (Figure of Merit) وتسمى أحياناً برقم الاستحقاق والتي يفضل أن تكون بقيمة مرتفعة ليعطي أداء جيداً للجهاز. هنا سنفرض النظام (الجهاز) الكهروحراري يعمل عند درجة حرارة الغرفة وهو ذو قيمة للمقدار $(Z.T_h=1)$ عند إجراء التحليل، وبإعطاء بعض القيم للمقدار θ المعادلة (25-5) يمكن أن نستخدمها لإنشاء العلاقة بين التيار الكهربائي اللابعدي ومعامل البناء الداخلي $(X \sim j)$ كما يُرى في الشكل (5-3)، البرنامج التالي الذي كتب بلغة (**MATLAB7.6**) يبين كيفية الحصول على التمثيل البياني بين $(X \sim j)$ ، واعتماداً على تعريف معامل البناء الداخلي X والذي دائماً أكبر من الصفر، وحسب هذا الشرط المنطقة $(X < 0)$ لم تمثل في الشكل (5-3).



الشكل (5-3) يبين علاقة معامل البناء الداخلي مع التيار الكهربائي اللابعدي عند معامل أداء أعظمي وقيمة للمقدار $(Z.T_h=1)$ وقيم θ المبينة في الشكل.

نرى في الشكل (5-4) خطوات البرنامج الذي يرسم العلاقة البيانية بين المتغيرين.

```

function yaser
Z=1;
Th=1;
for i=1:3
    if i==1
        oh=1.1;
        j=0.0502:0.01:1.79;
    end
    if i==2
        oh=1.3
        j=0.155:0.01:1.4;
    end
    if i==3
        oh=1.5;
        j=0.287:0.01:1.15;
    end
    a1=(j+1).^2-((j.^2.*(1+0.5*j))/(Z*Th))*oh-oh;
    a2=(1+j).*(1-j)+(j.^2/(Z*Th)).*(0.5*j-1)*oh-1;
    b1=((0.5*j/Z*Th)+(1/(Z*Th))+1).*j.^2*oh;
    b2=((2.*j*oh/(Z*Th))+2*(oh-1)-j-j*oh).*j;
    b3=j.^2.*(1+oh/(Z*Th)-0.5*j*oh/(Z*Th));
    F=sqrt(a2.^2+(a1.*b3-a2.*b2).*a1./b1);
    X=(F-a2)./a1;
    plot(j,X)
    ylim([0 8]);
    hold on;
end
xlabel('j');
ylabel('X');

```

الشكل (5-4) برنامج يرسم العلاقة بين التيار الكهربائي اللابعدي ومعامل البناء الداخلي.

نرى من الشكل (5-3) عندما $X > 0$ يكون $j_{\min} < j < j_{\max}$ ، وحيث إن قيم j_{\min} ، j_{\max} موجودة في الجدول (5-2) والتي تستنتج من خلال المعادلة (12-5) ، وبوضوح نجد أن قيمة j_{\min} تتزايد مع ازدياد θ بينما قيمة j_{\max} تتناقص مع ازدياد θ ، وعندما تكون نسبة درجات الحرارة مرتفعة يصبح المجال صغيراً بين j_{\min} و j_{\max} ، ويمكن أن نرى من المنحنيات أيضاً أن X غير متناسبة طردياً مع j ، من أجل بعض القيم المعطاة لـ θ ومن الشكل (5-3) نجد أن القيمة الصغرى لـ X عند معامل أداء أعظمي نرمزها بـ $X_{\min(\epsilon)}, \dots, X_{\min(\epsilon)}$ تزداد مع ازدياد قيمة θ ، قيم $X_{\min(\epsilon)}$ المطابقة للتيار الكهربائي اللابعدي $j_{\epsilon}(X_{\min})$ موضحة في الجدول (5-2) .

الجدول (5-2) يعطي قيم التيار الكهربائي اللابعدي j ومعامل البناء الداخلي X عند قيمة $Z.T_h=1$.

θ	j_{\min}	j_{\max}	$j_{\epsilon}(X_{\min})$	$X_{\min(\epsilon)}$	$j_r(X_{\min})$	$X_{\min(r)}$
1.1	0.050	1.79	0.124	1.27	0.118	1.31
1.3	0.155	1.47	0.331	2.11	0.325	2.23
1.5	0.277	1.15	0.491	4.25	0.488	4.42

بتعويض المعادلة (5-25) بالمعادلات (5-21), (5-22), (5-23) نجد معامل الأداء للنظام:

$$\text{COP} = \frac{F}{2b_1(a_2/a_1)^2 + 2b_3 - 2a_2b_2/a_1 + (b_2 - 2a_2b_1/a_1)F/a_1} \quad (5-28)$$

ونجد علاقة معدل التبريد اللابدي:

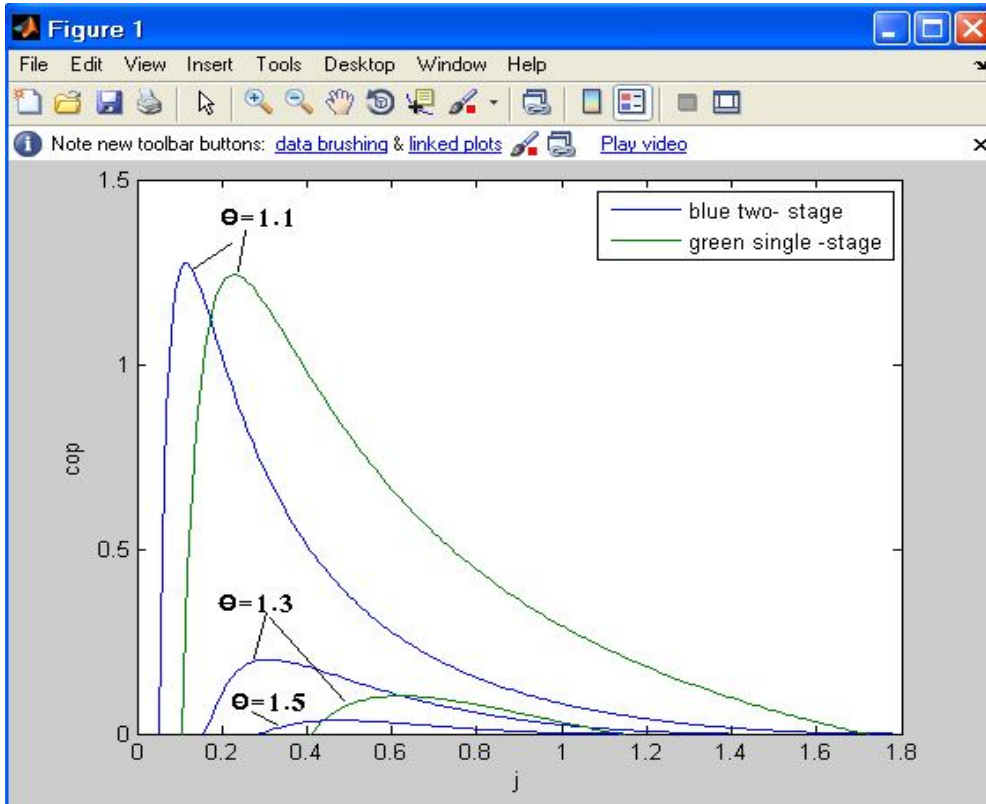
$$r = \frac{1}{\Theta} \cdot \frac{F}{2f_1(a_2/a_1)^2 + f_1b_3/b_1 + f_3 - (f_1b_2/b_1 + f_2)a_2/a_1 + (f_2 - 2a_2f_1/a_1)F/a_1} \quad (5-29)$$

وعلاقة طاقة الدخل اللابديّة:

$$5-30)$$

$$p = \frac{1}{\Theta} \cdot \frac{2b_1(a_2/a_1)^2 + 2b_3 - 2a_2b_2/a_1 + (b_2 - 2b_1a_2/a_1)F/a_1}{2f_1(a_2/a_1)^2 + f_1b_3/b_1 + f_3 - (f_1b_2/b_1 + f_2)a_2/a_1 + (f_2 - 2a_2f_1/a_1)F/a_1} \quad ($$

باستخدام المعادلتين (5-6) و (5-28) يمكننا رسم منحنى العلاقة بين $(j \sim \text{cop})$ من أجل بعض القيم المفروضة للمقدار θ ونرى هذا في الشكل (5-5).



الشكل (5-5) يبين العلاقة بين cop معامل الأداء والتيار الكهربائي اللابدي j عند قيمة للمقدار $(Z, T_h=1)$ وبعض القيم المعطاة لـ θ وحيث أنّ الخط الأزرق للمبرد الثنائي والأخضر للمبرد الأحادي.

البرنامج التالي في الشكل (5-6) يبين كيفية الحصول على التمثيل البياني بين

معامل الأداء والتيار الكهربائي اللاعدي والذي كتب بلغة (**MATLAB 7.6**):

```
function yaser2
Z=1;
Th=1;
for i=1:3
    if i==1
        oh=1.1;
        j=0.0502:0.01:1.79;
        end
    if i==2
        oh=1.3
        j=0.155:0.01:1.4;
        end
    if i==3
        oh=1.5;
        j=0.287:0.01:1.15;
        end
    a1=(j+1).^2-(j.^2.*(1+0.5*j))/(Z*Th)*oh-oh;
    a2=(1+j).*(1-j)+(j.^2/(Z*Th)).*(0.5*j-1)*oh-1;
    b1=((0.5*j/Z*Th)+(1/(Z*Th))+1).*j.^2*oh;
    b2=((2.*j*oh/(Z*Th))+2*(oh-1)-j-j*oh).*j;
    b3=j.^2.*(1+oh/(Z*Th)-0.5*j*oh/(Z*Th));
    F=sqrt(a2.^2+(a1.*b3-a2.*b2).*a1./b1);
    cop1=F./(2*b1.*(a2./a1).^2+2*b3-2*a2.*b2./a1+(b2-2*a2.*b1./a1).*(F./a1));
    cop2=(j-(oh*j.^2/(2*Z*Th))+(1-oh))./((oh-1)*j+oh*j.*j/(Z*Th));
    plot(j,cop1,j,cop2)
    ylim([0 1.5]);
    hold on;
end
xlabel('j');
ylabel('cop');
legend({'blue two- stage','green single -stage'});
```

الشكل (5-6) يبين البرنامج الذي يرسم العلاقة بين ($j \sim \text{cop}$) لنظامي التبريد.

حيث الخط الأزرق يمثل نظام المبرّد الثنائي الطبقات والخط الأخضر يمثل النظام الأحادي الطبقة، فعند $\theta = 1.5$ نجد من خلال الشكل (5-5) أنّ COP للمبرّد الكهروحراري الأحادي الطبقة أصغر من الصفر، نستنتج أنّه عندما تكون نسبة درجة الحرارة بين الوصلة الساخنة والوصلة الباردة كبيرة يكون عمل المبرّد الأحادي غير مستقر، ونرى أيضاً أنّه عندما $\text{COP} = 0$ و $j = j_{\min}$ أو $j = j_{\max}$ يمكن أن نثبت بالحساب العددي أنّه في المبرّد الكهروحراري الثنائي الطبقات أنّ قيم j_{\min} و j_{\max} عند $\text{COP} = 0$ مماثلة لقيمتها عند قيمة $X = 0$ الموضحة في الجدول (5-2)، ومن الشكل (5-5) نرى أنّ بإعطاء قيم لمقدار θ هناك قيمة أعظميّة لـ COP لنظام التبريد الكهروحراري، والجدول (5-3) يعطي القيم الأعظميّة لـ COPs والمطابقة لمعامل البناء الداخلي لنظام المبرّد الكهروحراري الثنائي التي تستنتج من المخططات البيانيّة ذوات الأرقام (5-5) بالنسبة لـ cop_{\max} و (5-3) بالنسبة لـ X_e و (5-7) بالنسبة لـ X_r و (5-10) لقيم r_{\max} .

الجدول (3-5) يعطي قيم معامل الأداء cop_{\max} ومعدل التبريد اللابعدى r_{\max} والموافقة لمعامل البناء الداخلى X_ε و X_r عند قيمة $(Z.T_h=1)$.

نسبة T_h / T_c	قيمة معامل الأداء لأعظمية	قيمة معامل البناء الداخلى عند قيمة أعظمية لمعامل الأداء	معدل التبريد اللابعدى الأعظمى	قيمة معامل البناء الداخلى عند قيمة أعظمية لمعدل التبريد
θ	cop_{\max}	X_ε	r_{\max}	X_r
1.1	1.28	1.27	0.106	2.00
1.3	0.201	2.12	0.0472	2.72
1.5	0.0365	4.26	0.0140	4.76

ويمكن أن نجد من الجدولين (2-5)، (3-5) أن قيمة X_ε معامل البناء الداخلى عند COP أعظمى هي مقارنة تماماً لقيمة $X_{\min}(\varepsilon)$ (قيمة معامل البناء الداخلى الصغرى عند قيمة أعظمية لمعامل الأداء) وإن COP_{\max} يتناقص مع ازدياد θ ، ونستطيع أن نجد أيضاً من الحسابات الأولية أن COP_{\max} لنظام التبريد الثنائى الكهروحرارى هو دائماً أكبر منه لنظام المبرّد الكهروحرارى الأحادي عند العمل بنفس الفارق الحرارى، الاختلاف بينهما يزداد مع ازدياد النسبة θ ، فمثلاً من خلال المنحنيات عندما $\theta = 1.1$ فإن COPs الأعظمية لنظامى التبريد تساوي على الترتيب الثنائى يساوي 1.28 والأحادي يساوي 1.24 أي الفارق بينهما 0.04، وعندما $\theta = 1.3$ فإن قيم COPs الأعظمية للنظامين على التوالي 0.201 ، 0.102 وهنا الفارق بينهما 0.099، وعندما $\theta = 1.5$ فإن معامل الأداء للمبرّد الكهروحرارى الأحادي الطبقة يكون أصغر من الصفر، وفي مثل هذه الحالة تظهر أفضلية استخدام نظام تبريد كهروحرارى الثنائى.

5-5 - مميزات الأداء عند معدل تبريد أعظمى

Performance Characteristics at Maximum Rate of Cooling:

بالطريقة نفسها يمكن أن نناقش مميزات الأداء للمبرّد الكهروحرارى الثنائى الطبقات عند معدل تبريد أعظمى، باستخدام المعادلة (22-5) والشروط الحدية نجد أنه عندما:

$$X = (G_0 - a_2)/a_1 \quad (5-30)$$

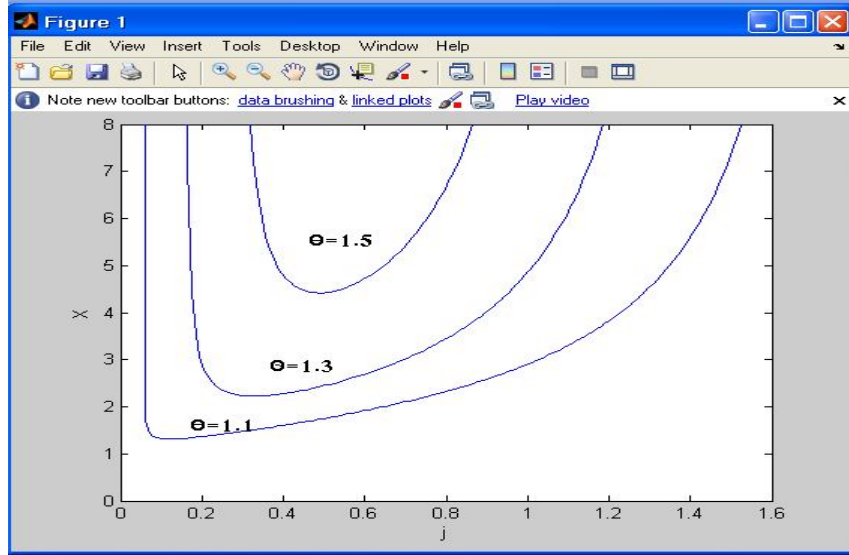
فإن معدل التبريد اللابعدى يبلغ قيمة أعظمية وحيث G_0 :

$$(5-31) G_0 = \sqrt{a_2^2 + (a_1 f_3 - a_2 f_2) a_1 / f_1}$$

ومن أجل بعض القيم المعطاة للمقدار θ المعادلة (30-5) تستخدم لإنشاء العلاقة

بين $(X \sim z)$ التي تظهر في الشكل (5-7). والبرنامج الموضّح في الشكل (5-8) يبين

كيفية الحصول على التمثيل البياني والذي كتب بلغة (**MATLAB 7.6**).



الشكل (5-7) يبين العلاقة بين معامل البناء الداخلي والتيار الكهربائي اللاعدي عند سعة تبريد

أعظمية وقيمة للمقدار ($Z, T_h = 1$) وبعض القيم المفروضة لـ θ الموضحة بالشكل.

نرى أن هذا الشكل مشابه للشكل (5-3) فيه قيم j_{min} ، j_{max} هي نفسها في الشكل

(5-3) وهو متوقع لأن COP يساوي الصفر عندما $r = 0$ من أجل بعض القيم المعطاة لـ

θ وهناك أيضاً قيمة صغرى لمعامل البناء الداخلي عند قيمة أعظمية لمعدل التبريد التي

نرمزها بـ $X_{min}(r)$ ، ونجد قيم $X_{min}(r)$ والمطابقة للتيار الكهربائي اللاعدي

$j_r(X_{min})$ هي أيضاً موضحة في الجدول (5-2)، ونرى من خلاله أن قيم $X_{min}(r)$ هي

مختلفة عن قيم $X_{min}(\varepsilon)$ لكن الاختلاف بينهما صغير جداً.

```
function yasser3
Z=1;
Th=1;
for i=1:3
    if i==1
        oh=1.1;
        j=0.0502:0.01:1.79;
    end
    if i==2
        oh=1.3;
        j=0.155:0.01:1.4;
    end
    if i==3
        oh=1.5;
        j=0.287:0.01:1.15;
    end
    a1=(j+1).^2-((j.^2.*(1+0.5*j))/(Z*Th))*oh-oh;
    a2=(1+j).*(1-j)+(j.^2/(Z*Th)).*(0.5*j-1)*oh-1;
    f1=1+j;
    f2=2;
    f3=1-j;
    G=sqrt(a2.^2+(a1.*f3-a2.*f2).*a1./f1);
    X=(G-a2)./a1;
    plot(j,X)
    ylim([0 8]);
    hold on;
end
xlabel('j');
ylabel('X');
```

الشكل (5-8) يبين البرنامج الذي يرسم العلاقة بين ($X \sim j$) وذلك عند معدل تبريد أعظمي.

وبتعويض المعادلة (5-30) في المعادلات (5-21) و (5-22) و(5-23) نستنتج علاقة معامل الأداء للنظام:

$$\text{COP} = \frac{G_0}{2b_1(a_2/a_1)^2 + 2b_3 - 2a_2b_2/a_1 + (b_2 - 2a_2b_1/a_1)G_0/a_1} \quad (5-32)$$

وعلاقة معدل التبريد اللابعدي للنظام:

$$r = \frac{1}{\Theta} \cdot \frac{G_0}{2f_1(a_2/a_1)^2 + f_1b_3/b_1 + f_3 - (f_1b_2/b_1 + f_2)a_2/a_1 + (f_2 - 2a_2f_1/a_1)G_0/a_1} \quad (5-33)$$

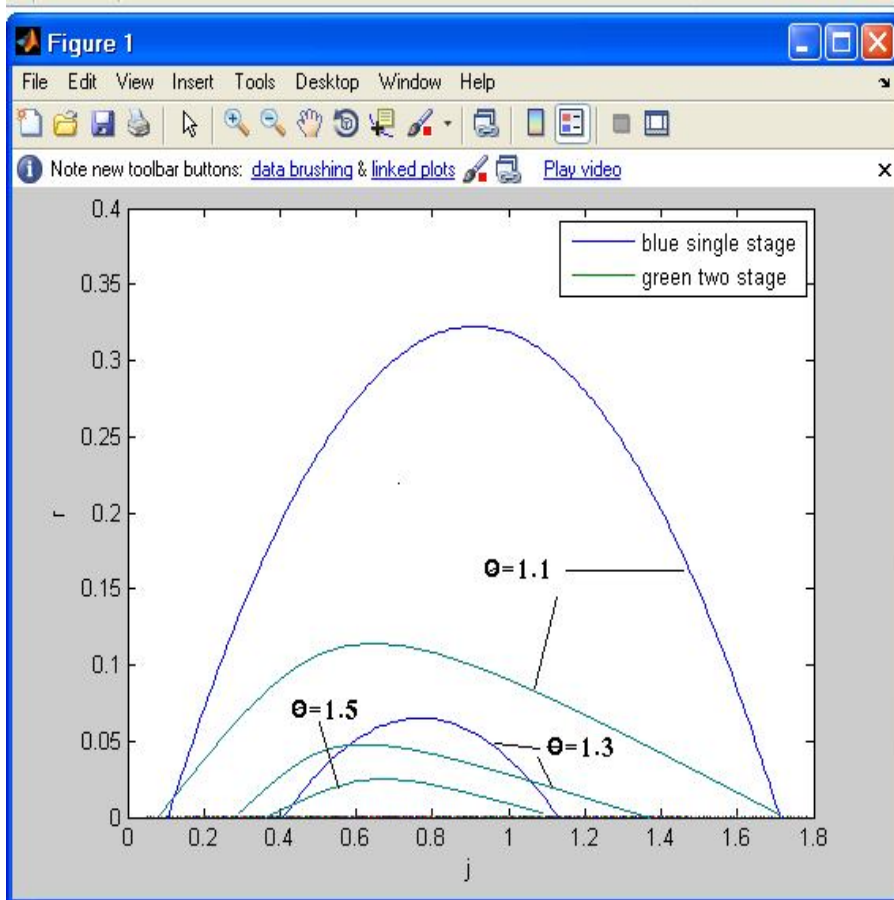
وعلى علاقة طاقة الدخل اللابعديّة: (5-34)

$$p = \frac{1}{\Theta} \cdot \frac{2b_1(a_2/a_1)^2 + 2b_3 - 2a_2b_2/a_1 + (b_2 - 2b_1a_2/a_1)G_0/a_1}{2f_1(a_2/a_1)^2 + f_1b_3/b_1 + f_3 - (f_1b_2/b_1 + f_2)a_2/a_1 + (f_2 - 2a_2f_1/a_1)G_0/a_1}$$

وباستخدام المعادلة (5-7) والمعادلة (5-33) يمكن أن نرسم المخطط (j ~ r) من أجل بعض القيم المعطاة لـ θ { الشكل (5-10) } حيث يمثل المنحني الأخضر المبرّد الكهروحراري الثنائي الطبقات والمنحني الأزرق المبرّد الأحادي الطبقة. ويمكن الحصول على التمثيل البياني بواسطة البرنامج التالي الواضح في الشكل (5-9):

```
function yasser4
Z=1;
Th=1;
for i=1:3
    if i==1
        oh=1.1;
        j=0.0502:0.01:1.79;
    end
    if i==2
        oh=1.3;
        j=0.155:0.01:1.47;
    end
    if i==3
        oh=1.5;
        j=0.277:0.01:1.15;
    end
    a1=(j+1).^2-((j.^2.*(1+0.5*j))/(Z*Th))*oh-oh;
    a2=(1+j).*(1-j)+(j.^2/(Z*Th)).*(0.5*j-1)*oh-1;
    b1=((0.5*j/(Z*Th))+1/(Z*Th))+1).*j.^2*oh;
    b2=((2.*j*oh/(Z*Th))+2*(oh-1)-j-j*oh).*j;
    b3=j.^2.*(1+oh/(Z*Th)-0.5*j*oh/(Z*Th));
    f1=1+j;
    f2=2;
    f3=1-j;
    G=sqrt(a2.^2+(a1.*f3-a2*f2).*a1./f1);
    r2=(1/oh).*(G/(2*f1).*(a2./a1).^2+(f1.*b3./b1)+f3-((f1.*b2./b1)+f2).*a2./a1+(f2-2*a2.*f1./a1).*G./a1);
    r1=(j/oh-(j.^2/2*Z*Th)+(-1+1/oh));
    plot(j,r1,j,r2)
    ylim([0,0.4]);
    hold on;
end
xlabel('j')
ylabel('r')
```

الشكل (5-9) يبين البرنامج الذي يرسم العلاقة بين (j ~ r) وذلك عند معدل تبريد أعظمي .



الشكل (5-10) يبين العلاقة بين معدّل التبريد اللابعدي والتيار الكهربائي اللابعدي لنظامي التبريد عند معدّل تبريد أعظمي و $Z.T_h = 1$ وقيم θ المبينة بالشكل.

من الشكل (5-10) نجد أنه توجد قيمة أعظمية لمعدّل التبريد الأعظمي اللابعدي لنظام التبريد الكهروحراري، والجدول (5-3) يبين القيم الأعظمية لـ r_{max} أي لمعدّل التبريد اللابعدي والمطابق لمعامل البناء الداخلي X_r لنظام مبرّد كهروحراري ثنائي الطبقات، يمكن أن نجد من الجدولين (5-2) و (5-3) أن قيمة X_r عند معدّل تبريد أعظمي للمبرّد هي أكبر منها من $X_{min(r)}$ والاختلاف بينهما يتناقص مع ازدياد θ . نرى أيضاً من الشكل (5-10) أنه عند نسبة درجة حرارة الجهة الساخنة على الجهة الباردة صغيرة، فإنّ معدّل التبريد الأعظمي للمبرّد الكهروحراري الأحادي الطبقة يكون أكبر من قيمته لنظام المبرّد الكهروحراري الثنائي الطبقات اللذين يعملان عند نفس المجال الحراري، من جهة ثانية عندما نسبة درجة حرارة الجهة الساخنة على الجهة الباردة كبيرة فإنّ معدّل التبريد الأعظمي للمبرّد الكهروحراري الأحادي أصغر منه عند النظام الثنائي اللذين يعملان عند نفس المجال الحراري.

5-6- العلاقة بين COP ومعدل التبريد

Relation between The COP and The Rate of Cooling:

هنا سنناقش المشاكل المتعلقة بالتصميم والعمل الأمثل لنظام المبرد الكهروحراري الثنائي الطبقات، فباستخدام المعادلتين (21-5) و (22-5) يمكن أن نمثل بياناً العلاقة بين ($r \sim \text{COP}$) الموضحة في الشكل (5-11)، والذي مثل من أجل قيمتين لمعامل البناء الداخلي هما ($X = 2.12$) و ($X = 2.72$) والمطابقة لقيم معامل البناء الداخلي X عند COP ومعدل تبريد r أعظميين.

ومن الواضح من الشكل (5-11) أن المنحني ($r \sim \text{cop}$) لنظام المبرد الكهروحراري الثنائي الطبقات يقسم إلى ثلاث أقسام بثلاث حالات عمل وهي :

$\text{cop} = \text{cop}_m$ ، $\text{cop} = \text{cop}_{\max}$ ، عندما يعمل نظام التبريد

الكهروحراري في المنطقة ذات الانحدار الموجب، هنا معدل التبريد اللابعدى يتناقص مع تناقص COP وهذه المنطقة لا يرغب أن تكون منطقة عمل لنظام التبريد الكهروحراري، وعندما يعمل نظام التبريد الكهروحراري في المنطقة ذات الانحدار السالب، فإن معدل التبريد للمبرد سيزداد إذا تناقص COP والعكس بالعكس، وهذه هي المنطقة المناسبة عملياً لعمل نظام التبريد الكهروحراري ومن ثم أن COP ومعدل التبريد اللابعدى لنظام التبريد يرغب بعملهما ضمن الشروط:

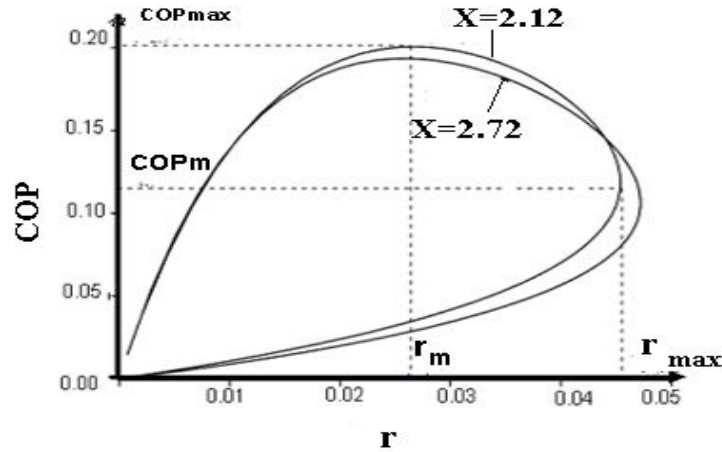
$$r_{\max} \geq r \geq r_m \quad \text{و} \quad \text{cop}_m \leq \text{cop} \leq \text{cop}_{\max} \quad (5-35)$$

العوامل (cop_{\max} ، cop_m ، r_{\max} ، r_m) مهمة جداً لنظام التبريد

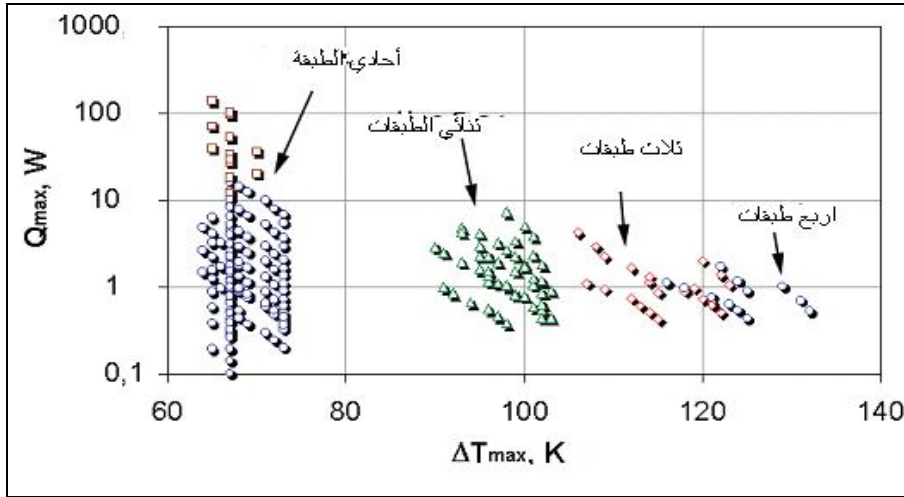
الكهروحراري، cop_m يمثل معامل الأداء عند قيمة أعظمية لمعدل التبريد اللابعدى و r_m يمثل معدل التبريد اللابعدى عند قيمة أعظمية لمعامل الأداء، المعاملان cop_{\max} و r_{\max} يعطيان الحدود العليا لـ COP ومعدل التبريد اللابعدى، بينما المعاملان (r_m ، ε_m) يحددان الحدود الدنيا للقيم المثلى لـ COP ومعدل التبريد الأعظمى اللابعدى، من خلال الشكل (5-11) نرى قيمتين مختلفتين للمعامل X عند COP ومعدل تبريد أعظميين، الاختلاف بين المنحنيين ليس كبيراً. وفي التصميم المثالي فإن معامل البناء الداخلي X يفضل أن يكون ضمن المجال:

$$X_{\varepsilon} < X < X_r \quad (5-36)$$

حيث أنّ منحنيات ($r \sim \text{COP}$) لنظام التبريد الكهروحراري تقع في المنطقة بين المنحنيين التي ترى في الشكل (5-11)، ثم إنّ المعادلة (36-5) يمكن أن تقودنا للتصميم المثالي لنظام التبريد الثنائي الطبقات .



الشكل (5-11) يمثل العلاقة بين COP معامل الأداء و r معدل التبريد عند قيمة للمقدارين $(X=2.12, X=2.72)$ للمنحنيات الممثلة و قيمتي معامل البناء الداخلي $(\theta = 1, 3 \text{ و } Z.T_h=1)$. بيانياً يمكن أن نوضح علاقة عدد طبقات النظام الكهروحراري مع الفارق الحراري الذي يمكن أن يحققه النظام في الشكل (5-12) [6].



الشكل (5-12) يبين علاقة ($Q_{\max} \sim \Delta T_{\max}$) لنظام تبريد كهروحراري حسب عدد طبقات النظام من المواد شبه الموصلة.

الفصل السادس

محاكاة أداء نظام ضخ حراري كهروحراري (مضخة كهروحرارية)

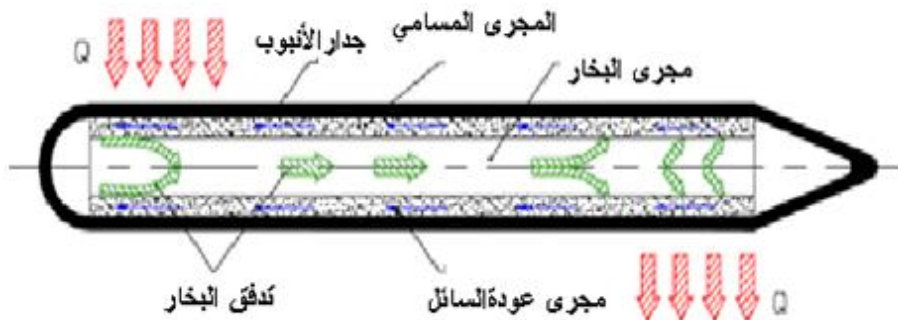
Performance Simulation of Thermoelectric Heat Pump System

1-6- مقدمة Introduction:

تم هنا بناء نموذج رياضي حاسوبي مطور لمحاكاة أداء نظام ضخ حراري كهروحراري، عملية النمذجة تمت على أساس محاكاة نموذج مخبري بني وصمم في أحد المختبرات العلمية التابعة لإحدى الجامعات البريطانية (University of Nottingham) [12] وتمت عملية النمذجة بحيث يعمل النموذج الحاسوبي تحت نفس شروط العمل التي يعمل بها جهاز التجربة المخبري لإعطاء عملية مقارنة النتائج دقة مقبولة علمياً بين القيم التي تم الحصول عليها بواسطة النموذج الحاسوبي المصمم والقيم التجريبية للنموذج الأصلي المخبري، في هذا النظام الهجين (Hybrid System) درست طريقة دمج تقنية الكهروحرارية مع خصائص الدارة الانضغاطية في نظام متكامل من خلال تقنية الديود الحراري (Thermal Diode) لتشكيل نظام ضخ حراري مترابط في العمل ومتكامل في الأداء كاتجاه جديد في سبيل تحسين أداء وزيادة فعالية الأجهزة الكهروحرارية.

6-2- الأنابيب الحرارية The Heat Pipes:

بما أننا نستخدم الأنابيب الحرارية في العمل، نقدم فكرة بسيطة عنها، الأنبوب الحراري كما يظهر في الشكل (6-1) الذي يبين آلية عمله المعروفة بالقدرة على نقل الحرارة بكميات كبيرة من قسم المبخّر إلى قسم المكثف ليتم تكثيف البخار وطرح الحرارة ومن ثم العودة إلى المبخّر عبر خاصية الأنابيب الشعرية (Capillary Type) بواسطة النّقالة.



الشكل (6-1) يبين مكونات الأنبوب الحراري.

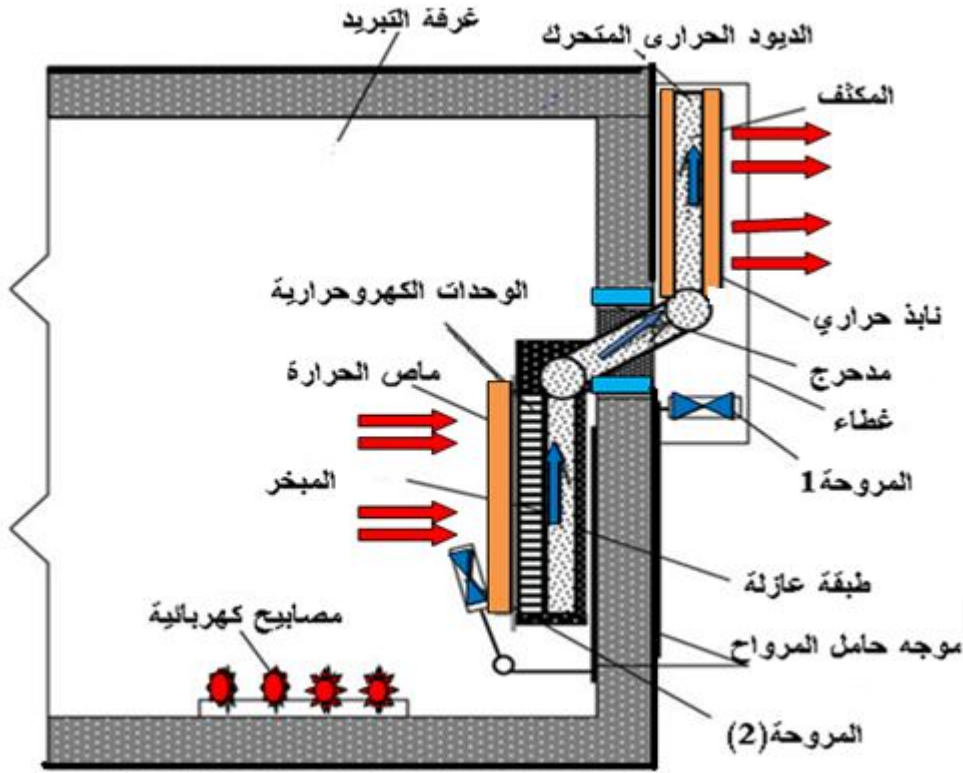
6-3- نظام الضخ الحراري :Description of The Heat Pump System

6-3-1- عمل نظام الضخ الحراري :Heat Pump and its Operation

نظام الضخ الحراري الكهروحراري مؤلف من ترابط الوحدات الكهروحرارية مع الديود الحراري المتحرك المسطح (Cranked Flat Thermal Diode) في وحدة متكاملة كما يظهر في الشكل (A- 2 - 6)، وحيث إن الديود الحراري المتحرك مكون من قسمي المبخر والمكثف المستويي الشكل (إن آلية عمل الديود الحراري تتمثل بأنه في حالة ضعف الطاقة (Power Failure) يصبح النظام غير قادر على مقاومة الضياعات الناتجة عن التسرب الحراري في الخلايا الكهروحرارية من الجهة الساخنة إلى الجهة الباردة، يقوم الديود الحراري هنا كمثّل (Thermosyphone) بين الجهة الباردة للنظام والخلايا الكهروحرارية مانعاً الانتقال الحراري في الاتجاه المعاكس، أي يسمح باتجاه عبور واحد من المبخر إلى المكثف)، والوحدات الكهروحرارية مترابطة على التسلسل ومتوضعة بجانب بعضها البعض على السطح الجانبي للديود الحراري، محشوة بينه وبين ماص الحرارة والذي يستخدم للمساعدة في عملية تشتيت الحرارة، هناك مروحة للمساعدة في تشكيل تيار هوائي، وفي النموذج الحاسوبي نستخدم مصابيح ضوئية لمحاكاة الحمل الحراري في حالة محاكاة التبريد ونستخدم مروحة صغيرة متوضعة على جدار العلبة للدلالة على الضياعات الحرارية في حالة محاكاة التسخين، أما عمل نظام الضخ الحراري فيكون كالتالي:

■ حالة التبريد:

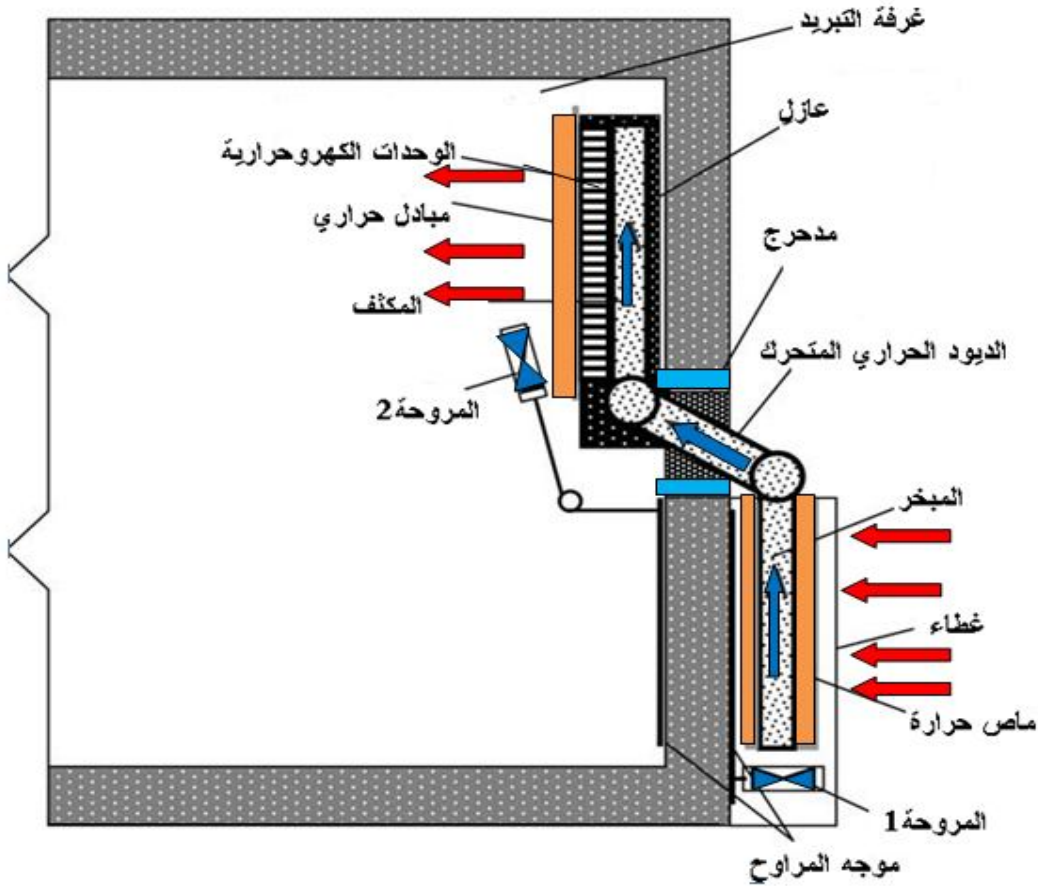
المستخدم صيفاً، كمية الحرارة Q_c المسحوبة من غرفة التبريد والظاهرة على القسم المتصل بالوحدات الكهروحرارية من الجهة الباردة (ماص الحرارة) ليتم توصيلها إلى الجهة الساخنة، بينما كمية الحرارة Q_h الناتجة على الجهة الساخنة تتضمن مجموع (Q_c و P) حيث P هو مقدار الاستهلاك الطاقوي من قبل النظام (الوحدات الكهروحرارية والمراوح)، وكمية الحرارة Q_h تسبب جريان وسيط العمل داخل الديود الحراري بعد رفع درجة حرارته وتبخيره ليتدفق البخار حاملاً معه الحرارة من قسم المبخر نحو قسم المكثف المتوضع في الخارج (خارج غرفة التبريد)، حيث يتم تكثيف وسيط العمل وطرح الحرارة إلى الوسط الخارجي عبر نابذ الحرارة {الشكل (A - 2 - 6)}.



الشكل (6-2 - A) يبين تركيب النظام بحالة التبريد.

■ حالة التسخين:

شثناء هنا الديود الحراري يتوجب قلبه (دورانه حول محوره) لعكس آلية العمل (قلب تموضع قسمي المبخّر والمكثف داخل غرفة التجربة) ليتلائم مع وظيفة التسخين (غرفة التجربة كما هو واضح في الشكل (6-2 - b)، وهنا كمية الحرارة Q_c تُنتزع من الوسط الخارجي عبر قسم المبخّر (المتوضع خارجاً) وتسبب جريان وسيط العمل بعد رفع درجة حرارته وتبخيره، حيث يتدفق البخار من قسم المبخّر الخارجي إلى قسم المكثف المتوضع داخل الغرفة حيث يتكاثف وسيط العمل وي طرح كمية الحرارة المحمولة للجهة الباردة للوحدات الكهروحرارية التي بدورها تطرحها للداخل بواسطة مبادل حراري ومروحة داخلية، وحيث أن كمية الحرارة Q_c توصل من الجهة الباردة إلى الجهة الساخنة ثم للداخل وكمية الحرارة Q_h على الجهة الساخنة تتضمن مجموع (Q_c و P) وحيث أن P مقدار الاستهلاك الطاقوي، علماً أن كمية الحرارة Q_h تطرح لداخل الغرفة بواسطة نابذ الحرارة { الشكل (6-2 - b) }، ومع ملاحظة أن الديود الحراري يمكن أن يعمل فقط في اتجاه واحد ويمكن أن يحول دون عكس اتجاه التدفق الحراري في حالة ضعف الطاقة.



الشكل (6 - 2 - b) يبين تركيبة النظام بحالة التسخين.

6-3-2 مكونات نظام النموذج الأصلي :Parts of The Prototype System

■ الديود الحراري Thermal Diode :

يتألف من مبخّر ومكثّف مسطحين أبعادهما (320 mm x 150 mm x 15 mm) مع 11 ثقب دائري بقطر 10 mm داخل الصفيحة المسطحة، الثقوب متصلة كل واحد مع الآخر عند النهايات للحفاظ على مستوى واحد لوسيط العمل الداخلي ضمن الديود الحراري، والقسم الأدياباتي ذو مقطع دائري بقطر 50 mm و بطول 120 mm، علماً أنّ سعة الحرارة المنقولة 940 W عند درجة حرارة عمل 45°C في حالة محاكاة التبريد، وتبلغ 630 W عند درجة حرارة عمل 5°C في حالة محاكاة التسخين.

■ الوحدات الكهروحرارية Thermoelectric Modules :

هي من طراز { (CP2 -127- 06) ، من شركة MELCOR-USA } وعددها ثمانى وحدات كهروحرارية مترابطة على التسلسل حين الاستخدام، وهي بالموصفات التالية حسب نشرات الشركة الصانعة [1].

الجدول (6 - 1) يبين مواصفات الوحدة الكهروحرارية (CP2 -127- 06).

المعامل	واحدة القياس	القيمة	المعامل	واحدة القياس	القيمة
المادة الكهروحرارية		Bi ₂ Te ₃	التيار	A/couple	1.86e ⁺⁰¹
N α = p α	V/ ⁰ C	$\pm 2 \text{ e}^{-04}$	الكُمون	V/couple	1.51e ⁻⁰¹
N ρ = p ρ	$\Omega \cdot \text{m}$	1 e^{-05}	الطاقة	W	2.81
k	W/m. ⁰ C	1.5	N ₀ (couples)		127
A _P / A _N		1	R	ohm	7.70 e ⁻⁰³
A _P = A _N	m ²	1.17 e^{-05}	κ	W/ ⁰ C	7.80 e ⁻⁰³
D _N = D _P	m	0.0039	α	V/ ⁰ C	4 e ⁻⁰⁴
L _P = L _N	m	4.49 e^{-03}			

6-4- نظرية (فكرة) النموذج الحاسوبي :Theory of The Computer Model

6-4-1- النموذج الرياضي :Mathematical Model

إنّ العلاقات التي تربط بين المتغيرات المختلفة النازمة للنموذج الرياضي هي:

■ معادلات التوازن الحراري الممثلة لماس الحرارة الداخلي:

- حالة التبريد:

$$(6-1) \quad Q_c = \frac{T_{in} - T_c}{R_c} \Rightarrow T_c = T_{in} - Q_c \cdot R_c$$

وحيث أنّ T_c و T_{in} هما درجة حرارة الجهة الباردة للوحدة الكهروحرارية ودرجة الحرارة الداخلية لغرفة التبريد على التوالي.

- حالة التسخين:

$$Q_h = \frac{T_h - T_{in}}{R_c} \Rightarrow T_h = T_{in} + Q_h \cdot R_c \quad (6-2)$$

وحيث أنّ T_h , Q_h درجة حرارة والحمل الحراري للجهة الساخنة للوحدة الكهروحرارية على التوالي.

■ درجة الحرارة المتوسطة للجهتين الباردة والساخنة للوحدات الكهروحرارية تعطى

بالعلاقة:

$$T_m = \frac{T_h + T_c}{2} \quad (6-3)$$

والفارق الحراري بين الجهتين الباردة والساخنة للوحدات الكهروحرارية يحسب:

$$\Delta T = T_h - T_c \quad (6-4)$$

■ معادلات التوازن الحراري الممثلة للديود الحراري وماس الحرارة الخارجي:

- حالة التبريد:

$$Q_h = (T_h - T_a) / (R_h + R_{hp}) \quad (6-5)$$

حيث أنّ T_a و R_{hp} هما درجة حرارة

الوسط الخارجي والمقاومة الحرارية للديود الحراري على التوالي.

- حالة التسخين:

$$Q_c = (T_a - T_c)/(R_h + R_{hp}) \quad (6-6)$$

مع العلم أن قيمة $(R_c = 0.133655 \text{ } ^\circ\text{C/W})$ المقاومة الحرارية لماس الحرارة الداخلي عند سرعة هواء تساوي (1 m/s) ، بينما قيمة $(R_h = 0.123681 \text{ } ^\circ\text{C/W})$ وهي المقاومة الحرارية لماس الحرارة الخارجي عند سرعة هواء تساوي (2 m/s) ، وعند التلامس الحراري بين سطوح التلامس في هذا النظام تم استخدام مادة الشحم الحراري عبر فيلم رقيق (طبقة رقيقة)، المقاومة الحرارية لهذا الفيلم الرقيق من الشحم الحراري أخذت بالحسبان في الحسابات.

■ الاستهلاك الطاقى للنظام يعطى بالعلاقة:

$$P = Q_h - Q_c \quad (6-7)$$

■ معامل الأداء للنظام يحسب كما يلي:

- حالة التبريد:

$$\text{COP} = \text{COP}_1 = Q_c/P \quad (6-8)$$

- حالة التسخين:

$$\text{COP} = \text{COP}_1 = 1 + Q_c/P \quad (6-9)$$

■ معامل سيبك للمواد الكهروحرارية يعطى بالعلاقة:

$$\alpha = (a_0 + a_1 T_m + a_2 T_m^2).10^{-9} \quad (6-10)$$

$$a_0 = 22224.0 \quad , \quad a_1 = 930.6 \quad , \quad a_2 = -0.9905$$

■ تعطى علاقة المقاومة الكهربائية النوعية للمواد الكهروحرارية كما يلي:

$$\rho = (p_0 + p_1 T_m + p_2 T_m^2).10^{-10} \quad (6-11)$$

$$P_0 = 5112 \quad , \quad P_1 = 163.4 \quad , \quad P_2 = 0.6279$$

■ تعطى علاقة

الإيصالية الحرارية للمواد الكهروحرارية كما يلي:

$$k = (k_0 + k_1 T_m + k_2 T_m^2).10^{-4} \quad (6-12)$$

$$k_0 = 62605.0 \quad , \quad k_1 = -277.7 \quad , \quad k_2 = 0.4131$$

■ ويتم حساب التيار الكهربائي المستهلك من قبل النظام [12] من العلاقة: (6-13)

$$I = (2.N.\alpha.T_c - \sqrt{(2N.\alpha.T_c)^2 - 4.N.\rho.(Q_c + 2.N.k.\Delta T.G)}/G)/(2.N.\rho/G)$$

■ ويحسب معامل الأداء للوحدات الكهروحرارية كالتالي:

- حالة التبريد: (6-14)

$$COP = COP_2 = [\alpha.I.T_c - k.G.\Delta T - I^2.\rho/(2.G)] / (I^2.\rho/G + \alpha.I.\Delta T)$$

- حالة التسخين: (6-15)

$$COP = COP_2 = 1 + [\alpha.I.T_c - k.G.\Delta T - I^2.\rho/(2.G)] / (I^2.\rho/G + \alpha.I.\Delta T)$$

المعادلات (6-13) و(6-14) و(6-15) تم الحصول عليها على أساس تحليلي لأداء الوحدات الكهروحرارية، وأسس هذا التحليل على أساس التوازن الطاقى للسخن الحراري (حرارة بيلتيه وحرارة جول وحرارة التوصيل).

حيث أنّ حرارة بيلتيه المتدفقة (الحرارة التي تضخ عند الجهة الباردة بفعل بيلتيه في الوحدة الكهروحرارية)، حرارة جول تقسم بنسبة % 50 لكل من الجهتين الباردة والساخنة، أمّا حرارة التوصيل - خلال العمل - فهي الحرارة التي يتم توصيلها من الجهة الباردة إلى الجهة الساخنة في الوحدة الكهروحرارية خلال المادة الكهروحرارية.

6-4-2- حساب المقاومات الحرارية للديود الحراري

Calculation of Thermal Resistances of The Thermal Diode:

المعادلتان (6-5) و (6-6) تتطلبان حساب قيمة المقاومة الحرارية للديود الحراري R_{hp} حيث يمكن حسابها من خلال برنامج فرعي في خوارزمية البرنامج العام، نظرياً يتم حسابها من خلال التفصيل الآتي:

كمية الحرارة الناتجة على الجهة الساخنة (في حالة التبريد) أو كمية الحرارة الممتصة من الوسط الخارجي (في حالة التسخين) ستقل للخارج أو للدخل (الغرفة) من خلال عمليتي التبخير والتكثيف للوسيط العامل في الديود الحراري، هناك مقاومات حرارية متنوعة تظهر خلال العمل تضم الآتي: مقاومة جدار المبخّر، المقاومة المكافئة للوسيط العامل في المبخّر، مقاومة تدفق البخار، المقاومة المكافئة للوسيط العامل في المكثّف ومقاومة جدار المكثّف وهذه المقاومات [7] يمكن أن نعبر عنها بالشكل الآتي:

■ مقاومة جدار المبخر Evaporator Wall Resistance:

$$R_{P, \text{evap}} = \frac{r_o^2 \ln(r_o/r_i)}{2L_e k_p} \quad (6-16)$$

حيث أن r_o ، r_i ، L_e ، k_p هما نصف القطر الخارجي والداخلي لمقطع المبخر في الأنبوب الحراري وطوله (m) والإيصالية الحرارية لجدار الأنبوب الحراري ($W/m \cdot ^\circ C$).

■ مقاومة Saturated Wick للمبخر (طبقة رقيقة سائلة للأنبوب الحراري للفتيلة الخارجية):

$$R_{w, \text{evap}} = \frac{r_o^2 \ln(r_i/r_v)}{2L_e k_e} \quad (6-17)$$

حيث أن r_v ، k_e نصف قطر عمود البخار في مقطع المبخر للأنبوب الحراري والإيصالية الحرارية للفراغ ($W/m \cdot ^\circ C$).

■ مقاومة تدفق البخار Vapour Flow Resistance:

$$R_v = \frac{\pi r_o^2 \cdot F_v \cdot T_v \cdot (L_e/6 + L_a + L_c/6)}{\rho_v \cdot J \cdot \lambda} \quad (6-18)$$

حيث أن F_v ، J ، $T_v \rho \lambda$ ، L_a ، L_c ، v هما معامل مقاومة الاحتكاك لتدفق البخار في الأنبوب الحراري ويساوي 0.014، ودرجة الحرارة المطلقة لتدفق البخار وطول القسم الأدياباتي وطول مقطع المكثف في الأنبوب الحراري وكثافة تدفق البخار ومعامل التصحيح المتصل بالمقاومة الحرارية لتدفق البخار ويساوي الواحد والحرارة الكامنة لوسيط التبريد (n-pentane) في الأنبوب الحراري J/kg .

■ مقاومة الفتيلة المشبعة للمكثف Condenser Saturated Wick (طبقة رقيقة سائلة للأنبوب الحراري للفتيلة الخارجية):

$$R_{w, \text{cond}} = \frac{r_o^2 \ln(r_{i,c}/r_{v,c})}{2L_e k_e} \quad (6-19)$$

حيث أن $r_{v,c}$ نصف قطر عمود البخار في مقطع المكثف في الأنبوب الحراري.

■ مقاومة جدار المكثف Condenser Wall Resistance:

$$R_{P, \text{cond}} = \frac{r_o^2 \ln(r_{o,c}/r_{i,c})}{2L_c k_p} \quad (6-20)$$

■ المقاومة الكلية Total Resistance: (6-21)

$$R_{h, p} = R_{w, \text{evap}} + R_{P, \text{evap}} + R_v + R_{P, \text{cond}} + R_{w, \text{cond}}$$

وما يجب الإشارة إليه أنّ مقاومة التلامس بين الديود الحراري والنايذ الحراري أخذت بالحسبان عند حساب المقاومة الحرارية للنايذ الحراري.

6-5- طريقة الاختبار التجريبي Experimental Testing Method:

أنّ النموذج التجريبي صنع واختبر في غرفة ذات ظروف محيطية مخبرية، والذي يتكون من الديود الحراري وثمانى وحدات من الوحدات الكهروحرارية من النموذج (Type CP2 -127- 06)، وكل وحدة كهروحرارية تحوي على 127 زوج كهروحراري، وثلاثة أجهزة نبذ حراري ومروحتي تبريد AC كما هو موضح سابقاً، والنظام يتوضع على إحدى جهتي جدار الغرفة ضمن غطاء معزول بأبعاد (1.22 m x 1.22 m x 1.22 m) ليحاكي غرفة أجراء الاختبار والتوضع ضمن البيئة المطلوبة، وسيط التبريد المستخدم في الديود الحراري هو (n-Pentane)، وهو يعمل بمجال حراري ($120^{\circ}\text{C} \div -20^{\circ}\text{C}$) ويملاً أنابيب الديود حتى مستوى 0.3 m، وتكون الوحدات الكهروحرارية مترابطة على التسلسل ومتوضعة بجانب بعضها البعض على سطح الصفيحة المسطحة الأولى للديود الحراري والمتوضعة داخل الغرفة (المبخر)، وهذه الوحدات محشوة بين الصفيحة المسطحة والنايذ الحراري (الذي يسمى النايذ الحراري الداخلي)، ويوجد أيضاً نايذان حراريان مزعنفان (النايذان الخارجيان بزعانف ذات وضعية شاقولية) متوضعان على جهة الصفيحة المسطحة الأخرى للديود الحراري (المتوضعة خارج الغرفة- المكثف)، التلامس الحراري بين الأسطح الحرارية المتماسة يتم بفعالية باستخدام مادة الشحمة الحرارية، كما أن مروحة التبريد الداخلية متوضعة داخل علبة أبعادها (120 mm x 120 mm x 38 mm) وتزود بتدفق هواء ($164 \text{ m}^3/\text{h} = 0.04556 \text{ m}^3/\text{sec}$) وتستهلك طاقة دخل 22 W بينما المروحة الخارجية بأبعاد (172 mm x 151 mm x 51 mm) وتبدفق هواء ($302 \text{ m}^3/\text{h}$) أي ($0.08389 \text{ m}^3/\text{sec}$) وتستهلك طاقة 39 W، وخلال التجربة يتم ضبط التوتر الكهربائي المطلوب المستخدم لمراوح التبريد بغية الحصول على سرعة الهواء المطلوبة. إن الاختبارات التي أجريت لمحاكاة التبريد (في حالة التبريد) أو محاكاة التسخين (في حالة التسخين) داخل الغرفة المدروسة تمت عند شروط عمل ودرجات حرارة خارجية مختلفة، ففي حالة التبريد نستخدم مصابيح كهربائية لمحاكاة الحمل الحراري وبقيم مختلفة (25 W، 30 W، 40 W)، أمّا في حالة التسخين فنستخدم مروحة صغيرة متوضعة على جدار العلبة للدلالة على الضياع الحراري، وكما قيست درجة الحرارة

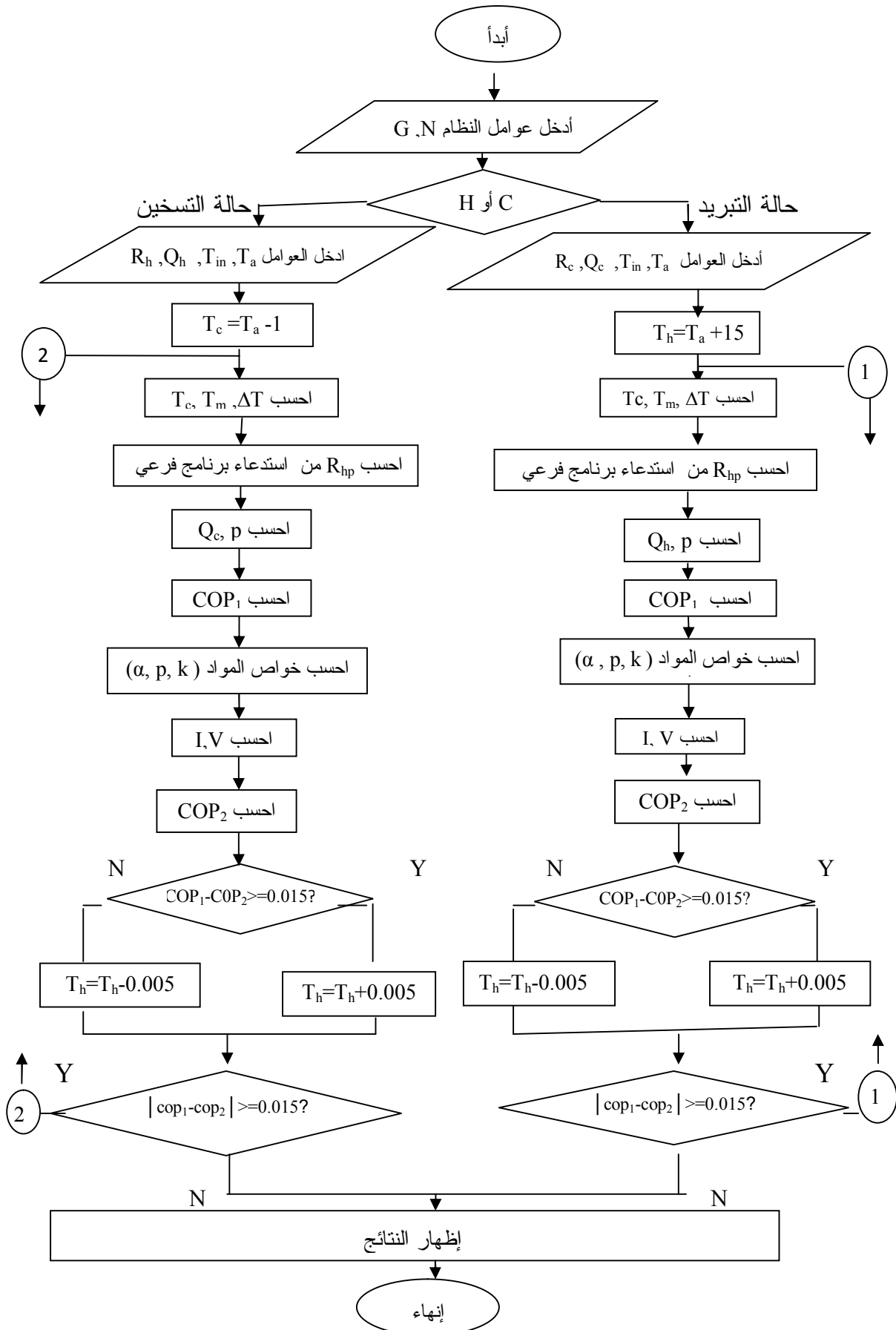
للوحدة الكهروحرارية عند شروط عمل مختلفة (T_c , T_h) ولقسمي المبخر والمكثف للأنايب الحرارية وداخل الغرفة والوسط المحيط.

تقييم أداء النظام المدروس تم بحساب COP الذي يحسب بنسبة الطاقة الممتصة أو المنبذة داخل الغرفة المختبرة في حالتي التبريد أو التسخين على الطاقة الكهربائية المستهلكة من قبل الوحدات الكهروحرارية وتجهيزات النظام، لتحقيق التوازن الحراري في النظام فإنّ الطاقة التبريدية الناتجة في النظام مساوية لمجموع الحمل الحراري والحرارة المنتقلة من الوسط الخارجي لداخل الغرفة عبر الجدران.

6-6- بنية النموذج الحاسوبي Structure of The Computer Model:

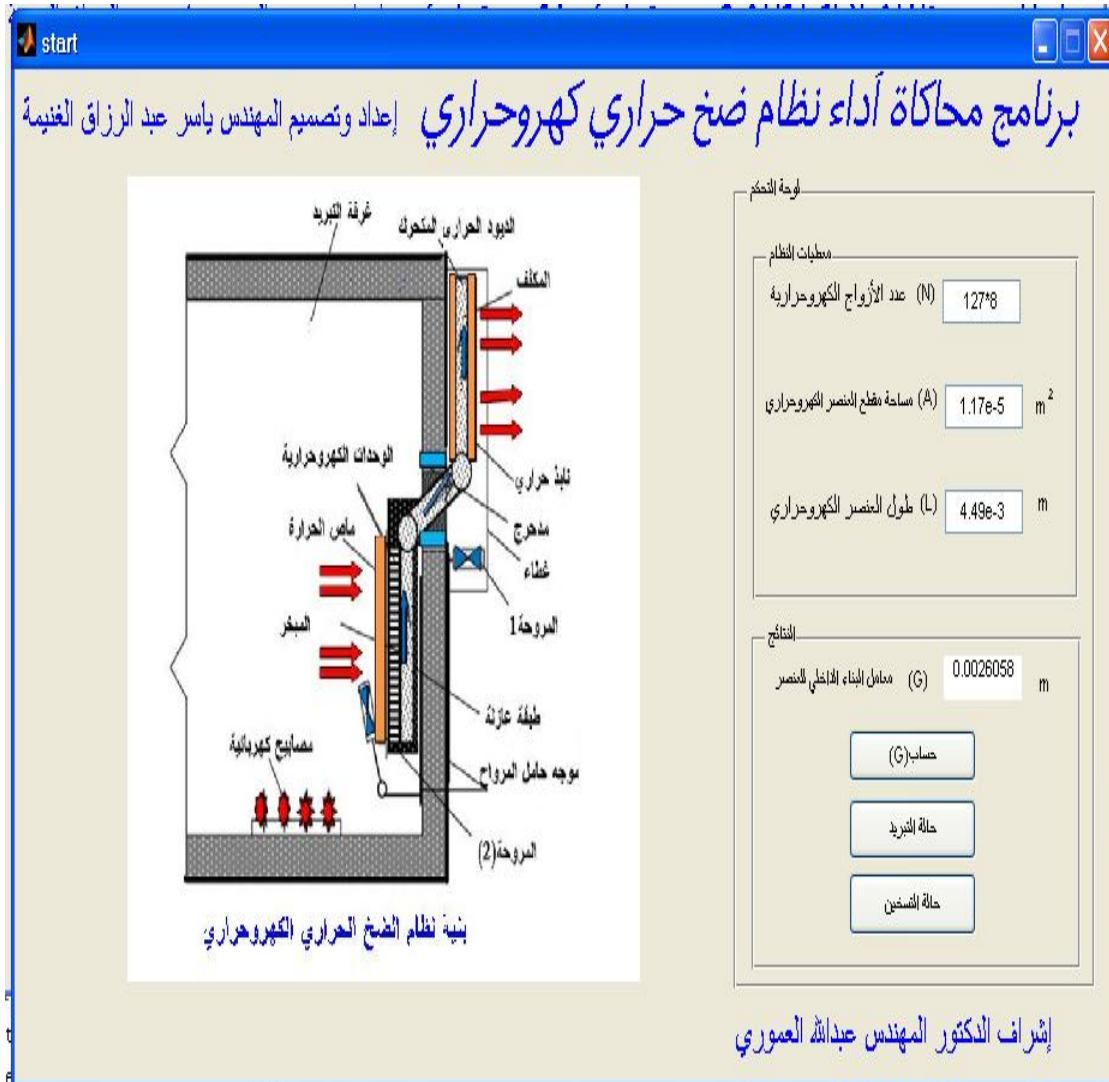
لبناء الخوارزمية التي توضح سير عمل برنامج محاكاة أداء النظام لدينا القيم المعلومة من أجل المحاكاة هي سعة التبريد Q_c في حالة التبريد والحرارة المنبذة Q_h في حالة التسخين، ولدنيا درجة حرارة الغرفة الداخلية T_{in} ودرجة حرارة الوسط المحيط T_a ، وهذه المعلومات غير كافية لحساب التيار الكهربائي أولحساب معامل الأداء COP لكن باستخدام المعادلات في الفقرة (6-4-1) بشكل مباشر في النموذج الحاسوبي نستطيع بناء الخوارزمية الحاكمة للنظام ضمن دائرة مغلقة في الشكل (6-3).

الشكل (3 - 6)



7-6- تصميم البرنامج الحاسوبي Design of The Computer Program

تم تصميم البرنامج الحاسوبي المستخدم (**بلغة 7.6 MATLAB**) في عملية محاكاة أداء النظام الجديد، وذلك في حالتي التبريد والتسخين وبنفس الشروط المستخدمة في الاختبار التجريبي ويظهر الشكل (6-4) الواجهة الرئيسية للبرنامج.



الشكل (6-4) يبين الواجهة الرئيسية للبرنامج المصمم للمحاكاة.

يبين الشكل (6-5) الواجهة الفرعية للبرنامج في حالة محاكاة حالة التبريد، حيث تُرست المحاكاة بالحالة الأولى بتغير كل من درجة حرارة الوسط الخارجي (المحيط) T_a ودرجة الحرارة الداخلية لغرفة التبريد T_{in} ، كمية الحمل الحراري المزال من الغرفة Q_c وقيمة المقاومة الحرارية لخاصة الحرارة الداخلي والتي تحسب حسابياً.

The screenshot shows a software window titled 'cooling' with a blue header. The main area is divided into two sections: 'معطيات الحالة' (State Data) and 'النتائج' (Results).

معطيات الحالة (State Data):

- درجة حرارة الوسط الخارجي (T_a): 24 °C
- درجة حرارة الوسط الداخلي (T_{in}): 21 °C
- الحمل الحراري عند الجهة الباردة (Q_c): 25 W
- المقاومة الحرارية لماس البرودة الداخلي (R_c): 0.133655 K / W

النتائج (Results):

There is a button labeled 'احسب' (Calculate) above the results table.

Parameter	Value	Unit
درجة حرارة الجهة الباردة (T_c)	17.6586	°C
المقاومة الحرارية للبيود الحراري (R_{hp})	0.0087985	$m^2 \cdot ^\circ C / W$
الحمل الحراري عند الجهة الساخنة (Q_h)	40.8742	W
معامل سيبك للمادة الكهروحرارية (a)	0.00021108	V / K
المقاومة النوعية للمادة الكهروحرارية (p)	1.0878e-005	Ohm.m
الإيصالية الحرارية للمادة الكهروحرارية (k)	1.6582	W / m.K
التيار الكهربائي المطبق (I)	1.0673	A
عامل الأداء للنظام (cop)	1.6618	

At the bottom, there are two buttons: 'رسم الخط البياني - 2-' and 'رسم الخط البياني - 1-'.

الشكل (6-5) يبين الواجهة الفرعية للبرنامج في حالة محاكاة التبريد.

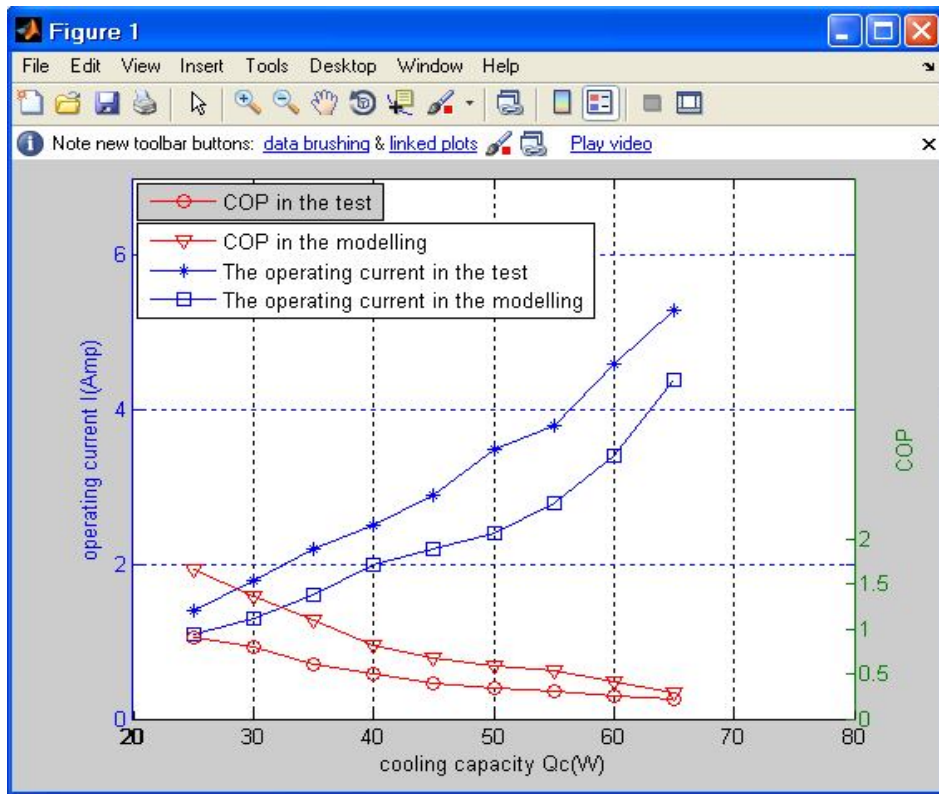
6-7-1- حالة التبريد Cooling Mode:

بواسطة البرنامج المصمم دُرست حالة محاكاة التبريد عن طريق إدخال متغيرات الحالة المدروسة، وهي كمية الحرارة المزالة من الغرفة Q_c ولكن بثبات درجتي الحرارة الداخلية T_{in} والوسط المحيط T_a ، وتسجيل النتائج في كل مرة (عدد الحالات المدروسة حوالي 10 حالات) في جدول لمقارنتها مع النتائج التجريبية التي أخذت من الاختبار التجريبي الذي أجري في أحد المختبرات العلمية بجامعة (University of Nottingham) البريطانية كما يُظهرها الجدول (6 - 2).

الجدول (6 - 2) يبين النتائج التجريبية وبجانبها قيم النمذجة- حالة التبريد- حالة أولى.

مسلسل	قيم ثابتة خلال التجربة ($T_{in} = 21^{\circ}C$, $T_a = 24^{\circ}C$)	قيم التيار الكهربائي المطبق { (I) ، A }		قيم معامل الأداء للنظام (COP)	
		النمذجة	التجربة	النمذجة	التجربة
(Q_c , W)	قيم الحمل الحراري				
1	20	0.87	1.2	1.99	0.95
2	25	1.1	1.4	1.66	0.9
3	30	1.3	1.7	1.4	0.8
4	35	1.6	2.1	1.1	0.6
5	40	2	2.4	0.8	0.5
6	45	2.3	2.8	0.65	0.4
7	50	2.4	3.4	0.7	0.35
8	55	2.8	3.7	0.55	0.3
9	60	3.4	4.6	0.41	0.25
10	65	4.5	5.3	0.26	0.25

يبين الشكل (6- 6) التمثيل البياني للنتائج التي تم الحصول عليها من خلال النمذجة والتجربة.



الشكل (6 - 6) يبين مقارنة بين القيم النظرية (النمذجة) والتجريبية لمعامل الأداء والتيار الكهربائي المطبق عند ساعات تبريد مختلفة في حالة التبريد.

في الحالة الثانية المدروسة عند محاكاة التبريد هي دراسة التغيرات الحاصلة عند

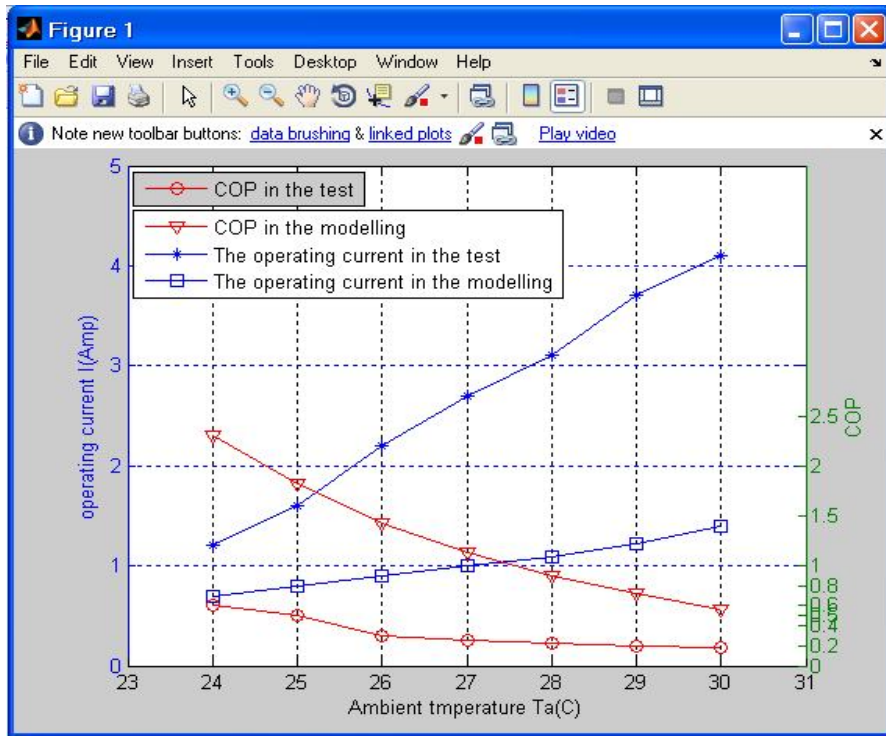
ثبات قيمة الحمل الحراري المزال Q_c ودرجة الحرارة الداخلية T_{in} مع تغير درجة حرارة

الوسط الخارجي T_a ، بواسطة البرنامج المصمم لعملية النمذجة، تم تنظيم جدول للنتائج التي تم الحصول عليها من خلال النمذجة، الجدول (3 - 6).

الجدول (3 - 6) يبين قيم النمذجة والقيم التجريبية في حالة التبريد - حالة ثانية.

مسلسل	قيم ثابتة خلال التجربة ($T_{in} = 21^{\circ}\text{C}$, $Q_c = 15\text{ W}$)	قيم التيار الكهربائي المطبق { (I) ، A }	قيم معامل الأداء للنظام (COP)
	قيم درجة حرارة الوسط الخارجي (T_a , $^{\circ}\text{C}$)	النمذجة	التجربة
1	23	0.6	1
2	24	0.7	1.2
3	25	0.8	1.6
4	26	0.9	2.2
5	27	1	2.6
6	28	1.1	3.1
7	29	1.3	3.7
8	30	1.5	4.1
9	31	2.2	4.4

وقد تم تمثيل النتائج الحاصلة في الجدول (3 - 6) بالشكل (6 - 7).



الشكل (6 - 7) يبين مقارنة بين القيم النظرية (النمذجة) والتجريبية لمعامل الأداء والتيار الكهربائي المطبق عند تغير درجة حرارة الوسط الخارجي في حالة التبريد.

2-7-6 حالة التسخين Heating Mode:

كما تم سابقاً بواسطة البرنامج المصمم دراسة حالة محاكاة التبريد، درست حالة محاكاة التسخين عن طريق البرنامج المصمم الفرعي المبين في الشكل (6 - 8)، تم ذلك بإدخال متغيرات الحالة المدروسة وهي كمية الحرارة المدخلة إلى الغرفة Q_h ولكن بثبات درجتي الحرارة الداخلية T_{in} والوسط الخارجي T_a ، وتسجيل النتائج في كل مرة (عدد الحالات المدروسة حوالي 10 حالات) في جدول لمقارنتها مع النتائج التجريبية كما يُظهرها الجدول (4 - 6).

معطيات الحالة

درجة حرارة الوسط الخارجي (T_a)	5	$^{\circ}\text{C}$
درجة حرارة الوسط الداخلي (T_{in})	18	$^{\circ}\text{C}$
الحمل الحراري عند الجهة الساخنة (Q_h)	110	W
المقاومة الحرارية لماس الحرارة الخارجي (R_h)	0.123681	K / W

النتائج

احسب

درجة حرارة الجهة الساخنة (T_h)	32.697	$^{\circ}\text{C}$
المقاومة الحرارية للبيود الحراري (R_{hp})	0.096784	$\text{m}^2 \cdot ^{\circ}\text{C} / \text{W}$
الحمل الحراري عند الجهة الباردة (Q_c)	4.5359	W
معامل سيبك للمادة الكهروحرارية (a)	0.00020928	V / K
المقاومة النوعية للمادة الكهروحرارية (p)	1.0602e-005	Ohm.m
الإيصالية الحرارية للمادة الكهروحرارية (k)	1.6763	W / m.K
التيار الكهربائي المطبق (I)	2.4041	A
عامل الأداء للنظام (cop)	1.0588	

رسم الخط البياني - 1- رسم الخط البياني - 2-

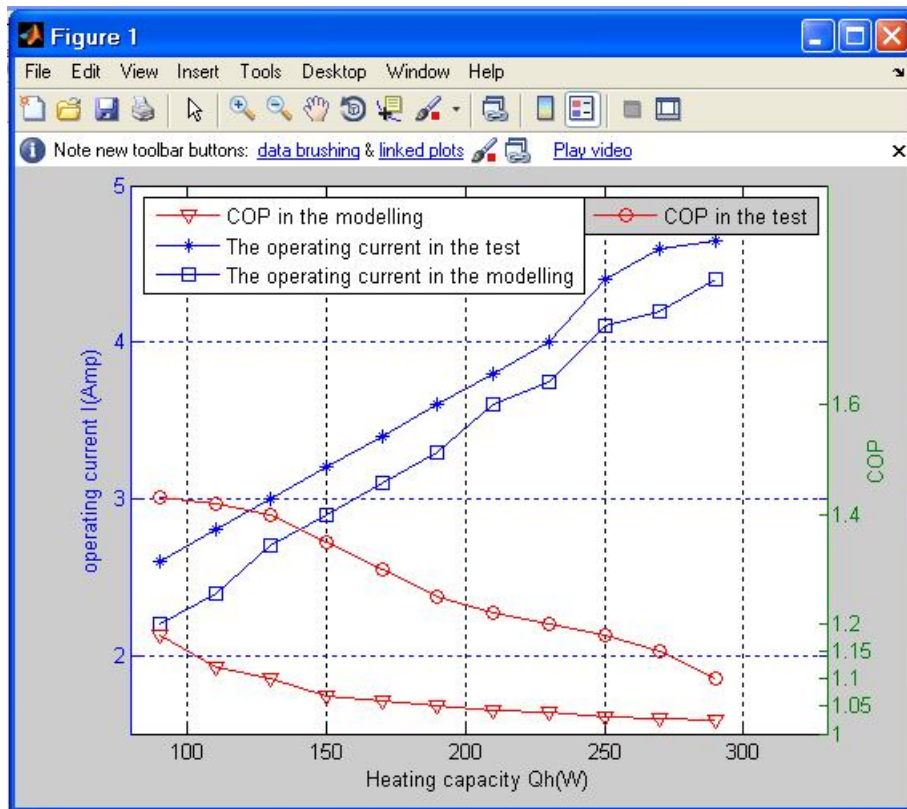
الشكل (6 - 8) يبين واجهة البرنامج المصمم في حالة محاكاة التسخين.

الجدول (4 - 6) يبين النتائج التجريبية وبجانبها قيم النمذجة حالة التسخين - حالة أولى.

قيم معامل الأداء	قيم التيار الكهربائي	قيم ثابتة خلال التجربة	مسلسل
------------------	----------------------	------------------------	-------

$(T_{in}=18^{\circ}\text{C}, T_a=5^{\circ}\text{C})$		المطبق { (I) ، A }		لنظام (COP)	
قيم الحمل الحراري (Q_h, W)		النمذجة	التجربة	النمذجة	التجربة
1	90	2.21	2.4	1.18	1.5
2	110	2.41	2.7	1.14	1.43
3	130	2.7	3.1	1.1	1.40
4	150	2.9	3.2	1.07	1.35
5	170	3.1	3.4	1.06	1.30
6	190	3.4	3.6	1.05	1.25
7	210	3.6	3.8	1.043	1.22
8	230	3.8	3.9	1.04	1.20
9	250	4	4.2	1.03	1.18
10	270	4.3	4.5	1.028	1.15

الشكل (6-9) يُظهر التمثيل البياني للنتائج الحاصلة، أي العلاقة بين سعة التسخين مع التيار المطبق ومعامل الأداء عند ثبات درجتي حرارة الوسط الخارجي والوسط الداخلي وتغير Q_h .



الشكل (6-9) يبين مقارنة بين القيم النظرية (النمذجة) والتجريبية لمعامل الأداء والتيار الكهربائي المطبق عند ساعات تسخينية مختلفة في حالة التسخين.

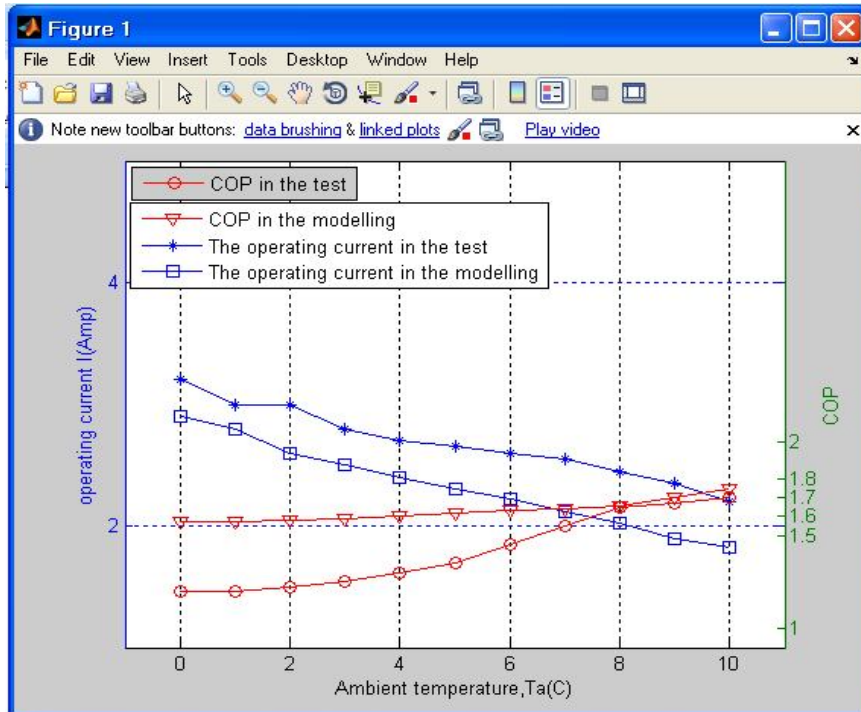
في الحالة الثانية المدروسة عند محاكاة التسخين هي دراسة التغيرات الحاصلة عند ثبات قيمة الحمل الحراري المزال Q_h ودرجة الحرارة الداخلية T_{in} مع تغير درجة حرارة

الوسط الخارجي T_a ، بواسطة البرنامج المصمم لعملية النمذجة وتم تنظيم جدول للنتائج التي تم الحصول عليها من خلال النمذجة والتجربة الجدول (6-5).

الجدول (6-5) يبين قيم النمذجة والقيم التجريبية في حالة التسخين - حالة ثانية.

مسلسل	قيم ثابتة في التجربة ($T_{in}=18^{\circ}\text{C}$, $Q_h=100\text{ W}$)	قيم التيار الكهربائي المطبق { (I) ، A }	قيم معامل الأداء للنظام (COP)
	قيم درجة حرارة الوسط الخارجي (T_a , $^{\circ}\text{C}$)	النمذجة	التجربة
1	0	2.8	3.2
2	1	2.75	3.3
3	2	2.6	2.9
4	3	2.5	2.7
5	4	2.4	2.65
6	5	2.3	2.60
7	6	2.22	2.55
8	7	2.12	2.45
9	8	2	2.35
10	9	1.9	2.25

يبين الشكل (6-10) التمثيل البياني للنتائج الموجودة في الجدول السابق



الشكل (6-10) يبين مقارنة بين القيم النظرية (النمذجة) والتجريبية لمعامل الأداء والتيار الكهربائي المطبق عند تغير درجة حرارة الوسط الخارجي في حالة التسخين.

6-8 - مقارنة نتائج المحاكاة مع النتائج التجريبية:

نتائج المحاكاة التي تم الحصول عليها عند ساعات تبريدية أو تسخينية مختلفة، وكذلك عند درجات حرارة خارجية مختلفة وتم مقارنتها مع النتائج التجريبية (اعتمدت النتائج التجريبية أثناء الدراسة على المرجع [12]) عند نفس شروط العمل لتحقيق المقارنة الصحيحة. وهذه المقارنات تظهر في المخططات البيانية التي من خلالها نرى أنّ نتائج النمذجة والنتائج التجريبية فيما يتعلق بـ COP والتيار الكهربائي I تأخذ نفس اتجاه الميلان وذلك عند شروط عمل متشابهة، مع وجود فروقات في القيم، فقيم COP في النمذجة (النظرية) هي دائماً أكبر من قيم COP التجريبية، بينما قيم التيار الكهربائي في النمذجة (النظري) هي دائماً أقل من القيم التجريبية للتيار الكهربائي المار، ويعود ذلك لعدد من العوامل تسهم في حدوث هذه الفوارق منها:

- 1- بسبب صعوبة حساب المقاومة الحرارية للنموذج الجديد للديود الحراري ذي البنية المعقدة، والتي تم تبسيطها باستخدام المعادلات التي تستخدم في الأنابيب الحرارية التقليدية، بينما النموذج الجديد (الديود الحراري) عولج كمثّل 11 ديود حراري، كل واحد منها بقطر 10 mm، وبالتالي قيمة المقاومة الحرارية التجريبية أكبر من قيمة المقاومة الحرارية المحسوبة نظرياً.
 - 2- المقاومات الحرارية للنواذب الحرارية المستخدمة في المحاكاة صممت نظرياً كمقاومات حرارية، بينما المقاومات الحرارية الفعلية أكبر من المقاومات المصممة للاستخدام في النمذجة والتي تتضمن عيوب التأسيس للمقاومة المتلامسة بسبب التوضع.
 - 3- المحاكاة تقترض قيم نظرية لمتغيرات العمل للوحدات الكهروحرارية أثناء العمل، بينما الوحدات الكهروحرارية المستخدمة في الاختبار التجريبي لها عادة تسامحات استخدام (صناعية).
 - 4- حدود ضبط النموذج وأخطاء الإجراءات والنمذجة.
- الأخطاء المتعلقة بـ (1 و 2) هي عوامل رئيسية، تسبب فروقات بين نتائج المحاكاة ونتائج التجربة، فقيم المقاومات الحرارية للديود الحراري والنواذب الحرارية المحسوبة أثناء النمذجة هي أصغر من قيمها التجريبية، وهذا يؤثر على درجات الحرارة للجهتين الباردة والساخنة، هي أصغر من قيمها في الاختبار التجريبي وهذا سيؤدي إلى أن معامل الأداء المحسوب في النمذجة COP سيكون أكبر من قيمته المحسوبة من نتائج التجربة وبينما التيار الكهربائي المار المحسوب في النمذجة سيكون أقل من قيمته في الاختبار، وهذا يوضح من خلال المعادلات.

■ الأخطاء المتعلقة بـ (3 و 4) تسبب أخطاء ذات تأثير محدود تسهم في فروقات ثانوية بين النتائج التجريبية ونتائج النمذجة.

أنّ COP يتأثر بشكل مباشر بدرجات الحرارة للجهتين الباردة والساخنة، استخدام هذه العوامل يتضمن بعض الأخطاء من استخدام المقاومة الحرارية.

تسهم عوامل التصحيح التي تضرب بالقيم التي تم الحصول عليها بالنمذجة بأخطاء دقة أكبر لهذه القيم، للحصول على قيم دقيقة لمعامل الأداء والتيار الكهربائي المطبق من خلال معادلاتهما السابقة.

الفصل السابع

النتائج والتوصيات

The Results and Recommendations

7-1- نتائج الدراسة التحليلية النظرية:

1- تم تحديد العمل المثالي باستخدام طريقة الحلول الحديثة للتتابع (Method of Solving for The Extremes of Function) عند دراسة المبرّدات الكهروحرارية الثنائية بتصميمها الطراز الهرمي والمتوازي المستطيلات. النتائج أظهرت إنّ القيمة المثالية المحددة لـ X نسبة عدد الأزواج الكهروحرارية بين الطبقتين في التصميم الهرمي، و لـ t نسبة التيار الكهربائي المار في الطبقتين في التصميم الثاني هي بحدود ($2.5 \div 3.5$)، إذا المواد الكهروحرارية التجارية المستخدمة عُولجت بكثافة، وكما وجد أنّ أداء التبريد المثالي للمبرّدات الكهروحرارية الثنائية الطبقات بتصميمها هو نفسه تقريباً، بالإضافة لملاحظة أنّ الفارق الحراري الأعظمي (حوالي 180 K) المحدّد للمبرّد الكهروحراري الثنائي الطبقات الهرمي يكون أكبر بكثير من الفارق الحراري الذي يحدثه المبرّد الكهروحراري الأحادي الطبقة (حوالي 80 K).

2- عند إجراء المقارنة بين نظامي التبريد الكهروحراري الأحادي والثنائي، أظهرت النتائج أنّه عندما تكون نسبة درجة حرارة الجهة الساخنة T_h إلى درجة حرارة الجهة الباردة T_c (قيمة النسبة $\theta = T_h / T_c$) ذات قيمة صغيرة، يكون COP_{max} لنظام المبرّد الكهروحراري الثنائي الطبقات ذو قيمة أعلى من قيمته للنظام الأحادي، لكن معدل التبريد الأعظمي من جهة ثانية أصغر من نظام المبرّد الكهروحراري الأحادي الطبقة. هنا الأكثر ملائمة للاستخدام في هذه الحالة هو نظام التبريد الكهروحراري الأحادي الطبقة.

3- الدراسة أظهرت أيضاً عندما تكون نسبة درجة حرارة الجهة الساخنة إلى درجة حرارة الجهة الباردة ذات قيمة كبيرة، يكون كل من COP_{max} ومعدل التبريد الأعظمي لنظام التبريد الكهروحراري الثنائي الطبقة أكبر من قيمتهما عند نظام التبريد الكهروحراري الأحادي، وفي هذه الحالة النظام الثنائي هو الأفضل في الاستخدام، وبالإضافة إلى أنّ العلاقة بين COP ومعدل التبريد للنظام الثنائي نُوقشت وتم استنتاج المجال المثالي لبعض العوامل المهمة مثل COP ، معدل التبريد الأعظمي اللابعد r ، ومعامل البناء الداخلي X وتحديدها بالعلاقات اللازمة. إنّ النتائج الحاصلة هنا يمكن أن تفيد وتقدم بعض المعلومات المفيدة من أجل الحصول على أفضل تصميم وعمل لنظام مبرّد كهروحراري ثنائي الطبقات.

7-2- نتائج دراسة محاكاة أداء النظام الهجين الحاسوبية:

■ إنّ النتائج التجريبية والنتائج التي تم الحصول عليها بالنمذجة عند محاكاة أداء النظام المدروس، كان لهما نفس اتجاه الميلان عند رسم المنحني الخاص بقيم كل حالة مع بعض الفروقات، مما يعطي صحة ودقة لنتائج عملية المحاكاة الرياضية الحاسوبية للنظام الجديد.

■ إنّ الاختلاف بين النتائج بالحالتين يعود لسببين أساسيين:

■ طريقة حساب المقاومة الحرارية للديود الحراري المستخدم والتي تم تبسيطها في عملية النمذجة، بينما هي واقعياً صعبة الحساب بسبب التعقيد في تركيب الديود الحراري ضمن النموذج التجريبي.

■ الاختلاف بين النواذب الحرارية الفعلية والتصميم النظري لها في عملية النمذجة، وهذا يسبب اختلاف النتائج المحسوبة نظرياً في النمذجة عن القيم التجريبية.

■ الأسباب السابقة مجتمعة تسبب فروقاً واضحة أثناء حساب درجتي الحرارة للجهتين الباردة والساخنة، وبالتالي للمتغيرات المتعلقة بهما كعامل الأداء والتيار الكهربائي المطبق في النظام الجديد، وهذا يظهر في الأشكال البيانية ذوات الأرقام (6-6) و (6-7) و (6-9) و (6-10)

■ عوامل التصحيح تسهم في تقليل الفوارق بين النتائج الحاصلة مما يعطي دقة وصحة أكبر لعملية و لنتائج النمذجة.

7-3- التوصيات:

بالنسبة للتوصيات فإننا نوصي بالتالي:

- (1) - إجراء أبحاث مستقبلية تهتم بتحسين أداء النظام الجديد عن طريقة إيجاد آلية مطوّرة مع تقنية الديود الحراري (كاستخدام مواد متغيرة الطور)، لزيادة فعالية انتقال الحرارة للنظام.
- (2) - إجراء أبحاث أخرى حول تقنية التبريد الكهروحراري، كونها إحدى البدائل النظيفة و الأقل ضرراً بالبيئة.

الملحق -1-

1- نماذج من الوحدات الكهروحرارية:

✗ النموذج: AC-027، الثمن (ليرة سورية 10293 ≈ \$ 219).



الشكل (1-1) يبين الوحدة الكهروحرارية من النوع AC-027.

- السعة التبريدية: 27 W عند فرق حراري 0°C درجة مئوية.
- أهم الاستخدامات: تبريد الأجهزة الإلكترونية الصغيرة المغلقة، المبرّدات الصغيرة.
- التوصيف: هو المبرّد الهوائي الأصغر، تغذيته 12 VDC، صنفه NEMA 12 ويمكن أن يعدّل وفق المتطلبات المرغوبة ليناسب الصنف 4 NEMA، استهلاك طاقي منخفض مما يجعله منافساً للمبرّدات الهوائية الأخرى.

النم



وذج: AC-046، الثمن (ليرة سورية 14053 ≈ \$ 299).



الشكل (1-2) يبين الوحدة الكهروحرارية من النوع AC-046.

- السعة التبريدية: 46 W عند فرق حراري مساوٍ للصفر.
- أهم الاستخدامات: تبريد الأجهزة الإلكترونية الصغيرة والمتوسطة القياس، المبرّدات المحمولة، تطبيقات علم الأحياء.

■ التوصيف: هذا المبرّد ذو تغذية VDC 24 وله تصنيف NEMA 12, NEMA 4 ويستخدم أيضاً وحدتين كهروحراريتين ومزود بنوابذ حراريّة ذات كثافة عالية لجعله ذا أداء مثالي وتكلفة منخفضة، الاستهلاك الطاقّي المنخفض يجعله ينافس غيره من النماذج.

✗ النموذج: **AC - 073**، الثمن (ليرة سورية 23453 ≈ \$ 499).



الشكل (1 - 3) يبين النموذج AC-073.

■ السعة التبريدية: 73 W عند فرق حراري مساوٍ للصفر.

■ أهم الاستخدامات: تبريد الأجهزة الإلكترونية المغلقة متوسطة القياس - تجهيزات علم طب الأحياء (Biomedical).

■ التوصيف: المبرّد ذو تغذية VDC 24، وتصنيف NEMA 12، ويمكن أن يناسب NEMA 4، يستخدم وحدتين كهروحراريتين مع ماص (نابذ) حراري يحوي زعانف بكثافة عالية تجعله يعمل بأداء عالٍ وخاصة في أجهزة إصدار الإشارات الإذاعية.

✗ النموذج: **AC - 162**، الثمن (ليرة سورية 31866 ≈ \$ 678).



الشكل (1 - 4) يبين النموذج AC-162.

- السعة التبريدية: 162 W عند فارق حراري مساوٍ للصفر.
- أهم الاستخدامات: في المبرّدات والأجهزة المستخدمة في علم الأحياء عندما يُطلب تبريداً بدرجة حرارة قريبة من درجة حرارة التجمد، تبريد الإلكترونيات المغلقة.
- التوصيف: يحوي هذا النموذج ستة وحدات كهروحرارية، مواد رابطة، نوابذ حرارية مزعنة على الجهتين الباردة والساخنة، وهذا الأمر يجعله ذا فعالية عالية، النابذ الحراري المزعنف على الجهة الباردة يحافظ على فرق حراري بين الهواء الداخلي والجهة الباردة أقل ما يمكن، يمكن القول مفيد خاصة للتبريد عند درجات حرارة قريبة من الصفر، (NEMA 12 , NEMA 4 , 24 VDC).

❑ النموذج: **AC - 194** ، الثمن (ليرة سورية 38117 ≈ \$ 811).



الشكل (5-1) يبين النموذج AC-194.

- السعة التبريدية: 194 W عند فارق حراري مساوٍ 0°C .
- أهم الاستخدامات: مناسب لتبريد أجهزة الاتصالات اللاسلكية ، حجر البطاريات و المبرّدات. هذا المبرّد ذو تغذية 48 VDC ، وهو من فئة NEMA 4 ، فيه مروحة الجهة الساخنة مضادة للرطوبة والنوابذ الحرارية مقاومة للصداً.

2- بعض المنتجات التي تستخدم نظام تبريد كهروحراري:



(b)



(a)

الشكل (a-1-2) يظهر مبرد كهروحراري يحافظ على $T_c = (2 \div 8) ^\circ C$ لمدة 4 أيام للاستخدامات الطبية، بينما الشكل (b) يظهر مبرداً كهروحرارياً مخبرياً.

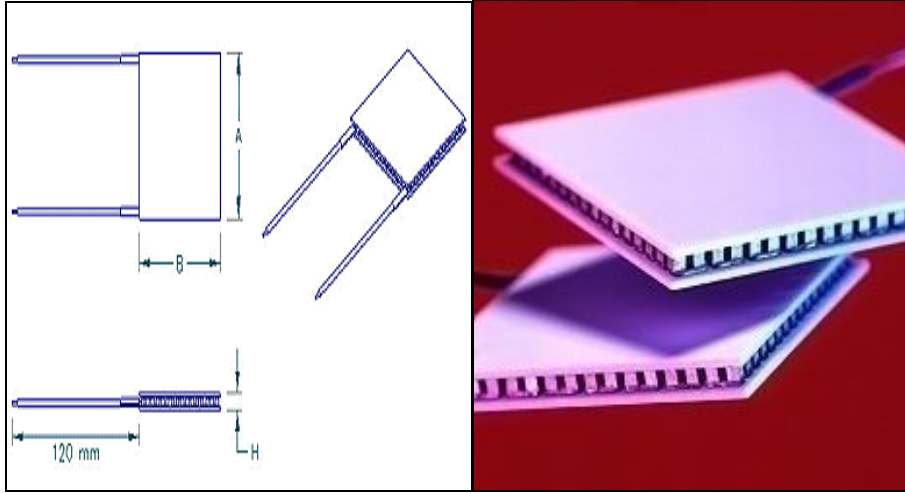


الشكل (2-2) يظهر مبرد كهروحراري خاص للرحلات لحفظ الأطعمة والمشروبات. الشكل (3-2) يبين تطبيق طبي للكهروحرارية (Heat-transfer control of thermoelectric actuator and its medical application) صمم في جامعة طوكيو (Heat transfer control lab, Tohoku University, Japan)

3- أنواع الوحدات الكهروحرارية:

1-3- الوحدات الكهروحرارية ذات درجة الحرارة العالية:

هي مخصصة للعمل حتى 200°C بينما غيرها مصمم على أساس تحمل حتى 80°C ، نرى جانباً صوراً توضيحية لهذه النماذج وفي الأسفل جدول يبين أهم الأنواع.

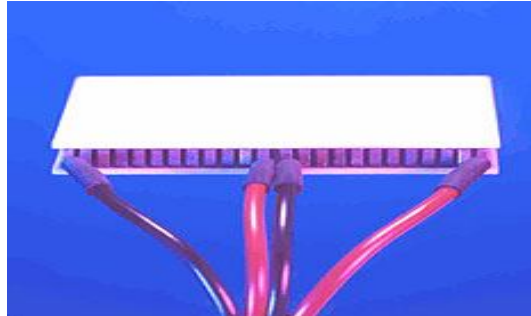


الشكل (3-1) يبين صوراً لوحات كهروحرارية عالية التحمل للحرارة.

الجدول (3-1) يبين مواصفات الوحدات الكهروحرارية العالية التحمل.

Product	I_{\max} (A)	Q_{\max} (W)	V_{\max} (V)	ΔT_{\max} ($^{\circ}\text{C}$)	A (mm)	B (mm)	H (mm)
VT-127-1-1.3-71	3.6	36	16.1	71	30	30	3.6
VT-127-1.4-1.15-71	8	80	16.1	71	40	40	3.4
VT-127-1.4-1.5-72	6.1	62	16.3	72	40	40	3.9
VT-199-1.4-0.8	11.3	172	24.6	67	40	40	3.2
V T-199-1.4-1.15	7.9	120	24.6	69	40	40	3.4
V T-199-1.4-1.5	6.1	94	24.9	70	40	40	3.9

3-2- ربط الوحدات الكهروحرارية على التسلسل - على التفرع:

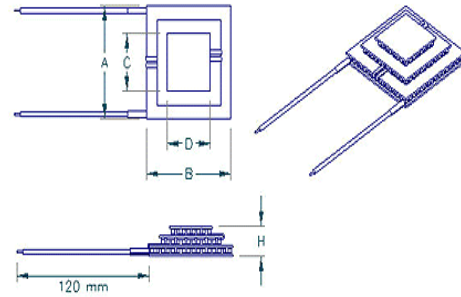
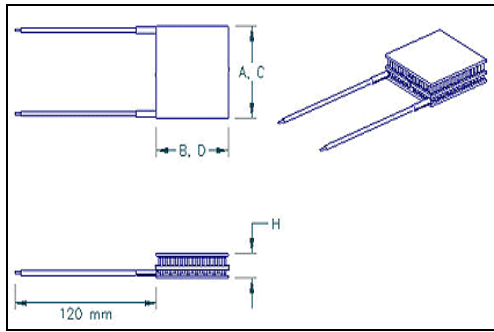


الشكل (3-2) يبين كيفية الربط بين الوحدات الكهروحرارية على التسلسل.

الجدول (3 - 2) يبين مواصفات الوحدات الكهروحرارية حسب نوع الربط بينهما.

Product	T_{\max} (A)	Q_{\max} (W)	V_{\max} (V)	ΔT_{\max} ($^{\circ}\text{C}$)	A (mm)	B (mm)	C (mm)	D (mm)	H (mm)
SP-262-1.0-2.5	Ser 1.9 Par 3.7	36.3	Ser 31.8 par 15.9	72	40	40	40	40	4.8
SP-262-1.0-1.5	Ser 3.1 Par 6.2	61	Ser 31.4 Par 15.4	70	40	40	40	40	4.8
SP-262-1.0-1.3	Ser 3.6 Par 7.2	70	Ser 31.4 Par 15.7	69	40	40	40	40	4.6

3-3- الوحدات الكهروحرارية متعددة الطبقات:



نظام

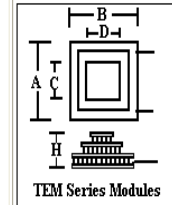
متعدد الطبقات ذو التصميم الهرمي. نظام ثنائي الطبقات ذو التصميم متوازي المستطيلات.

الشكل (3-3) يبين تصاميم للأنظمة الكهروحرارية متعددة الطبقات.

الجدول (3-3) يبين مواصفات الوحدات الكهروحرارية متعددة الطبقات.

TEM Series (Multi-stage) Thermoelectric Module

وحدات كهروحرارية متعددة الطبقات



رمز الوحدة الكهروحرارية	هذه المعلومات عند درجة حرارة للجبهة الساخنة $T_h = 27^\circ\text{C}$				Dimension in mm		
	$I_{\max}(\text{amps})$	$DT_{\max}(^\circ\text{C})$	$V_{\max}(\text{volts})$	$Q_{\max}(\text{watts})$	AxB	CxD	H
TEC2-31-17-04	4.0	88	3.8	6.0	20x20	15x15	7.4
TEC2-71-31-04	4.2	88	8.6	12.6	30x30	20x20	7.4
TEC2-127-63-06	6.5	88	15.0	35.60	40x40	40x40	7.5
TEC3-71-31-17-03	3.6	98	7.8	6.6	30x30	15x15	10.6
TEC3-127-71-31-03	3.5	97	15.0	12.5	40x40	20x20	10.6
TEC4-127-71-31-17-03	3.0	112	15.00	3.4	40x40	15x15	13.9

الجدول (3- 4) يبين نماذج الوحدات الكهروحرارية حسب الشركات المنتجة لها.

النموذج	بارامترات الاداء				الابعاد الرئيسية					#	الشركة المنتجة
	ΔT ($^\circ\text{C}$)	Q_{\max} (W)	I_{\max} (A)	V_{\max} (V)	Base Width (mm)	Base Length (mm)	Top Width (mm)	Top Length (mm)	Height (mm)		
DT12-2.5	74	23	2.5	14.7	30.0	34.0	30.0	30.0	4.0	1	Marlow
DT12-6	74	54	5.6	14.7	40.0	44.7	40.0	40.0	4.0	1	Marlow
DT3-2.5	73	6	2.5	3.6	16.0	20.5	16.0	16.0	4.0	1	Marlow
DT6-4	73	20	3.7	8.2	23.5	28.0	23.5	23.5	3.4	1	Marlow
MI1010T	67	0.47	1	0.8	3.9	3.9	3.9	3.9	2.4	1	Marlow
MI1022T	69	4	1.8	3.5	8.7	8.8	8.7	8.7	2.1	1	Marlow
NL1010T	67	0.47	1	0.8	3.9	3.9	3.9	3.9	2.4	1	Marlow
RC12-4	74	36	3.7	14.7	30.0	34.0	30.0	30.0	3.4	1	Marlow
SP1507	64	5.4	1.8	4.7	14.3	11.2	11.2	11.2	2.0	1	Marlow
HWD0500-4040	58	513	60	15.2	44	40	40	40	1.2	1	Marlow
CP 1.4-7-10L	68	1.8	3.9	0.85	9.4	9.4	9.4	9.4	4.7	1	Melcor
CP 1.0-71-06L	67	14.4	3.0	8.6	23	23	23	23	3.6	1	Melcor
CP 2-31-	67	29.3	14.	3.8	30	30	30	30	4.6	1	Melcor

CP 2-127-06L	67	120	14.0	15.4	62	62	62	62	4.6	1	Melcor
930-7	66	1.8	3.7	0.8	9.6	9.6	9.6	9.6	4.7	1	TECA
940-7	66	6.8	14.0	0.8	14.6	14.6	14.6	14.6	4.6	1	TECA
950-7	66	3.0	6.0	0.8	9.6	9.6	9.6	9.6	3.8	1	TECA
960-127	66	26.0	3.0	15.4	30.0	30.0	30.0	30.0	3.6	1	TECA
TE-7-1.0-2.5	72	1	1.9	0.9	8	8	8	8	4.8	1	TEtech
TE-8-0.45-1.3	69	0.4	0.7	1	5	3.4	3.4	3.4	2.3	1	TEtech
TE-32-2.8-1.5	70	60	24.4	4	40	40	40	40	4	1	TEtech
TE-83-1.0-1.3	69	22.5	3.6	10.3	22	19	22	19	3.6	1	TEtech
MI2011T	87	0.47	0.7	1.9	0.26	0.26	0.15	0.15	0.16	2	Marlow
2 CP 085 100-31-20	77	9.74	5.9	3.8	23	26	30	30	10.7	2	Melcor
TE-2-(11-4)-1.5	93	0.4	1	1.3	6	4	2	4	< 6.7	2	TEtech
MI3021T	109	0.33	1.3	1.9	0.26	0.26	0.1	0.1	0.212	3	Marlow
3 CP 040 065-127-71-31	96	6.48	1.8	15.4	15	15	30	30	9.5	3	Melcor
TE-3-(31-11-4)-1.5	109	0.4	0.9	3.5	10	8	2	4	< 9.3	3	TEtech

الملحق-2-

■ بطاقة تعريف بوسيط التبريد المستخدم (n- pentane):

2- 1- بطاقة التعريف الكيميائية (Chemical Identification):

CHEMINFO Record Number	رقم التسجيل	98
CCOHS Chemical Name (Canadian Centre for Occupational Health and Safety)	الاسم الكيميائي بـ	n-Pentane
Synonyms	المرادفات	Amyl hydride Normal pentane Pentane (non-specific name)
Chemical Name French		Pentane normal
CAS Registry Number		109-66-0
UN/NA Number(s):		1265
RTECS Number(s): Registry of Toxic Effects of Chemical Substances		RZ9450000
EU EINECS/ELINCS Number		203-692-4
التصنيف الكيميائي Chemical Family:	Saturated aliphatic hydrocarbon / paraffin / alkane / pentane isomer	
Molecular Formula	الصيغة المختصرة	C ₅ -H ₁₂
Structural Formula	الصيغة المفصلة	CH ₃ -(CH ₂) ₃ -CH ₃

2-2 - الخصائص الكيميائية والفيزيائية لوسيط التبريد (n-pentane):

Molecular Weight	الوزن المولي	72.15 g / mol
(Conversion Factor): عوامل التحويل ، ppm (part per million) 1 ppm = 2.94 mg/m ³ ; 1 mg/m ³ = 0.34 ppm at 25 °C (calculated)		
Physical state	الحالة الفيزيائية	سائل / لا لون له
Melting Point	نقطة الذوبان	-130 °C (-202 deg F)
Boiling Point	نقطة التبخر	36 °C (97 deg F)
Relative Density (Specific Gravity):	الكثافة النسبية	0.626 g/cm ³ at 20 °C (water = 1)
Solubility in Water	قابلية الانحلال بالماء	عملياً غير قابل للانحلال (38 mg/L at 25 °C)
Solubility in Other Liquids:	قابلية الانحلال في السوائل الأخرى	(acetone و)

		قابل للمزج (Ethanol) مع) وذواتحالية متغيرة في المذيبات العضوية اللاقطبية (chloroform, Toluene) (methylene chloride) وإتحالية ضعيفة أو عديم الاحتلالية في المذيبات كـالـ (methanol) القطبية
Coefficient of oil/Water Distribution (Partition Coefficient)	معامل التقسيم	Log P(oct) = 3.39
pH Value	قيمة الـ PH	-
Viscosity-Dynamic	اللزوجة الديناميكية	+0.23 mPa.s (0.23 centipoises) at 20 °C +0.22 mPa.s (0.22 centipoises) at 25 °C
Viscosity-Kinematic	اللزوجة الستاتكية	0.37 mm ² /s (0.37 centistokes) at 20 °C (calculated)
Saybolt Universal Viscosity	اللزوجة بمقياس سيبولت يونفرسال	26.8 Saybolt Universal Seconds at 37.8 °C (100 deg F) (calculated)
Surface Tension	التوتر السطحي	+16 mN/m (16 dynes/cm) at 20 °C +15.45 mN/m (15.45 dynes/cm) at 25 °C (calculated)
Vapour Density	كثافة البخار	2.48 (air = 1) (calculated)
Vapour Pressure	ضغط البخار	+65.1 kPa (488 mm Hg) at 20 °C +68.5 kPa (514 mm Hg) at 25 °C
Vapour Pressure at 50 °C	ضغط البخار عند 50 °C	164 kPa (1229 mm Hg) (calculated)
Saturation Vapour Concentration	تركيز البخار المشبع	642000 ppm (64.2%) at 20 °C; 676000 ppm (67.6%) at 25 °C

		(calculated)
Evaporation Rate	معدل التبخر	12.4 -13 (butyl acetate = 1)

الرموز و المصطلحات المستخدمة

الرمز	واحدة القياس	المصطلح الإنكليزي	المصطلح العربي
$\varepsilon = \text{COP}$	----	Coefficient of performance	معامل الأداء
$m\varepsilon$	-----	Coefficient of performance at maximum rate of cooling	معامل الأداء عند معدل تبريد أعظمي
COP_{\max}	-----	Maximum coefficient of Performance	القيمة الأعظمية لمعامل الأداء
r	-----	Dimensionless rate of cooling of pair semiconductor	معدل التبريد اللابعدي للزوج من أنصاف النواقل
r_m	-----	Dimensionless rate of cooling at cop_{\max}	معدل التبريد اللابعدي عند معامل أداء أعظمي
r_{\max}	-----	Maximum dimensionless rate of cooling of pair semiconductor	القيمة الأعظمية لمعدل التبريد اللابعدي لزوج أنصاف النواقل
c_p	J / kg. K	Specific heat at constant pressure	الحرارة النوعية عند ضغط ثابت
k	W/ m.K	Thermal conductivity of thermoelectric material	الإيصالية الحرارية للمادة الكهروحرارية
k	W /K	Thermal conductance of pair TE	الناقلية الحرارية للزوج الكهروحراري
I	A	Electric current	التيار الكهربائي المار
j	-----	Dimensionless electric current	التيار الكهربائي اللابعدي
j_{\max}	-----	Maximum value of dimensionless electric current	القيمة الأعظمية للتيار اللابعدي
j_{\min}	-----	Minimum value of dimensional electric current	القيمة الصغرى للتيار اللابعدي
A	m^2	Cross-section area of thermoelements	مساحة مقطع العناصر الحرارية

L	m	Length of thermoelement	طول العنصر الحراري
G	m	Structural parameter of thermoelement	معامل البناء للعنصر الحراري
q_i ($i = c_1, c_2, h_1, h_2$)		Dimensionless thermal flow	التدفق الحراري اللابعدي
Q_c	W	Cooling capacity of TE cooler	سعة التبريد للمبرّد الكهروحراري
Q_h	W	Heat rejection of TE Cooler	الحرارة المنبوذة من المبرّد الكهروحراري
Q_m	W	Heat flow between two stages	التدفق الحراري بين طبقتي المبرّد
P	W	Total input power of TE cooler	الطاقة الداخلة الكلية (المستهلكة) للمبرّد
P	_____	Dimensionless power input	الطاقة الداخلة اللابعدية
N_0	_____	Total number of semiconductor pairs	العدد الكلي للأزواج نصف الناقلة
m	_____	Number of semiconductor pairs in the second stage	عدد الأزواج نصف الناقلة في الطبقة الثانية
n	_____	Number of semiconductor pairs in the first stage	عدد الأزواج نصف الناقلة في الطبقة الأولى
T_c	K	Cold side temperature of cooler	درجة حرارة الجهة الباردة للمبرّد
T_h	K	Hot side temperature	درجة حرارة الجهة الساخنة للمبرّد
T_m	K	Medium temperature	درجة الحرارة المتوسطة
T_{in}	K	Inner temperature	درجة الحرارة الداخلية (الحيز المبرّد)
$\Theta = T_h / T_c$	_____	Dimensionless rate of temperature	النسبة اللابعدية لدرجات الحرارة
Z	K^{-1}	Figure of merit	مميزة الشكل (رقم الاستحقاق)
R	Ω	Electric resistance	المقاومة الكهربائية للعنصر الحراري
R_c	K / W	Inside heat sink thermal resistance	المقاومة الحرارية للمبادل الحراري الداخلي
R_h	K / W	Outside heat sink thermal resistance	المقاومة الحرارية للمبادل الحراري الخارجي
R_{hp}	$m^2.K / W$	Thermal resistance of thermal diode	المقاومة الحرارية للديود الحراري
$X = m/n$	-----	Ratio of number of TE pair between stages	نسبة عدد الأزواج في الطبقة الأولى إلى الثانية
t	-----	Ratio of electric current between stages	نسبة التيار الكهربائي المار بين الطبقتين
π_{PN}	V	Peltier coefficient at the junction of Materials P and N	معامل بيلتييه للوصلة
α	V/ K	Seebeck coefficient	معامل سيبك
E_{PN}	V	Seebeck- Electromotive force	القوة المحركة الكهربائية - قوة سيبك

ρ	$\Omega. m$	Electric resistivity	المقاومة الكهربائية النوعية
τ	V/ K	Thomson coefficient	معامل طومسون
V	m^3	Volume	الحجم
T_a	K	Ambient temperature	درجة حرارة الوسط الخارجي

References:

- [1] AGWU A.G.; RUTHERFORD W.I.; WESSAM E.; SANKOWSKI B.R, 2009 -**Assessment of Thermoelectric Module with Nanofluid Heat Exchanger**. *Applied Thermal Engineering*, **29**, p491-500.
- [2] ASTRAIN D.; VIAN J.G.; ALBIZUA J.,2005-**Computational Model for Refrigerators Based on Peltier Effect Application**. *Applied Thermal Engineering*,**25**, p 3149-3162.
- [3] CHENG Y.H.;SHIH C., 2006-**Maximizing the Cooling Capacity and COP of Two-Stage Thermoelectric Coolers Through Genetic Algorithm**.*Applied Thermal Engineering*,**26**, P 937–947.
- [4] FRANCIS R., 2006 - **Commercialization of Thermoelectric Technology**. GM Power train ,General Motors Corporation,p 04.1-04.9.
- [5] GONCALVES L.; ROCHA J.G.; COUTO C.; ALPUIM P.; ROWE D.M., 2006 - **On Chip Thermoelectric Microcoolers**. *MicroMechanics Europe Workshop* , 3÷5 September 2006, Southampton, UK ,p53-56.
- [6] GROMOV G., 2002 -**Thermoelectric Cooling System Modules**. RMT. Ltd, 53 Leninskij prosp, Moscow 119991 Russia, p1-9.
- [7] HAGENS H.A.; GANZEVLES F.L.;GROOTEN M.H.,2007- **Air Heat Exchangers with Long Heat Pipes: Experiments and Predictions**. *Applied Thermal Engineering*,**27**,p2426-2434.
- [8] HUANG B.J.; CHEN C.J.; DUANG C.L., 2000-**A Design Method For a Thermoelectric Cooler**. *Int J Refrigeration*, **23**, 208-218.

- [9]Marlow Industries , INC[®], 1998 -**Thermoelectric Cooling Systems - Design Guide**. 10451 Vista Park Road, Dallas T X 75238-1645,USA.P1-23.
- [10] NOLAS G.S.; SHARP J.; GOLDSMID H.J., 2001-**Thermoelectrics: Basic Principles and New Materials Development**. Berlin.
- [11] PALACIOS R.; ARENAS A.; PECHARROMAN R.R.;PAGOLA F.L.,2009-**Analytical Procedure to Obtain Internal Parameters From Performance Curves of Commercial Thermoelectric Modules**. *Applied Thermal Engineering* ,29, p3501–3505.
- [12] RIFFAT S.B.;WILSON R.,2006- **Performance Simulation and Experimental Testing of a Novel Thermoelectric Heat Pump System**. *Applied Thermal Engineering*,26,P494-501.
- [13] STOCKHOLM J.G., 1995- **Modeling of Thermoelectric Cooling Systems**, In: **CRC Handbook of Thermoelectrics**. New York, CRC Press,p 677-683.
- [14] WEBB R.L.; GILLEY M.D., 1998- **Advanced Heat Exchange Technology For Thermoelectric Cooling**. *Journal of Electric Packaging*, 120, p98-105.
- [15] WWW. WEBSITE.,2000 -**Thermoelectric Cooling** -The Basics ,P1-3.
- [16] YAMASHITA O.; ODAHARA H.;OCHI T.,2007-**Dependence of Seebeck Coefficient on a Load Resistance and Energy Conversion Efficiency in a Thermoelectric Composite**. *Materials Research Bulletin* ,42, P1785–1803.
- [17] YANG B., 2007- **Thermoelectric Technology Assessment**. Department of Mechanical Engineering, University of Maryland at College Park, College Park, MD 20742, P 3.
- [18] YANG B., 2007-**Thermoelectric Technology Assessment**. Department of Mechanical Engineering, University of Maryland at College Park, College Park, MD 20742, P128-132.

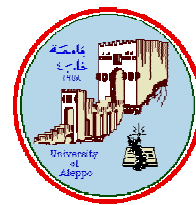
19- الكنج راتب محمد، 1999- آلات التبريد. مديرية الكتب والمطبوعات الجامعية-

جامعة حلب، 309 صفحة.

20- العموري عبد الله، حمّاد محمد، 2007 - آلات التبريد.مديرية الكتب والمطبوعات

الجامعية- جامعة حلب، 602 صفحة.

**Syrian Arab Republic
Ministry of High Education
University of Aleppo-Faculty of Mechanical Engineering
Department of Applied Mechanical**



Comparison Between The Performance Characteristics of Single- and Two- Stage Thermoelectric Refrigeration Systems

A Dissertation Presented For the Master in Mechanical Engineering

**Candidate
Eng. Yasser Abdalrazzak al- Ghanimeh**

Academic Year 2009 / 2010

Syrian Arab Republic
Ministry of High Education
University of Aleppo-Faculty of Mechanical Engineering
Department of Applied Mechanical



Comparison Between The Performance Characteristics of Single- and Two-Stage Thermoelectric Refrigeration Systems

A Dissertation Presented For the Master in Mechanical Engineering

Supervise by
Dr. Abdullah al -Amouri
Department Power Engineering
Faculty of Mechanical Engineering - University of Aleppo

Candidate
Eng. Yasser Abdalrazzak al- Ghanimeh

Academic Year 2009 / 2010

Certification

I Certify that the work described in this thesis "**Comparison Between The Performance Characteristics of Single- and Two- Stage Thermoelectric Refrigeration Systems**" is result of a scientific research done by the candidate Eng. Yasser al- Ghanimeh under the supervision of Dr. Abdullah al- Amouri.

M.Candidate

Supervisor

Yasser al- Ghanimeh

Dr. Abdullah al-Amouri.

Declaration

I declare that this research "**Comparison Between The Performance Characteristics of Single- and Two- Stage Thermoelectric Refrigeration Systems**" has been accepted for getting an academic degree and it is not submitted for getting one recently.

M.Candidate

Yasser al- Ghanimeh

Abstract

The aim of this the research to study a type from the types new cooling that found in the later time an increase in the investigation due to the thermoelectric cooling has a lot of advantages necessity with the technical development.

First of all, a study the design configurations for thermoelectric cooling systems are used such as a single and two-stages with presents the properties each design, thus proceeding comparison study between two thermoelectric cooling systems is established based on non-equilibrium thermodynamics.

They are used to derive the general expressions of three important performance parameters, are the coefficient of performance, the rate of refrigeration, and the power input. By using these expressions, the performance of the two-stage thermoelectric refrigeration system is discussed in detail.

Here we calculated the maximum COP, rate of refrigeration and determined the internal structure parameter of the thermoelectric devices, the results obtained here are compared with those of a single-stage thermoelectric refrigeration system, when (θ) is small (temperature ratio of the heat sink to the cooled space), the COP_{max} of a two-stage thermoelectric refrigeration system is larger than that of single-stage thermoelectric refrigeration system but its maximum rate of refrigeration is smaller than that of a single-stage thermoelectric refrigeration system, here a single-stage is more convenient to use. But when (θ) is larger, both the COP_{max} and the maximum rate of refrigeration of a two-stage thermoelectric refrigeration system are larger than those of a single-stage thermoelectric refrigeration system. In such a case a two-stage thermoelectric refrigeration should be used.

Second, in the program department presents a computer model to simulate the performance a novel thermoelectric heat pump system, for developed an effective the performance thermoelectric system, namely Hybrid System is design based on the integration thermoelectric and vapour-compression cycle, the new system produced a good results in the performance. computer modeling showed that the heat transfer capacity are 940 W at cooling mode, Theoretical analysis for the system presage an improvement a capacity cooling and COP for new Hybrid System.